

VYSOKÁ ŠKOLA STROJNÍ A TEXTILNÍ V LIBERCI  
FAKULTA TEXTILNÍ

VЛИV PROVOZNĚ-TECHNICKÝCH PARAMETRŮ NA PROCES

TVORBY ROUNA NA PAPÍRENSKÉM STROJI

Kandidátská disertační práce

Vědecký aspirant: Ing. Jan Pfefferle  
Školitel: Prof. Ing. Dr techn. Radko Krčma, DrSc.  
Pracoviště aspiranta: IRAPA - vývojový a racionalizační  
ústav průmyslu papíru a celulózy  
Praha, poloprovoz Štětí

Liberec, květen 1988

UNIVERZITNÍ KNIHOVNA  
TECHNICKÉ UNIVERZITY U LIBERCI



3146088271

Dovolují si tímto poděkovat svému školiteli  
Prof. Ing. Dr techn. R. Krčmovi, DrSc. za odborné ve-  
dení při přípravě a zpracování této práce.

Dále děkuji M. Fetrové za pečlivé provedení  
laboratorních rozborů a V. Soukupové za přepis ru-  
kopisu.

Autor

<u>OBSAH</u>		<u>Str.</u>
1.	ÚVOD	1
2.	FORMULACE PROBLÉMU	4
3.	TEORETICKÁ ČÁST	6
3.1.	Problematika procesu naplavování	6
3.2.	Suroviny pro netkané textilie a speciální papíry vyráběné naplavováním	9
3.2.1.	Požadavky na vlákenné suroviny	9
3.2.2.	Vlákna pro naplavovací proces	12
3.2.3.	Krácení vláken pro naplavovací proces	25
3.2.4.	Pojiva	25
3.3.	Strojní zařízení pro výrobu netkaných textilií a speciálních papírů naplavováním	29
3.3.1.	Zařízení přípravy látky	29
3.3.2.	Stroje na vytváření roun naplavováním	30
3.3.3.	Zařízení pro oběh vody	35
3.3.4.	Utváření rouna	36
3.3.5.	Zařízení pro úpravu rouna	39
3.4.	Výkon zařízení na tvorbu rouna naplavováním	39
3.5.	Použití roun vyráběných papírenskou technologií	43
3.5.1.	Filtracní materiály	43
3.5.2.	Zkušební metody pro zkoušení filtracních materiálů	47

4.	EXPERIMENTÁLNÍ ČÁST	54
4.1.	Strojní zařízení	54
4.2.	Provozní podmínky tvořby listu na papírenském stroji se šikmým sí- tem	63
4.3.	Zvolené metody postupu prací	64
4.4.	Provedení zkoušek	65
4.4.1.	Použitá vlákenná zanáška	66
4.4.2.	Rozbor délky vláken	70
4.4.3.	Podmínky při realizaci zkoušek	72
4.4.4.	Látková bilance	74
4.4.5.	Vyhodnocení filtračních parametrů	82
4.4.6.	Vyhodnocení podmínek v nátoku	83
4.4.7.	Výpočet nastavení výtokového me- chanismu	111
4.4.8.	Využití poznatků pro řízení proce- su	112
5.	ZÁVĚR	117
5.1.	Stručný souhrn výsledků	117
5.2.	Přínosy pro praxi	118
5.3.	Směry dalšího možného studia v problematice	119
	SEZNAM POUŽITÝCH SYMBOLŮ	121
	SEZNAM OBRÁZKŮ	124
	SEZNAM TABULEK	127
	LITERATURA	128
	PŘÍLOHA	136

## 1. ÚVOD

Mezi nejprogresivnější metody výroby netkaných textilií patří papírenský postup. Není jednotný názor na přesnou definici procesu, který svým charakterem zasahuje jak do oboru papírenského, tak do textilního.

Podle definice EDANA je "mokrý proces" odvozen z výroby papíru a spočívá v dispergaci vláken ve vodě, uložení disperze na pohybující se síto a odstranění vody, čímž vznikne plošný vlákenný útvar (1). Postup se liší od běžné výroby papíru tím, že zředění jsou mnohem vyšší a obecně se používají mnohem delší vlákna.

Staré papírenské umění výroby papíru z dlouhých vláken získaných z travin je možné považovat za první výrobu netkaných textilií papírenským postupem (2).

Strojní zařízení vhodné pro odvodnění disperze dlouhých vláken bylo patentováno již v roce 1846 (3). Toto zařízení je schematicky znázorněno na obr.č.3. Myšlenka našla praktického využití až ve 2. polovině 20. století současně s rozvojem výroby chemických vláken a netkaných textilií.

Charakteristickou vlastností tohoto výrobního postupu je vysoká výrobnost a možnost zpracování různých vlákenných surovin. Nevýhodou jsou nízší pevnosti výrobků a vysoké investiční náklady na výrobní zařízení. Největší stroje tohoto typu dosahují při zpracování snadno odvodnitelných vlákenných disperzí (hrubá skleněná vlákna) výkonu až 100 t/24 hodin (4), (6).

V roce 1987 z 202 nejvýznamnějších firem vyrábějících netkané textilie (bez RVHP) 36 uvádělo jako používaný mokrý způsob výroby (5). Počet papírenských strojů pro výrobu netkaných textilií je několikanásobně vyšší, neboť některé firmy mají instalováno více strojů (7), (8), (9). Ve statistikách oboru netkaných textilií se neobjevuje řada strojů vyrábějících filtrační papíry pro filtraci průmyslových medií. Tyto výrobky jsou svým charakterem bližší spíše tradičnímu papíru, ale pro jejich výrobu se používají suroviny charakteru textilního ponejvíce ve směsích s buničinovými vlákny nebo speciálními vlákny zpracovatelnými pouze touto technologií. Některé speciální výrobky vyrobené mokrou cestou se používají při vysoce náročných aplikacích ve vojenské, raketové a kosmické technice (10).

Rovněž v zemích RVHP je této technologii věnována zvýšená pozornost. V posledních letech bylo instalováno několik strojů tohoto typu v SSSR, NDR a RSR. V ČSSR byl v roce 1986 vybudován prototyp poloprovozního papírenského stroje se šikmým sítěm v poloprovoze IRAPA ve Štětí.

V roce 1988 bude uveden do provozu provozní papírenský stroj se šikmým sítěm v SEPAP, závod 02 Bělá pod Bezdězem na výrobu filtračních papírů. Očekává se, že převedením výroby filtračních papírů na tato kvalitativně nová zařízení se zvýší úroveň filtrace vzduchu, paliv a olejů v motorových jednotkách v ČSSR. Úspory vyčíslené na úrovni SPK činí 35 mil. dev. Kčs pouze v hladině úspor dovozu aditiv pro výrobu motorových olejů. Další nepřímé úspory se předpokládají z prodloužení životnosti motorů.

Disertační práce pro externí aspiranturu byla vypracována v odboru inovačního výzkumu Vývojového a racionalizačního ústavu průmyslu papíru a celulózy - IRAPA, pracoviště Vývojový poloprovoz Štětí.

Hlavní náplní činnosti pracoviště IRAPA ve Štětí je výrobní výzkum speciálních technických papírů. Pro výrobu těchto papírů se používají netradiční suroviny a technologické postupy (z hlediska papírenského). V mnoha případech nabývají zejména technické filtrační papíry podle tradičního členění charakteru netkaných textilií nebo se jim velmi přibližují. Používané strojní zařízení se odlišuje od běžných papírenských strojů.

Problematika převodu výroby filtračních materiálů na papírenský stroj se šikmým sítěm se řeší pracovišti IRAPA ve Štětí v rámci úkolu RVT H 58 322 I 04 "Vývoj technologie výroby papírů s netradičními vlákny" a v letech 1981 - 1985 v tematicky předcházejícím úkolu RVT K 58 322 I 04 "Papíry s přídavkem necelulózových vláken" (11).

Předkládaná disertační práce vznikla jako součást řešení těchto výzkumných úkolů.

## 2. FORMULACE PROBLÉMU

Prototyp papírenského stroje se šikmým sítěm vybudovaný v poloprovoze IRAPA ve Štětí byl zkonstruován, vyprojektován a vyroben v n.p. PAPCEL Litovel, regulační technikou vybeven dle projektu CHEMOPROJEKTU Praha. Technologické a konstrukční podklady byly vypracovány v IRAPA - poloprovozu Štětí. Toto zařízení, první tohoto druhu v ČSSR bylo uvedeno do zkušebního provozu 15.3.1986.

Po překonání počátečních nedostatků prototypu a doplnění další regulační technikou byly postupně provedeny zkoušky výroby různých druhů filtračních papírů. Výsledky zkoušek splnily očekávání pouze částečně. Byly sice dosaženy v porovnání s papírenským strojem s podélným sítěm příznivější filtrační parametry a bylo dosaženo lepšího průhledu papírů, ale vyskytovaly se neočekávané provozní potíže. Část problémů spojené s vysokým výskytem nečistot, shluků a usazenin byla řešena dovybavením stroje třídícím zařízením. Druhá část problémů byla zřejmě technologického charakteru. Parametry dosažené při jedné výrobě, byly později těžko reprodukovatelné. Obsluha stroje ovládala regulační prvky dle individuální experimentální praxe. Vybavení stroje moderní regulační technikou umožňuje široké rozmezí regulace jednotlivých veličin s možností snadného přechodu do nevhodné pracovní oblasti. Počet regulačních prvků převyšuje obvyklé množství na klasickém papírenském stroji srovnatelného výkonu.

Cílem práce je objasnit, které regulovatelné vstupní podmínky rozhodující měrou mohou ovlivnit tvorbu listu a tím výslednou kvalitu filtračních papírů. Dále pak vytipovat podmínky, jejichž snadnou regulací bude možné řídit technologický proces řídícím počítáčovým systémem. Systém instalovaný na papírenském stroji s podélným sítem (s nímž má šikmé síto společnou soušící partii) založený na principu ovládání rychlosti běhu stroje při konstantním přítoku látky v závislosti na měřené plošné hmotnosti papíru se ukázal jako nevhodný pro šikmé síto.

Na základě získaných poznatků navrhnout úpravu zařízení s cílem umožnit převedení celého sortimentu výroby filtračních papírů z papírenského stroje s podélným sítem na nový papírenský stroj se šikmým sítem.

Pozitivní vlivem technologického rozvoje vykazuje na všech stupních výrobního procesu. Výroba například umožnila zcela nové výrobky, které se využívají od obvyklých papírenských metod. Nejdůležitější je posunek, zejména v rozmístění disperzí vložených vláken ve vodě jehož množství výrazně přeskočí. Výsledkem takového dopravy je výkonnější stroj využívající se především v novém papírenském sortimentu, na kterém je možné využít novouho sortimentu s speciálními papíry, které mají významně výši výkonu.

Výroba filtračního papíru je související s výrobou nových sortimentů, které mají významně výši výkonu.

### 3. TEORETICKÁ ČÁST

#### 3.1. Problematika procesu naplavování

Společné výrobní schema-dispergace vláken ve vodě, doprava suspenze na pohyblivé nekonečné síto, kontinuelní tvorba plošného vláknitého útvaru na síť filtrací a sušení vytvořeného pásu materiálu vymezuje společné znaky pro výrobu papíru a netkaných textilií na papírenském stroji. V praxi je možné se setkat s názvoslovou nejednotností. Charakterem netkané typické textilie jsou obchodně označovány jako papír, ev. speciální papír, naproti tomu mnohé upravené papíry jsou nazývány rouny nebo netkanými textiliemi. Někdy jsou tyto zvláštnosti dány celními předpisy pro vývoz a dovoz zboží, kde je důležitá definice. Všeobecně se autoři (1), (12), (14), (20), (21) shodují, že výrobek vyrobený na papírenském stroji s obsahem textilních vláken je možné považovat za netkanou textilií.

Použití dlouhých textilních vláken vyžaduje na všech stupních výrobního pochodu při výrobě papíru učinit zvláštní opatření, která se odlišují od obvyklých papírenských metod. Nejdůležitější je poznatek, že k rovnoměrné dispergaci dlouhých vláken ve vodě jsou nutná vysoká zředění. Výsledkem celé řady úprav je zvláštní stroj odlišující se zásadně od běžného papírenského zařízení, na kterém je možné vyrábět netkané textilie a speciální papíry, ale téměř nemožné vyrábět běžné papíry.(12)

Technické filtrační papíry jsou zvláštní skupinou výrobků, kde jsou používány směsi přírodních bu-

ničinových, textilních a speciálních vláken (např. skleněných mikrovláken aj.). Ve většině případů jsou vyrobitelné i na klasickém papírenském stroji s podélným sítěm, avšak z hlediska kvalitativních parametrů je výhodnější jejich výroba na speciálním zařízení - papírenském stroji se šikmým sítěm. Relativně dlouhá vlákna zušlechtěných buničin a bavlněných lintersů s malým stupněm opracování (fibrilace, mletí) mají výraznou tendenci ke shlukování a tvorbě listu s nerovnoměrným průhledem. Pro zrovnoměrnění je nutné především použít vysokého ředění v nátoku, což umožňuje právě stroje se šikmým sítěm. Zrovnoměrnění struktury je výhodné z hlediska celkové kvality filtračního materiálu (13), (48).

Vedle četných ekonomických úvah a článků, které se zabývají všeobecně výrobou netkaných textilií papírenskou technologií (14), (15), (16), (1), (31) vyskytuje se v literatuře pojednání věnující se vlákninám a pojivům (17), (18), (19), (27), (49) a jejich vlivu na vlastnosti netkaných textilií a speciálních papírů vyrobených mokrým způsobem.

Poměrně málo literárních pramenů se zabývá hlouběji technologickými problémy této technologie. Jedná se především o pohled z hlediska strojního zařízení určité firmy (12), (20).

V roce 1972 byla uveřejněna práce (22) informující o pracích na novém zkušebním zařízení firmy BRUDERHAUS. Jedná se o papírenský stroj se šikmým sítěm šíře 500 mm. Zabývá se studiem vlivu vstupních podmínek v mokré části na orientaci vláken v rounu a jakost vyrobeného produktu. Bylo zde pracováno

s dvousložkovou zanáškou sulfátové buničiny a PAD stříže 10 mm/1,6 dtex ve složení 50/50. Pro sledování stupně orientace bylo do roun přidáváno 0,1 % černě zbarvených PAD vláken. Výsledkem je, že lze měnit stupeň orientace vláken a vyrobit rouna jak s isotropní, tak i s výraznou podélnou orientací. Ovlivňování tohoto procesu je možné řízením rozdílů rychlosti běhu síta a rychlosti proudu vlákkenné suspenze. Práce byla presentována a zveřejněna též v (23).

V knižní odborné literatuře je problematice výroby netkaných textilií vyráběných papírenskou technologií věnováno několik obsáhlých pasáží (2), (24), (25), (26).

Rozsáhlá je literatura zabývající se použitím výrobků - netkaných textilií vyrobených mokrou cestou. Použití pro zdravotnické účely z hlediska technicko-ekonomického je diskutováno v (28), (29) (30) aj.

Méně často se v literatuře objevují prameny z oblasti technologických úvah a empiricky zjištěných údajů o způsobech výroby filtračních materiálů. Tuto skutečnost je možné vysvětlit snahou o udržení technologického předstihu před konkurenčními firmami.

O této problematice je částečně pojednáno v (32), (33). Nové progresivní řešení výroby dvoustupňové filtrace uvádí (34). Je možné předpokládat, že je možné tyto nové druhy filtračních papírů vyrábět na papírenském stroji se šikmým sítěm s dvouvrstvým nátkem.

3.2. Suroviny pro netkané textilie a speciální papíry vyráběné naplavováním

3.2.1. Požadavky na vlákenné suroviny

Možnost použití určité druhy a formy vláken pro papírenský způsob zpracování záleží na schopnosti dispergace ve vodním mediu t.j. vlákna při dispergování musí být schopna se rozptýlit na jednotlivá vlákna a při transportu k tváření rouna mají zůstat v suspenzi stejnometerně rozptýlena. Vlákna, která nevyhovují tomuto požadavku dávají rouno s nehomogenní a prušenou strukturou listu.

Dispergování vláken je v podstatě ovlivněno těmito faktory :(24)

- štíhlostním poměrem (délka/jemnost vlákna)
- tuhostí vláken ve vodě
- stupněm zkadeření
- schopnosti smáčení vodou
- kvalitou střihu vláken
- elektrickým nábojem povrchu vláken
- viskozitou prostředí
- intensitou pohybu vláken

Štíhlostní poměr vlákna definuje (24) jako

$$L/D = \frac{100 \cdot L}{\sqrt{T_t}}$$

kde L ... délka vlákna v  
mm  
T<sub>t</sub> ... jemnost vlákna  
v dtex

Se zvětšující se hodnotou L/D se vlastnosti při dispergování zhoršují. Hodnotu L/D udávají někteří výrobci vláken pro charakterizaci svých výrobků (35). Další vlastnosti vláken působící na dispergaci je tuhost vláken ve vodě (tzv. mokrý modul), čím jsou vlákna neohebnější tím snadněji se převádějí do vodní disperze. Zkadeření působí vesměs negativně na dispergaci, ale i při určitém stupni zkadeření je možné vlákna s úspěchem rozplavovat ve vodném prostředí (36).

Zkušenost, že vlákna s dobrou smáčivostí se také dobře dispergují ve vodě vedla k tomu, že výrobci speciálních vláken pro papírenské zpracování opatrují povrch hydrofobních syntetických vláken aviváží látkami usnadňujícími smáčení. Jsou známy též způsoby nanášení povlaku hydrofilních látek na povrch syntetických vláken (37), (38).

Špatně nařezaná vlákna mohou obsahovat vlákno, které svou délkou přesahuje ostatní vlákna i několikanásobně. Již obsah velmi malého množství delších vláken způsobuje obvykle smotky a uzlíky v suspenzi. Zatavené konce syntetických vláken vzniklé při špatném řezání způsobují neschopnost dispergace a vodná disperze obsahuje tzv. snopky vláken.

Mezi mechanické faktory působící na dispergaci vláken patří intenzita pohybu vláken. Když na sebe narazí dvě vlákna, vzájemně se integrují a provádějí řadu rotačních pohybů jako dvojice, než se opět oddělí. Zvýšená pružnost vláken přispívá ke snadnému splétání. Jestliže koncentrace vláken vzroste, lze pozorovat shluky vláken, které nárazy získávají další vlákna, zvětšují se. Je tedy možné předpokládat,

že existuje určitá kritická koncentrace, nad kterou vlákna nemohou neomezeně rotovat, jelikož nemají dostatečný prostor ve kterém by se mohly pohybovat. O stanovení kritické koncentrace se předpokládá, že je statistickým průměrem prostoru, vymezeného rotujícím vláknem, přibližně koulí jejíž průměr se rovná délce částice, jestliže vlákna mají volnost k rotaci v kulových dráhách. Objem vody, potřebný k poskytnutí vzájemně si nepřekážejících dráh je roven součtu objemů orbitálních koulí (2).

Kombinací různých faktorů působících na dispergaci se zabývá práce uveřejněná v (51). Zde byl uveden výraz pro stanovení minimální koncentrace, kdy vlákna počínají navzájem vytvářet v suspenzi síťovou strukturu.

$$C_W = 1,9 \frac{T_d}{L^2}$$

kde  $C_W$  ..... minimální koncentrace v %

$T_d$  ..... jemnost vláken v jednotkách denier

$L$  ..... délka vláken v mm

Z těchto důvodů je dáno omezení pro délku zpracovávaných vláken papírenskou technologií do cca 30-35 mm (20). Tato relativně dlouhá vlákna však představují pro výrobce textilních vláken již skupinu velmi krátkých střihů. Proto jsou pro naplavovací proces speciálně vyráběna vlákna s krátkými nebo velmi krátkými střiky, opatřena většinou úpravami povrchové smáčivosti (35).

### 3.2.2. Vlákna pro naplavovací proces

Z přírodních vláken se nejčastěji používá buničina. Tato tradiční surovina pro výrobu papíru se získává chemickým rozkladem dřeva i stonků jednoletých rostlin. Základní složkou vlákna je celuloza. Vedle toho obsahují papírenské buničiny podíly ligninu, hemicelulozy a pryskyřic. Tzv. zušlechtěné buničiny jsou téměř bez téhoto průvodních látek. Ve svých vlastnostech se blíží bavlně. Papírenské buničiny obsahují cca 80 - 90 % celulozy, zušlechtěné více než 90 %.

Běžně používané buničiny jsou ponejvíce buničiny z jehličnatého nebo listnatého dřeva. Oba druhy se odlišují ve tvaru a rozměrech vláken. Zušlechtěné buničiny a běžné papírenské buničiny se mohou bez problémů dispergovat a jako suspenze transportovat. Většinou se pouze rozvlákňují, ale také velmi lehce melou (krátí a fibrilují) na běžných papírenských zařízeních pro dosažení specifických vlastností výrobku.

Buničiny jsou zpravidla zpracovány jako směsny komponent s jinými vlákkennými materiály. Jejich podíl ve směsi může činit až 50 %. Buničina přitom plní velmi rozdílné úlohy (24):

- jako levný vlákkenný materiál
- jako pojivá vlákna pro docílení předběžné vazby za mokra zpevnění suchého pásu pro následné operace zpevnování
- jako nosič částic pojiva, které je vázáno na povrch vláken
- ke zlepšení nasáklivosti a opacity některých druhů netkaných textilií

Další druhy buničiny, které mají význam v této technologii jsou buničiny vyráběné z manilského konopí, sisalu a bavlněného lintru. Pro speciální účely se používá buničiny z trávy esparto. Tyto druhy buničin mají větší délku vláken, což je výhodné pro filtrační materiály. Některá tato vlákna se vyznačují kruhovým průřezem a určitou hydrofobností. Z přírodních živočišných vláken mají význam vlákna kolagenová, získaná z odpadů kůží suchým uvolňováním. Ve směsi s dalšími komponenty jsou používána pro výrobu umělých kůží.

Další vlákna pro výrobu netkaných textilií jsou vlákna z regenerované celulózy. Viskozová vlákna jsou vhodná v rozsahu délky 3 - 25 mm o jemnosti 1,2 - 20 dtex. Výrobci dodávají pro tu-to technologii speciální viskozová vlákna, neboť klasické stříže bavlnářského i vlnařského typu jsou pro přílišnou délku a obloučkování omezeně použitelná.

Při výrobě filtračních materiálů jsou používána viskozová vlákna bavlnářského typu pro směsování s buničinami za podmínky podstatného zkrácení mletím v papírenském holandru na délku 2 - 4 mm. Tato technologicky i energeticky náročná operace byla používána v ČSSR pro obtížnou dostupnost speciálních krátkých viskozových vláken (31).

Pro výrobu netkaných textilií naplavováním je výhodné využití některých z obecně textilního hlediska negativních vlastností vláken z regenerované celulózy. Například štěpitelnost polynosických stři-

ží se může s výhodou využít profibrilaci těchto vláken při procesu mletí na holandru pro výrobu filtračních materiálů (36). Rozštěpení vláken do jemných fibril významně zvyšuje filtrační schopnost plošného vláknitého útvaru. Rovněž negativní vlastnost vláken z derivátů celulózy -- vysoká bobtnavost nepříznivě ovlivňuje použitelnost těchto vláken v textilních technologiích je z hlediska výroby netkaných textilií mokrým způsobem výhodná. Tato vlákna se dobře dispergují a po vysušení vykazují určitou samopojivost, tvoří rouno o dostatečné pevnosti bez přídavku pojiv. Vývoj z tohoto hlediska perspektivních vláken z hydroxycelulózy byl v ČSSR zastaven, neboť omezené použití pro výrobu filtračních roun nenaplnovalo ekonomickou vláknářskou kapacitu (39).

Z vláken patřících do skupiny syntetických jsou především používána polyesterová a polysamidová vlákna, zatímco polypropylenová a kopolymetrová vlákna slouží k docílení pojení teplem a tlakem. Pro pojení slouží též vlákna polyvinylalkoholová.

Z anorganických vláken přírodního původu se používají asbestová vlákna. Některé druhy asbestu obsahují velmi dlouhá vlákna, která je možno fibrilovat mletím ve vodném prostředí. Asbestová vlákna se přidávají k regulaci vlastností filtračních materiálů pro svou jemnost fibril (menší než 0,1  $\mu\text{m}$ ). V poslední době se asbestová vlákna nahrazují skleněnými pro svou zjištěnou karcenogenitu (40).

Mezi nejdůležitější vlákenné suroviny pro technologii naplavování patří chemická vlákna anorganického původu, především ze sloučenin křemíku. Patří mezi ně vlákna skleněná, křemenná, safírová, keramická, čedičová, strusková (19), (41). Dále ve speciálních případech se používají vlákna uhlíková a kovová (2), (24).

Skleněná vlákna představují zvláštní skupinu sklářských výrobků, charakteristických válcovým tvarom a velkou délkou v poměru k průměru, vysokým specifickým povrchem, vysokou pevností a ohebností. Skleněná vlákna jsou rozdělována systematicky podle jemnosti, chemického složení a způsobu výroby.

Podle průměru lze skleněná vlákna používaná v mnoha průmyslových odvětvích rozdělit na (42):

- tlustá	o průměru	> 20 $\mu\text{m}$
- středně tlustá		20 - 13 $\mu\text{m}$
- jemná		13 - 4 $\mu\text{m}$
- velmi jemná		4 - 2 $\mu\text{m}$
- mikronová		2 - 1 $\mu\text{m}$
- submikronová		1 - 0,1 $\mu\text{m}$
- ultramikronová		< 0,1 $\mu\text{m}$

Nejdůležitější vlastností skleněných vláken, která je sledována pro papírenský způsob zpracování je jemnost vláken, charakterizovaná vzhledem ke kruhovému průřezu průměrem vlákna. Charakterizací průměrem vlákna používají nejvýznamnější výrobci těchto vláken ve světě. Pro možnost výroby těchto vláken s průměrem menším než 1  $\mu\text{m}$  jsou tato vlákna používána především pro výrobu filtračních materiálů.

Přehled vláken vyráběných nejvýznamnějšími světovými výrobci pro papírenské zpracování udává tabulka č. 1 (43), (44).

Tabulka č. 1 Přehled vláken vyráběných pro papírenské zpracování

Bekaert S.A Bekaaertstaat Zweregem, Belgie

Vlátko	Typ	Obch. ozn.	Jemnost [µm]	Délka [mm]
Oc	101	Bekinox	2; 22	6; 8; 12

Použití

Technické vysoce náročné účely, izolace

- 16 -

Celanese Industrial Fibers, New York USA

Vlátko	Typ	Obch. ozn.	Jemnost [dtex]	Délka [mm]
PES	D-243	Fortrel	1,7	6,3; 12,7
PVC/PAC	S-6	Celanese Vinyon	3,4	6,3
PVC/PAC	S-8	Celanese Vinyon	3,4	12,7

Použití

Netkané textilie pro zdravotnictví a průmysel

Netkané textilie, těsnící papíry, filtrační materiály

Chisso Corporation, Osaka Japonsko

Vlátko	Typ	Obch. ozn.	Jemnost [dtex]	Délka [mm]	Teplostatání [°C]	Použití
POP/POE	EA-7	ES Fiber	3,4	3-12	95	Netkané textilie, káleno-drováné výrobky
POP/POE	EA	ES Fiber	2,3	3-12	110	Netkané textilie, káleno-drováné výrobky
POP/POE	ES-L	ES Fiber	2,3	3-12	125	Pleny, senitární zboží

Pokračování tabulek č. 1

Pokračování: Chisso Corporation, Oseka Japonsko

Vláknko	Typ	Obch. ozn.	Jemnost [d tex]	Délka [mm]	Teplosta [°C] tání	Použití
POP/POE	ES	ES Fiber	1,0	3-12	130	Balící materiál, povlečení polštářů
POP/POE	EP	ES Fiber	3,4	3-12	135	Bateriové separátory
POP/POE	EA-M	ES Fiber	4,6	3-12	110	Technické papíry
POP/POE	EHS	ES Fiber	1,7	3-12	130	Krycí materiály
POP/POE	ES-HB	ES Fiber	3,4	3-12	130	Pleny pro jednorázové použití
POP/POE	ES-G	ES Fiber	3,4	3-12	130	Odolné materiály vůči ohni
POP/POE	ES-DD	ES Fiber	6,8	3-12	130	Balící materiály
POP/POE	ES-HUV	ES Fiber	2,3	3-12	130	Lisované netkané textilie
POP/POE	ES-V	ES Fiber	1,0	3-12	130	Medicinální použití
POP/POE	ES-C	ES Fiber	1,0	3-12	130	Filtracní materiály
POP/POE	EAC	ES Fiber	2,3	3-12	110	Filtracní materiály

Color - Fi, Sumter USA

Vláknko	Typ	Obch. ozn.	Jemnost [d tex]	Délka [mm]	Použití
POE			2,3 - 45	6,3	Netkané textilie
PES			3 - 45	6,3 - 15	Vysoká odolnost proti UV záření

Pokračování tabulký č. 1

Danaklon A/S, Värde Dánsko

Vlátko	Typ	Obch. ozn.	Jemnost [d tex]	Délka [mm]	Použití
POP/POE	EA	Danaklon	1,9-2,5	6; 12; 18	Vysoko pevné papíry Tissue
PES	XPE	Danaklon	1,9-3,8	6; 12; 18	Obvazový materiál, filtrace

Du Pont de Nemours, Wilmington USA

Vlátko	Typ	Obch. ozn.	Jemnost [d tex]	Délka [mm]	Použití
PAD	P-105	Du Pont Nylon	6,6	12; 7; 19	Netkané textilie
PAD	450	Nomex	2,2	6, 2	Elektrické izolační papíry s vys. tep. odol.
PAD	Pulp	Kevlar	2,5	fibridy	Elektrické izolační papíry s vys. tep. odol.
PES	157	NSD Dacron	1,7	6	Bateriové separátory
PES	257	Dacron	1,7	6; 12	Netkané textilie, filtry
PES	257	Dacron	6,7	6; 25	Netkané textilie, Filtry

Vlátko	Typ	Obch. ozn.	Jemnost [d tex]	Délka [mm]	Teplostátní tání °C	Použití
PES	K-170	Grilene	5,5	6	165-175	Pojení netkaných textilií kalandrováním

Ems - Grilon SA, Domat/Ems Švýcarsko

Vlátko	Typ	Obch. ozn.	Jemnost [d tex]	Délka [mm]	Teplostátní tání °C	Použití
PES						

Pokračování tabulký č. 1

Pokračování: Ems - Grilon SA, Domat/Ems Švýcarsko

Vlátko	Typ	Obch. ozn.	Jemnost [d tex]	Délka [mm]	Teplosta [°C] tání	Použití
PES	K-150	Grilen	5,5	6	165-175	Pojení netkaných textilií celan- drováním
PES	K-150 PE	Grilene	1,7 ; 3,3	6; 12; 18	145-155	Pojící vlákna
PES	K-170 PE	Grilene	5,5	6	165-175	Pojící vlákna

Evanite Glass Fiber, Corvalis USA

Vlátko	Typ	Obch. ozn.	Průměr [µm]	Použití
SK	504	Evanite	0,7	Pro netkané textilie,
SK	506	Evanite	0,8	pro filtraci, batem-
SK	508	Evanite	0,9	riové separátory,
SK	509	Evanite	1,5	náhrada azbestu
SK	510	Evanite	2,4	
SK	512	Evanite	3,9	
SK	514	Evanite	5,3	
SK	516	Evanite	6,3	
SK	517	Evanite	7,3	
SK	519	Evanite	9,8	

**Pokračování tabulký č. 1****Pokračování: Evanite Glass Fiber, Corvalis USA**

SK	523	Evanite	10,3
SK	606	Evanite	0,9
SK	610	Evanite	2,8
SK	612	Evanite	4,2
SK	4100	Evanite	3,5
SK	5600	Evanite	5,0

**Faserwerk Bottrop, Bottrop, NDR**

Vlákná	Typ	Obch. ozn.	Jemnost [dtex]	Délka [mm]	Použití
POP	Olefin	Vegan	1; 1,7; 2,2; 2,8; 3,3	6	Netkané textilie, filír trační materiály

**Hercules, Norcross USA**

Vlákná	Typ	Obch. ozn.	Jemnost [dtex]	Délka [mm]	Použití
POP	153		2,5; 3,4	5; 10	Netkané textilie

**Hoechst Celanese, New York USA**

Vlákná	Typ	Obch. ozn.	Jemnost [dtex]	Délka [mm]	Použití
PES	101	Trevire	1,7; 3,4; 6; 17	6,3; 12; 7, 19; 25; 37	Netkané textilie

Pokračování tabulky č. 1  
Jejin, Osaka Japonsko

Vlátko	Typ	Obch. ozn.	Jemnost [µm]	Délka [mm]	Použití
PAD	T 320	Technora HM-50	12	1; 3; 6; 12	Vysocenáročné elektroizolační papiry s vysokou teplotní oddolností
PAD	T 340	Technora HM-50	fibrify	fibrify	

Kuraray, Oseka Japonsko

Vlátko	Typ	Obch. ozn.	Jemnost [d tex]	Délka [mm] +rozprstností [cm]	Teplota +rozprstností [°C]	Použití
PVA	VPB 103	Kuralon	1,3	3; 4; 5; 6	Netkané textilic pro jednorázové použití, Pojici, vlátko, Filtrační materiály	
PVA	VPB 102	Kuralon	1,3	3; 4; 5; 6		
PVA	VPB 101	Kuralon	1,3	3; 4; 5; 6	80	
PVA	VPB 105-1	Kuralon	1,3	3; 4; 5; 6	70	
PVA	VPB 105-2	Kuralon	1,3	3; 4; 5; 6	60	

Manville Corp., Denver USA

Vlátko	Typ	Obch. ozn.	Jemnost [µm]	Délka [mm]	Použití
SK	90	Tempstran 100S	0,26	Vata	

Pokračování tabulký č. 1  
Pokračování: Manville Corp. Denver USA

SK	100	Tempstran 100S	0,29 - 0,32
SK	102	Tempstran 100S	0,33 - 0,38
SK	104	Tempstran 100S	0,39 - 0,53
SK	106	Tempstran 100S	0,54 - 0,68
SK	108 A	Tempstran 100S	0,69 - 1,1
SK	108 B	Tempstran 100S	1,1 - 1,8
SK	110	Tempstran 100S	1,9 - 3,0
SK	112	Tempstran 100S	3,0 - 5,0
SK	CX	Tempstran 100S	5,5
SK	206	Tempstran 200S	0,54 - 0,74
SK	210	Tempstran 200S	2,5 - 4,0

Výroba filtracních materiálů a isolacních materiálů

Minifibers, Johnson City USA

Vlátko	Typ	Obch. ozn.	Jemnost [tex]	Délka [mm]	Použití
PES	Regular		1,7; 3,4	6,3; 19	Speciální papíry, Netkané textilie
PES	Regular		6,8	6,3; 12,7; 19	Pojícívlátky

Nord deutsche Faserwerke GmbH, Neumünster NSR

Vlátko	Typ	Obch. ozn.	Jemnost [tex]	Délka [mm]	Použití
PAD	N 000	Siks Perlón	1,7; 2,3; 5,6	6,3	Zpevnění papíru, filtrů

Pokračování tabulek č. 1

Steen & Co., Schwarzenbek NSR

Vláknо	Typ	Obch. ozn.	Jemnost [d tex]	Délka [mm]	Použití
POP	Staple	Polysteen	1,7; 3,5;	2,2; 6,7	1; 2,2; 6; 13; 24 Netkané textilie pro zdravotnictví
PES	Staple	Polysteen	2,8;	3,5; 6,7	1; 2,2; 6; 13; 24 Filtracní materiály
POP	Staple	Polysteen	6,7;	17	6; 13; 24 Technické použití

Trisola VEB, Steinsach NDR

Vláknо	Typ	Obch. ozn.	Jemnost [ $\mu\text{m}$ ]	Jemnost [ $\mu\text{m}$ ]	Použití
SK	U 40		0,39 - 0,59	0,39 - 0,59	Filtracní materiály,
SK	U 60		0,5 - 0,74	0,5 - 0,74	izolační materiály
SK	U 70		0,71-0,82	0,71-0,82	
SK	U 90		0,83- 1,04	0,83- 1,04	
SK	U 100		1,05- 1,2	1,05- 1,2	
SK	U 150		1,8 - 2,1	1,8 - 2,1	
SK	F		2,5 - 3,5	2,5 - 3,5	

Vertex n. p. Litomyšl ČSSR

Vláknо	Typ	Obch. ozn.	Jemnost [ $\mu\text{m}$ ]	Jemnost [ $\mu\text{m}$ ]	Použití
SK	M 0	Mitsver	0,24 - 0,33	0,24 - 0,33	Filtreční materiály,
SK	M 2	Mitsver	0,33 - 0,4	0,33 - 0,4	izolační materiály

Pokračování tabulký č. 1

Pokračování: Vertex n. p. Litomyšl ČSSR

Vlákn	Typ	Obch. ozn.	Jemnost [µm]	Použití
SK	M F-4	Mitaver	0,4 - 0,52	Filtracní materiály, izolační materiály
SK	MF-6	Mitaver	0,52 - 0,73	
SK	MF-8	Mitaver	0,71 - 1,2	
SK	MF-30	Mitaver	2,2 - 3,5	

Wacker Chemie GmbH, München NSR

Vlákn	Typ	Obch. ozn.	Jemnost [dtex]	Délka [mm]	Teplost tání C	Použití
PVC/PAC	Vinylchlorid Vinylacetát	Wacker MP-faser	3,3	6; 12,5	69-159	Netkané textilie, pojící vlákna
						tát

### 3.2.3. Krácení vláken pro naplavovací proces

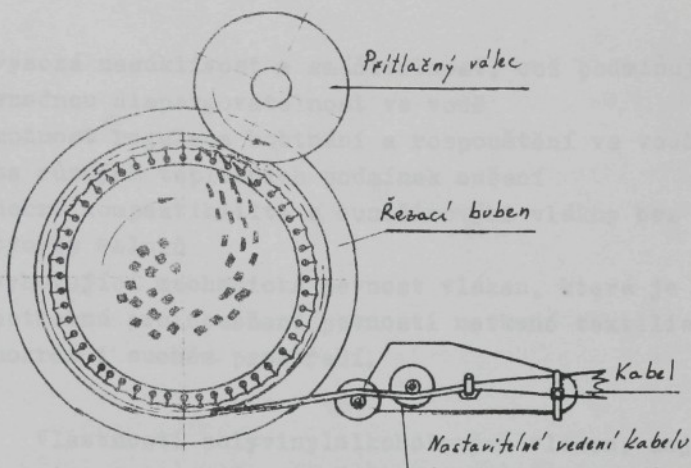
Technologie výroby roun naplavováním vyžaduje použití vláken v kratších řezech, než je obvyklé u textilních stříží.

V případech výroby roun blížících se svými vlastnostmi papíru se používá papírenských metod krácení mletí ve vodném prostředí na holandrech (vlákna z regenerované celulózy). Rovněž vlákna skleněná, keramická, uhlíková se krátí při rozvolňování působením intenzivního proudu vody v odlehčených holandrech. Pro výrobu krátkých řezů chemických vláken byly vyvinuty speciální postupy. Tyto stroje pracují většinou na principu tzv. guillotiny, kde kabel je vlhčen aby se zabránilo zatahování a slepování řezaných konců vláken, což by působilo značné obtíže v procesu. Systém řezání firmy Eastman-Kodak (onožený buben, kterým je přitlačován kabel v místě řezání k válci) umožňuje řezání vláken do minimální délky 6 mm a umožňuje též řezání obloučkovaných vláken. Tento stroj pracuje s rychlosťí až  $200 \text{ m} \cdot \text{min}^{-1}$  a jemností kabelu 60 ktex. Schéma na obr č. 1. Někteří výrobci netkaných textilií papírenskou technologií nakupují kably a řezání zařazují do procesu přípravy vlákkenné suspenze (24).

### 3.2.4. Pojiva

K pojení roun vyráběných naplavováním se používají většinou pojivá vlákna a disperze plastických hmot.

V procesu se vyžadují dva druhy pojení - předběžné, částečné pojednání do hmoty, které propůjčí rounu dostatečnou pevnost, aby v suchém stavu mohlo být dále zpracováno.



Obr. 1 Schema zařízení pro řezání kabelu  
systém Eastmen - Kodak

- úplné pojení má za účel dodat rounu pevnostní vlastnosti, požadované při jeho použití (do hmoty nebo nanášení na předzpevněný pás rouna).

Pro předběžné pojení se často používá buničiny nemleté nebo velmi slabě mleté. Tuto vlákninu lze smístit se všemi vlákennými surovinami. Pro efekt zpevnění je nutné přidat 20 - 50 % buničiny z celkového množství vláken. Tím použití zůstává omezeno na výrobky u nichž tento vysoký podíl je přijatelný (materiály pro jednorázové použití). Tyto materiály vykazují, pokud nejsou dostatečně upravovány dalšími pojivy malou pevnost za mokra.

Pro pojení roun a speciálních papírů vyráběných papírenskou technologií mají příznivé vlastnosti pojící polyvinylalkoholová vlákna (45). Je to zejména:

- vysoká nasáklivost a smáčitelnost, což podmiňuje snadnou dispergovatelnost ve vodě
- možnost regulace bobtnání a rozpouštění ve vodě za různých teplotních podmínek sušení
- dobrá kompatibilita s buničinovými vlákny bez tvorby shluků
- vyhovující mechanická pevnost vláken, která je potřebná pro dosažení pevnosti netkané textilie v mokréém i suchém prostředí.

Vlastnosti polyvinylalkoholových vláken, zejména rozpustnost ve vodě je možné při výrobě vlákna regulovat. Polyvinylalkohol je snadno rozpustný ve vodě, rovněž tak vlákna z něj vyráběná. Vlákna jsou za účelem snížení rozpustnosti tepelně zpracována a dloužena. Odolnost polyvinylalkoholových vláken vůči rozpouštění ve vroucí vodě může být dále zvýšena acetalizací. Acetalizovaná vlákna jsou potom zcela rezistentní vůči působení vody za studena i varu.

Jestliže je teplota vody, ve které je rozpustné polyvinylalkoholové vlákno postupně zvyšována, vlákna se při teplotách 60 - 95 °C rozpouští. Toto je vlastnost, která je využívána při pojení některých typů roun vyráběných naplavováním. Jestliže je okolo vlákna přítomno dostatečné množství vody, ztrácí vlákno úplně svůj tvar a vznikne vodný roztok polyvinylalkoholu. Když vodou zvlhčené vlákno je prudce zahřáto, stává se vysoko adhezivním (lepisivým), začíná se rozpouštět. Při procesu sušení ubývá vody přítomné v okolí vlákna, vlákno se přestává rozpouštět. Při úplném vysušení zůstává v pevném spojení s ostatními vlákny přítomními v rounu. Při tomto procesu je nutná dobrá regulace množství vstupující vody s vlákny do sušárny

a přesná regulace teplot. Prakticky se osvědčila regulace množství vody v rouně před vstupem do sušící partie max. 75 % (46).

Pro dosažení dobré pevnosti rouna se používá přidavku 1 - 10 % polyvinylalkoholových rozpustných vláken.

Příznivých vlastností roun je možné dosáhnout použitím termoplastických pojivových vláken. Podmínkou je zpracování za působení tepla a tlaku, čímž se zhoršují zejména vlastnosti charakterizující textilní vlastnosti (splývavost, omak).

Druhou skupinou pojiv pro mokrý proces jsou disperze plastických hmot. Jedná se ponejvíce o akryláty nebo pojiva na bázi butadienakrylonitrilu. Tyto disperze jsou přidávány do hmoty, t.j. k suspenzi vlákniny. Pro vyvolání adhezního účinku jsou vypracovány různé metody. Nejrozšířenější je kombinace se srážecími činidly. U této metody se nejdříve přidává k vlákenné suspenzi srážecí činidlo. Pro aniontové disperze plastických hmot je možné použít přípravky běžně používané v papírenském průmyslu pro zpevnění papíru za mokra, které jsou většinou kationaktivní. Vlákna, zejména celulózová, absorbuje tyto kationaktivní látky a při následném přidání anionaktivní disperze dochází k vysrážení na vláknech. Tato vlákna potom v procesu působí jako vlákna vazná. V patentové literatuře je popsáno více systémů založených na principu srážení disperzí na vláknech. Pro výrobu filtračních materiálů ze skleněných mikrovláken má význam postup, kdy k mikrovláknům je přidávána disperze již ve fázi rozvolňování v holandru. Vzniklá vlákna s ulpívajícími částicemi pojiva je možné použít ke směsování se všemi ostatními druhy vláken (50).

3.3. Strojní zařízení pro výrobu netkaných textilií  
a speciálních papírů papírenskou technologií

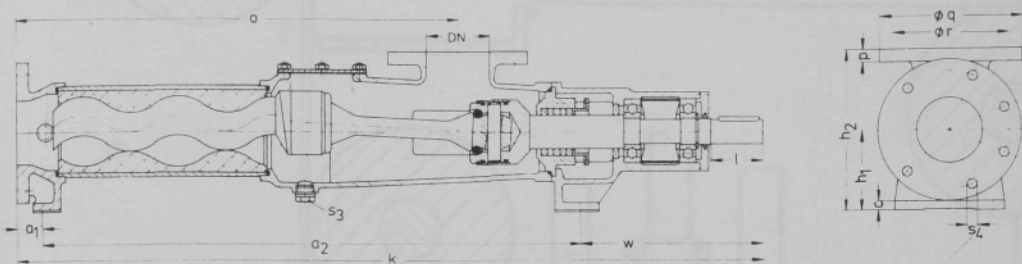
3.3.1. Zařízení přípravný látky

Přípravna patří mezi nejdůležitější části technologické linky. Zde je nutné rozvolnit vlákna ve vodě, z jednotlivých složek připravit směs, některé druhy vláken mechanicky opracovat a hotovou suspenzi doprat bez shluků a smotků k nátoku papírenského stroje. Správně volené agregáty pro zpracování dlouhých vláken pracují bez míst s intenzivní turbulencí. Rovněž ostré hrany a nerovnosti povrchu zařízení mohou přispívat ke tvorbě shluků (24).

K rozvláknování vláken dodávaných v balících slouží obvykle běžné nebo upravené rozvláknovače, holandry nebo se vlákna zanáší přímo do nádrží s intensivním mícháním. Pro odstranění nebezpečí vzniku smotků vláken se používají v nejnutnější míře regulační škrticí elementy, mechanické regulátory konsistence látky a odstředivá čerpadla (31).

Místo odstředivých čerpadel se používají objemově pracující vretenová monočerpadla. Dopravované množství je dáno u tohoto typu čerpadel počtem otáček vretena (52), (53).

Pro přípravu buničin a některých dalších surovin vyžadujících mimo rozvláknění další opracování se používá holandrů a v některých případech i kontinuelních mlecích linek.



Obr. č. 2 Řez monočerpadlem fy NETZSCH

### 3.3.2. Stroje na vytváření roun neplavováním

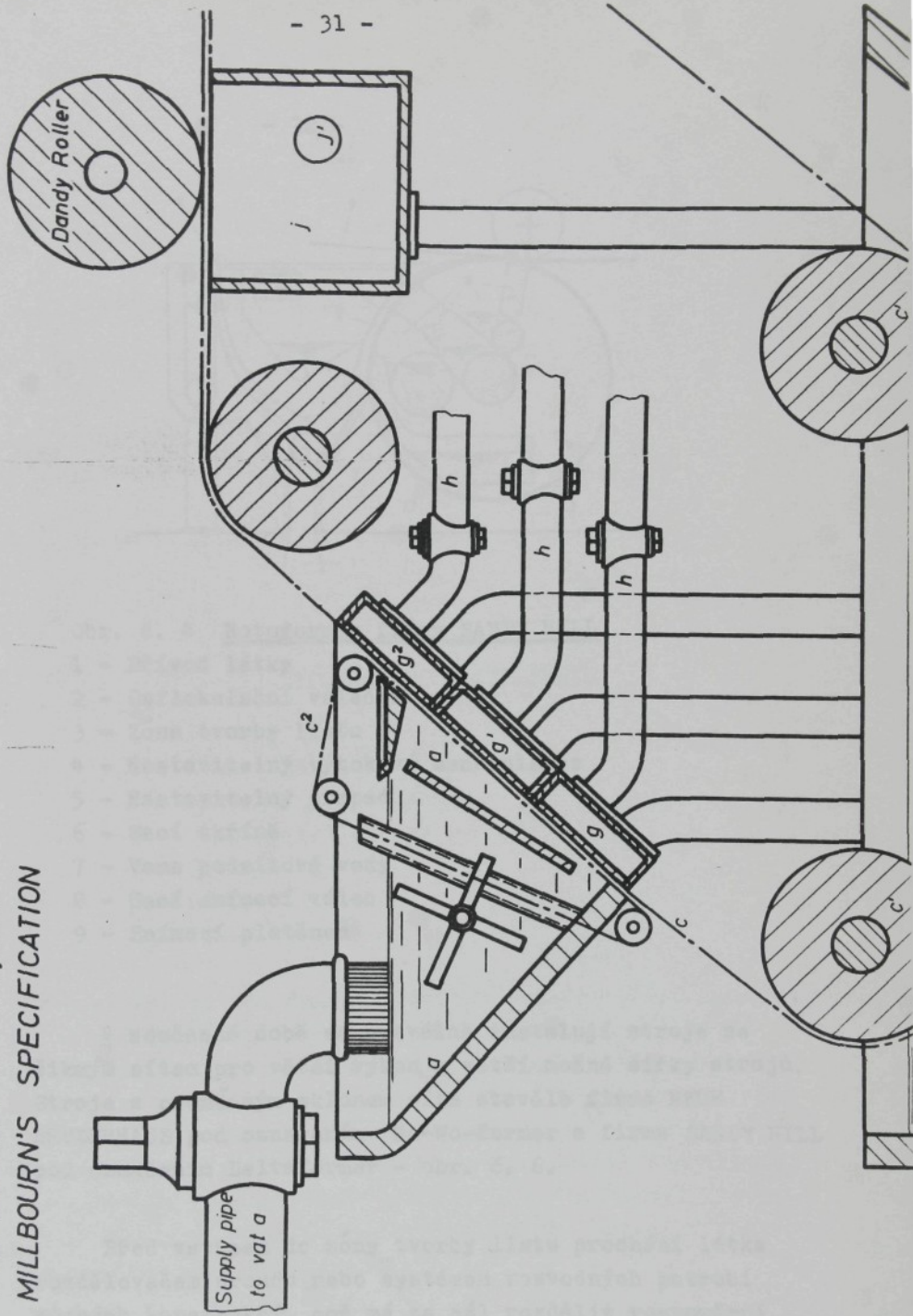
Pro vlastní vytváření plošného vlákenného útvaru jsou používány stroje pracující na principu filtrace suspenze vláken na pohybujícím se sítě. Základní myšlenka byla známa již v minulém století. V USA byl udělen patent na zařízení pro odvodňování vlákenných suspenzí již v roce 1846. Schema viz obr. č. 3.

Příklady provedení dnešních strojů jsou znázorněny na obr. č. 4 a č. 5 (24).

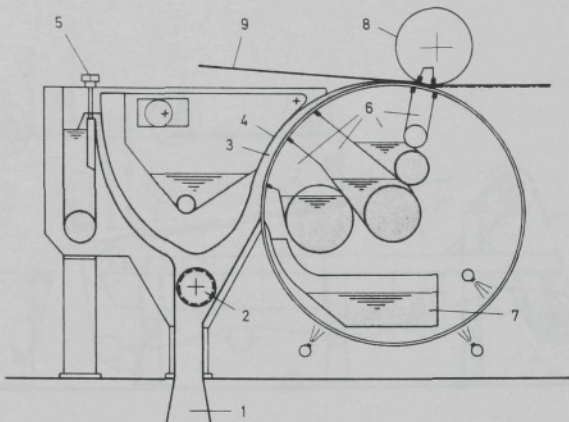
Oba stroje kulaté i šikmě síto, pracují na stejném principu, ale jsou odlišně provedeny. Šikmě síto může být chápáno jako kulaté síto s nekonečným poloměrem (24). Konstrukce strojů různých firem se liší v detailním provedení, ale základní prvky jsou zachovány:

- šikmo stoupající prostor pro tvorbu listu
- nátok látky
- pod prostorem na tvorbu listu ležící odvodňovací skříně

A.D. 1846. OCT 3. No. 11,394.  
MILLBOURN'S SPECIFICATION



Obr. č. 3 Schema zařízení pro zpracování  
dlouhých vláken dle patentu z  
roku 1846

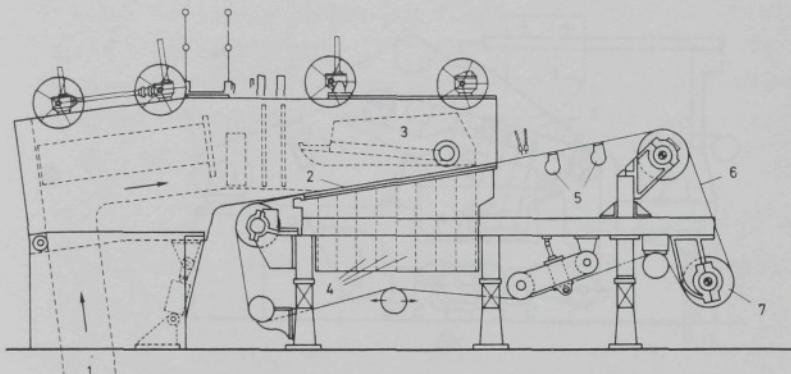


Obr. č. 4 Rotoformer firmy SANDY HILL

- 1 - Přívod látky
- 2 - Deflokulační váleček
- 3 - Zóna tvorby listu
- 4 - Nastavitelný výtokový mechanismus
- 5 - Nastavitelný přepad
- 6 - Sací skříně
- 7 - Vana podsítové vody
- 8 - Sací snímací válec
- 9 - Snímací plstěnec

V současné době se převážně instalují stroje se šíkym sítím pro větší výkon a větší možné šířky strojů. Stroje s proměnným sklonem sítia stavěla firma NEUE BRUDERHAUS pod označením No-Wo-former a firma SANDY HILL pod označením Deltaformer - obr. č. 6.

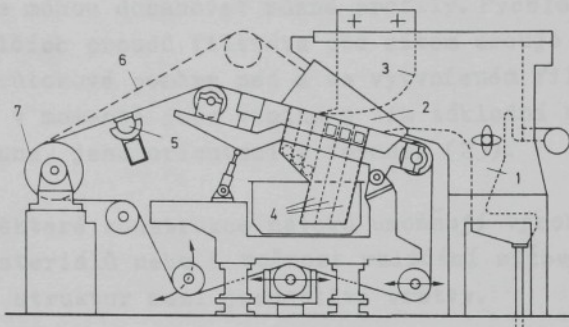
Před vstupem do zóny tvorby listu prochází látka rozdělovačem proudu nebo systémem rozvodných potrubí různých konstrukcí, což má za cíl rozdělit rovnoměrně proud látky po celé šíři tvorby listu (20). Vtokovým



Obr. č. 5 Hydroformer firmy VOITH

- 1 - Difusor
- 2 - Zóna tvorby listu
- 3 - Výtokový mechanismus
- 4 - Odvodňovací skříně
- 5 - Sací lišty
- 6 - Síto
- 7 - Poháněcí válec

mechanismem je tok suspenze prudce obracen, čímž dochází k snažšímu úniku vzduchu ulpívajícího na vláknech. Tvářecí zóna stoupá vzhůru tak, aby bylo možné nastavit omezení hladiny na konci nátoku. Konstrukce strojů jednotlivých firem mají různé úhly stoupání v rozmezí 10 - 35°. Obecně platí, že pokud je k dispozici dostatečně dlouhá odvodňovací zóna nezáleží příliš na sklonu síta. Pro rychle se odvodňující suspenze (např. silná skleněná vlákna) se používá většího sklonu (12).



Obr. č. 6 Deltaformer firmy SANDY HILL

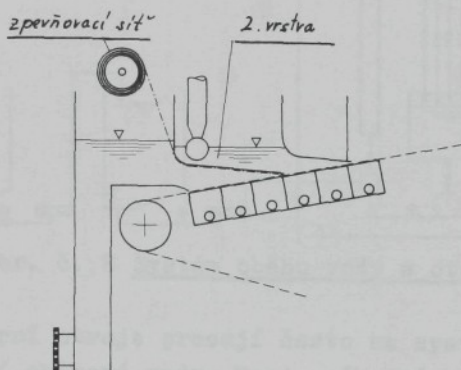
- 1 - Rozdělovač látky
- 2 - Zóna tvorby listu
- 3 - Výtokový mechanismus
- 4 - Odvodňovací skříně
- 5 - Sací lišty
- 6 - Síto
- 7 - Poháněcí válec

Aby se dosáhlo rovnoramenného vytváření listu po celé délce odvodňovací zóny, musí být tato zóna zakrytá. Výtokový mechanismus používaný pro tento účel je určen pro vzájemné přizpůsobení rychlosti proudu suspenze a síta (12).

Odvádění vody z odvodňovacích skříní je vždy regulovatelné pomocí armatur různých konstrukcí. Stroje o větších pracovních šírkách mají ve spodní části skříní odvod po obou stranách. Horní část skříní je opatřena odvodňovacími lištami uspořádanými příčně ke směru běhu síta. Průtokové poměry jsou rozhodujícím způsobem řízeny regulací odvodnění filtrátu (23).

Příslušným nastavením průtoku v odvodňovacích skříňích se mohou dosahovat různé profily. Rychlostní profil dílčích proudů filtrátu pod sítem určuje ve značné míře průtokové poměry nad a ve vytvořeném filtračním koláči v momentě jeho vzniku a tím základní vlastnosti rouna, jeho orientaci a formaci (23).

Některé konstrukce nátoků umožňují výrobu dvojvrstvých materiálů nebo i možnost vkládání síťových zpevňovacích struktur mezi jednotlivé vrstvy.

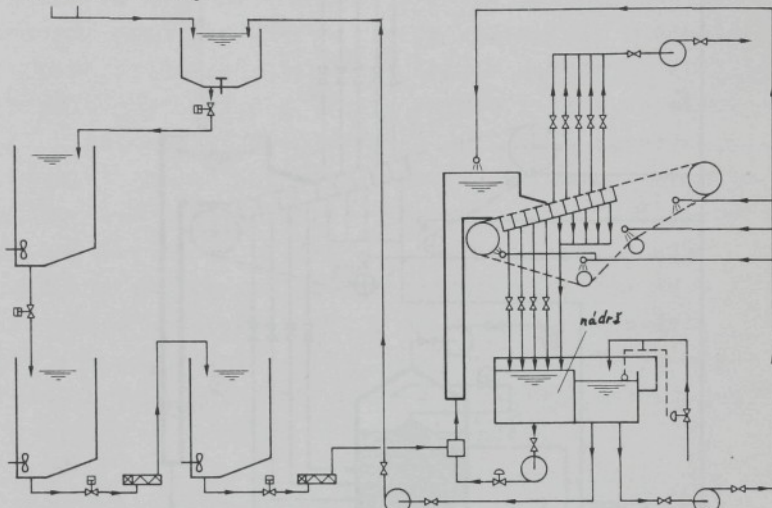


Obr. č. 7 Schema dvojvrstvého nátoku

### 3.3.3. Zařízení pro oběh vody

Jednou z nejnákladnějších částí strojů na výrobu roun naplavováním jsou systémy oběhu vody. Jak je schematicky znázorněno na obr. č. 8 jedná se o dva uzavřené okruhy (24). Vnitřní okruh je doplněn čerstvou vodou. Z nádrže podsítových vod čerpá vodu oběhové čerpadlo do nátoku. Suspenze vláken dopravovaná z přípravny je přiváděna do tohoto okruhu. V případě přívodu před oběhové čerpadlo, působí potom toto jako směšovací čerpadlo. Velmi dlouhá vlákna jsou přiváděna

za čerpadlo. Přepadem odchází teoreticky pouze voda přicházející se suspenzí vláken a je dále využívána v přípravně látky.

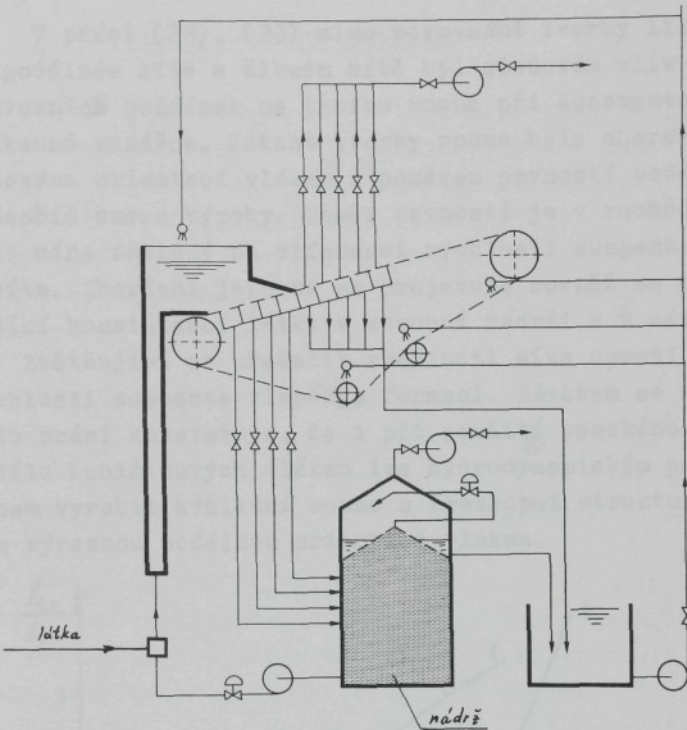


Obr. č. 8 Systém oběhu vody s otevřenou nádrží

Moderní stroje pracují často se systémem s uzavřenou nádrží oběhové vody. To je výhodné z důvodů prostorových, odváděná voda je lépe odvzdušněna působením podtlaku, uzavřená nádrž nemusí být instalována pod strojem. Nevýhodou je složitější regulační technika. Schema tohoto systému je na obr. č. 9. (24).

#### 3.3.4. Utváření rouna

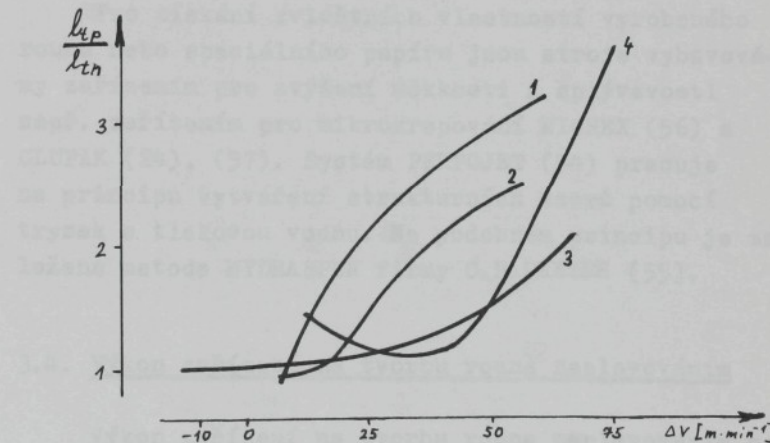
Filtrací na síťě vzniklý útvar ze suspenze vláken je homogenní pouze tehdy, jestliže vlákna jednou uložená v průběhu formovacího procesu nezmění svou polohu. Aby se toho docílilo, je nutné řídit odvádění vody tak, že rozdíl tlaku mezi prostorem tvorby listu a odvodňovacími skříněmi se zvětšuje se stoupáním síta. Způsob



Obr. č. 9. Systém oběhu vody s uzavřenou nádrží

tvorby listu umožňuje, aby orientace vláken při tváření byla regulována v určitých mezích. Mohou být vyráběna rouna jak s podélně orientovanými vlákny, tak i s neorientovaně uloženými vlákny. Orientace záleží na tom, jaká je diference rychlosti proudu suspenze a rychlosti síta. Jsou-li přibližně stejně velké, vzniká rouno s neorientovaně uloženými vlákny, větší rozdíly ovlivňují podélnou orientaci (24), (12). V praxi se při konstantní rychlosti stroje nastavuje orientace vláken změnou rychlosti suspenze pomocí změny úhlu mezi sítem a výtokovým mechanismem, délkou zóny tvorby listu, výškou hladiny v nátku a množstvím procházející vody odvodňovacími skříněmi.

V práci (22), (23) mimo porovnání tvorby listu na podélném sítě a šíkmém sítě byl sledován vliv provozních podmínek na tvorbu rouna při konstantní vlákenné zanášce. Jakost tvorby rouna byla charakterizována orientací vláken a poměrem pevností podél a napříč směru výroby. Poměr pevností je v rozhodující míře závislý na differenci rychlosti suspenze a síta. Zhoršení jakosti se projevuje rovněž se stoupající konsistencí látky v zásobní nádrži a v nátku. Zvětšující se předstih rychlosti síta oproti rychlosti suspenze zlepšuje formaci. Závěrem se v této práci konstatuje, že i při použití vysokého podílu buničinových vláken lze hydrodynamickým postupem vyrobit kvalitní rouno s isotropní strukturou i s výraznou podélnou orientací vláken.



Obr. č. 10 Závislost  $\frac{l_{tp}}{l_{th}}$  na differenci rychlosti proudu suspenze a síta za různých podmínek (22).

### 3.3.5. Zařízení pro úpravu rouna

V dalších fázích technologických operací jsou filtrační papíry sušeny a navíjeny, rouna musí být mimo to většinou zpevněna pojivy. Zařízení pro nanášení pojiv musí i při vysokých rychlostech stroje umožňovat stejnoměrná nanášení, aniž by málo pevné mokré rouno bylo silně namáháno. Schema používaných systémů je na obr. č. 11 (24).

Pro sušení filtračních papírů se používá převážně kontaktních válcových sušáren, pro rouna horkovzdušné sítové bubny, tunelové sušárny nebo kombinace různých systémů dle technologických potřeb.

Pro získání zvláštních vlastností vyrobeného rouna nebo speciálního papíru jsou stroje vybavovány zařízením pro zvýšení měkkosti a splývavosti např. zařízením pro mikrokrepování MICREX (56) a CLUPAK (24), (57). Systém PERFOJET (54) pracuje na principu vytváření strukturních vzorů pomocí trysek s tlakovou vodou. Na podobném principu je založena metoda HYDRASPUN firmy C.H.DEXTER (55).

### 3.4. Výkon zařízení na tvorbu rouna naplavováním

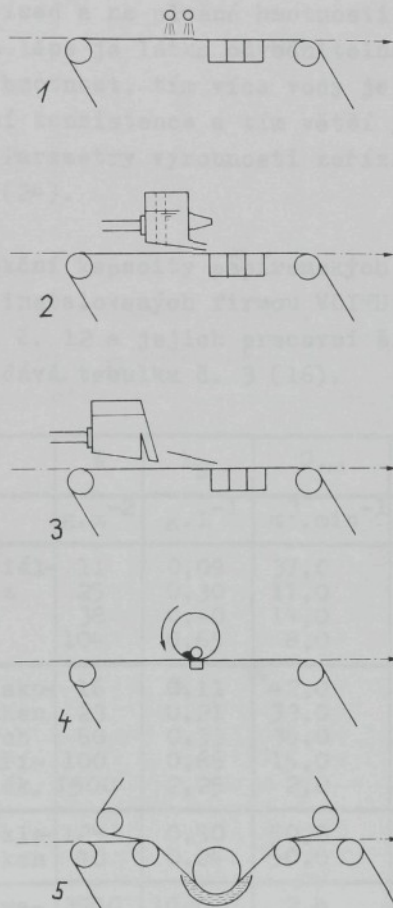
Výkon zařízení na tvorbu rouna naplavováním se vypočítá ze vztahu

$$M = k_N \cdot Q_N \quad [g \cdot \text{min}^{-1}]$$

kde  $k_N$  ..... konsistence suspenze  $[g \cdot l^{-1}]$

$Q_N$  ..... průtok suspenze v nátku  $[l \cdot \text{min}^{-1}]$

Kolík na povrch může být provedeno do několika různých  
filtracích paprsků. Toto záleží se druhem používaného  
více



Obr. č. 11 Systémy nanášení pojiv

- 1 - stříkání
- 2 - polévání
- 3 - nanášení zpěněných disperzí
- 4 - vtlačování, tisk
- 5 - impregnace mezi dvěma sítý

Kolik suspenze může být přivedeno do nátoku určuje filtrační odpor. Ten je závislý na druhu použitých vláken, přísad a na plošné hmotnosti vyráběného rouna. Čím lépe je látka odvodnitelná a čím menší je plošná hmotnost, tím více vody je k dispozici pro snížení konzistence a tím větší je výrobní výkon zařízení. Parametry výrobnosti zařízení udává tabulka č. 2 (24).

Produkční kapacity papírenských strojů se šikmým sítěm instalovaných firmou VOITH jsou znázorněny na obr. č. 12 a jejich pracovní šíře a druhy produktů udává tabulka č. 3 (16).

Produkty	W	k <sub>N</sub>	Q <sub>1m</sub>	v <sub>s</sub>	M <sub>1m</sub>
	g.m <sup>-2</sup>	g.l <sup>-1</sup>	m <sup>3</sup> .min <sup>-1</sup>	m.min <sup>-1</sup>	t.24h <sup>-1</sup>
Rouna, Speciální papíry z přírodních vláken	11	0,09	37,0	300,0	4,8
	25	0,30	17,0	200,0	7,3
	38	0,40	14,0	150,0	8,1
	104	0,65	8,0	50,0	7,5
Rouna z viskozových vláken syntetických vláken a přírodních vlák.	16	0,11	42,0	300,0	6,7
	23	0,21	33,0	300,0	10,0
	60	0,33	36,0	200,0	17,1
	100	0,66	15,0	100,0	14,3
	1500	2,25	2,0	3,0	6,5
Rouna ze skleněných vláken	125	0,50	50,0	200,0	36,0
	40	0,24	50,0	300,0	17,3
Rouna z kermických vlák.	3500	10,0	2,4	7,0	34,6

Tabulka č. 2 Parametry výrobnosti zařízení

kde - W ... plošná hmotnost

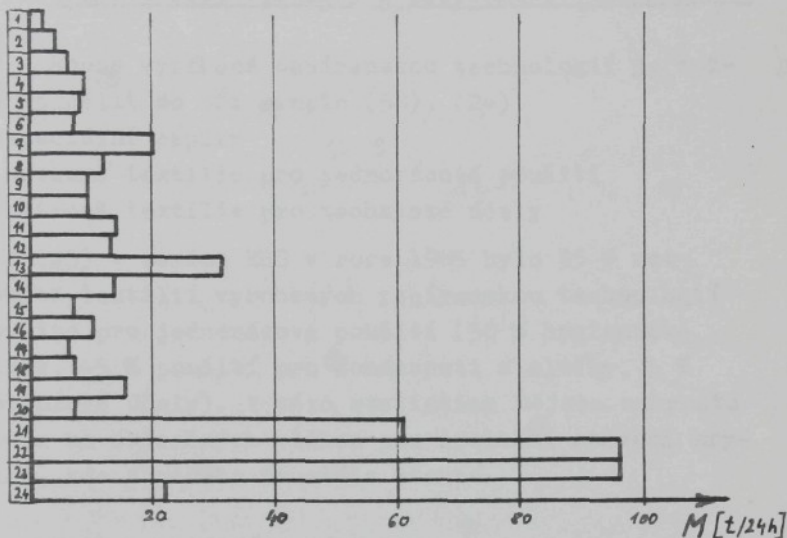
k<sub>N</sub>... konzistence v nátoku

Q<sub>1m</sub>... průtok suspenze na 1 m pracovní šíře

v<sub>s</sub>... rychlosť stroje

M<sub>1m</sub>... produkce na 1 m pracovní šíře

Jbr.č.12 Produkční kapacity papírenských strojů se šikmým sítěm instalovaných firmou VOITH



Tabulka č. 3 Pracovní šíře a produkty strojů VOITH

č.	prac. šíře [mm]	druh produktu
1	1200	filtrační papíry ze skleněných vláken
2	2200	skleněné rohože pro střešní izolační krytiny
3	2040	netkané textilie pro jednorázové použití
4	2500	papír na sáčky na čaj
5	1700	netkané textilie pro zdravotnictví
6	2200	papír na sáčky na čaj
7	3300	netkané textilie pro jednorázové použití
8	2700	netkané textilie pro jednorázové použití
9	2300	skleněné rohože pro střešní izolační krytiny
10	2300	skleněné rohože pro střešní izolační krytiny
11	1905	netkané textilie pro tepelné izolace
12	1800	netkané textilie pro jednorázové použití
13	3860	skleněné rohože pro střešní izolační krytiny
14	2800	netkané textilie
15	3300	papír na sáčky na čaj
16	2350	netkané textilie pro speciální použití
17	3000	netkané textilie pro filtrační účely
18	2650	skleněné rohože pro střešní izolační krytiny
19	2300	skleněné rohože pro střešní izolační krytiny
20	2650	skleněné rohože pro střešní izolační krytiny
21	4400	skleněné rohože pro střešní izolační krytiny
22	3860	skleněné rohože pro střešní izolační krytiny
23	3860	skleněné rohože pro střešní izolační krytiny
24	2300	skleněné rohože pro střešní izolační krytiny

### 3.5. Použití roun vyráběných papírenskou technologií

Rouna vyráběná papírenskou technologií je možné rozdělit do tří skupin (58), (24)

- speciální papíry
- netkané textilie pro jednorázové použití
- netkané textilie pro technické účely

Dle (29) v zemích EHS v roce 1985 bylo 95 % netkaných textilií vyrobených papírenskou technologií použito pro jednorázové použití (50 % hygienické účely, 45 % použití pro doméností a služby, 5 % technické účely). V této statistice nejsou zahrnuta rouna ze skleněných vláken pro izolační střešní krytiny, kde spotřeba neustále stoupá.

Jako speciální papíry mimo syntetického papíru z vláken pro tiskové účely, se jedná většinou o filtrační papíry pro jednorázové použití pro filtraci potravin (čaj, mléko, káva) nebo filtraci průmyslových medií.

#### 3.5.1. Filtrační materiály

Ze široké škály výrobků, které tato technologie umožňuje, jsou v ČSSR vyráběny tepelně a zvukově izolační materiály z anorganických vláken a řada filtračních materiálů.

Filtrační materiály představují specifickou skupinu výrobků, charakteristickou vysokou náročností na všechny fáze přípravy výroby, výroby a technické kontroly.

Filtrační materiály vyráběné naplavováním se u některých typů blíží charakterem spíše papíru, u dalších se jedná o charakteristická rouna. Co se týče účinnosti filtrace navazují na jedné straně tam, kde končí použitelnost vpichovaných a jiných textilií, na druhé dosahují účinnosti filtračních membrán.

Filtrační materiály vyráběné naplavováním se používají ve filtroch nejrůznější konstrukce a účelu použití. Je možné uvést filtrace olejů v motorech motorových vozidel, lokomotiv a dalších strojů, filtrace hydraulických kapalin, kapalných paliv, galvanických lázní, čištění vody v nejrůznějších průmyslových aplikacích. Rovněž se používají pro filtrace plynů, zejména vzduchu v motorech motorových vozidel.

Stále větší význam nabývají filtry pro vysoce-účinnou filtrace vzduchu pro sterilní prostory v lékařství, biotechnologických a čisté prostory v mikroelektronice.

Základní surový filtrační materiál, je nositelem všech rozhodujících filtračních vlastností. O náročnosti výroby materiálů zejména pro vysoce účinnou filtrace svědčí, že tento proces se již neobejdě bez využití řídícího počítače.

V navazující výrobní operaci je dále upravován s cílem zvýšení chemické a mechanické odolnosti vůči filtrovanému mediu a okolnímu prostředí. Obvykle se používá impregnace roztokem organických polymerů (např. fenolformaldehydové rezoly, silikony, polyuretanové) nebo laminace s jiným materiálem.

Upravený filtrační materiál je většinou škládán do filtračních prvků (vložek) ve formě neko-nečného skládaného pásu, krytého vnějšími a vnitřními obaly (koší) nebo je používán jako ploché výseky.

Definujeme-li užitnou funkci prvku jako "filtruje lyosol" nebo "filtruje aerosol", tj. odděluje z kapalné či plynné suspenze tuhé částice do zvolené velikosti s danou účinností při průtoku filtrovaného media realizovaném s užitím co nejmenší hnací síly (tlakového spádu) a co při největší době životnosti filtru (zajištění průběhu filtrace do dosažení kritické hranice tlakového spádu), pak lze určit následující funkční vlastnosti filtračního materiálu (70).

- účinnost filtrace - definovaná pro danou suspenzi (druh kapaliny, druh a velikost nečistot) jako poměr zachyceného množství ku celkovému vstupujícímu množství nečistot o dané velikosti. K představám o mechanismu záchyty nečistoty ve filtračním materiálu lze říci stručně následující.

Aby mohlo dojít k záchyti částice, která je schopná proniknout filtračním materiélem, musí dojít k dostatečnému přiblížení částice k povrchu vláknité struktury, což se podle současných představ děje superpozicí několika mechanismů, ovlivňovaných mimo papíru též vlastnostmi částice, a vlastnostmi a rychlostí filtrovaného media. Vlastní záchyt částice je pak ovlivňován z hlediska papíru charakterem vláknité struktury a zejména povrchovými vlastnostmi vláken (42).

Pro ilustraci je možno uvést, že nejpropustnější a tím i nejméně účinné filtrační materiály vyráběné naplavováním zachycují s 99 %ní účinností částice o velikosti cca 25  $\mu\text{m}$  a větší, zatímco nejúčinnější materiály zachytí s účinností větší než 99,9999 % částice o minimální velikosti 0,3  $\mu\text{m}$ .

- propustnost pro filtrované medium - jak vyplývá např. ze vztahu d'Arcyho, rozhoduje o propustnosti filtračního materiálu jednak materiálová konstanta - permeabilita  $K$ , závisející na strukturních parametrech a jednak tloušťka označená jako  $t$

$$v = \frac{Q}{A} = \frac{K}{\eta} \cdot \frac{p}{t}$$

kde -  $v$  ... čelní rychlosť filtrovaného media [ $\text{m} \cdot \text{s}^{-1}$ ]

$Q$  ... objemový průtok media [ $\text{m}^3 \cdot \text{s}^{-1}$ ]

$A$  ... čelní plocha filtru [ $\text{m}^2$ ]

$\eta$  ... viskozita media [Pa . s]

$p$  ... tlakový spád [Pa]

$t$  ... tloušťka materiálu [ m ]

Opět pro ilustraci - nejpropustnější materiály dovolují při tlakovém spádu 196 Pa rychlosť proudění vzduchu až  $1 \text{ m} \cdot \text{s}^{-1}$  na druhé straně by bylo pro dosažení stejné rychlosti proudění vzduchu u nejúčinnějších materiálů nutno užít hnací síly tlakového spádu až 10 000 Pa.

- jímatelnost nečistot - definovaná jako množství zachycených nečistot, vztažených na jednotku čelní plochy filtru do dosažení limitního tlakového spádu na filtru. Z hlediska rouna zde hráje opět rozhodující úkolu struktura a povrchové vlastnosti vlákna.

- mechanická, chemická a tepelná odolnost - jsou nejvíce ovlivňovány úpravami surového mouna.  
Vzhledem ke konkrétním podmínkám užití je nutné volit specifický způsob dosažení žádané úrovně odolnosti. Pro extrémní teplotní podmínky je možno volit materiály ze 100 % anorganických vláken.

### 3.5.2. Zkušební metody pro zkoušení filtračních materiálů

Mimo běžných metod jako jsou stanovení plošné hmotnosti (60), tloušťky - (měřící tlak 100 kPa, plocha  $200 \text{ mm}^2$ ) a objemové hmotnosti (61), pevnosti v tahu (62), se používá metod speciálně vyvinutých pro filtrační materiály.

#### - Tržná délka

Pro charakterizaci pevnosti v tahu se běžně používá stanovení tržné délky. Tržná délka  $l_t$  je mírou pevnosti materiálu různých plošných hmotností. Je vyjádřena pomsl. délkou pásu materiálu, při které by se volně zavěšený pás přetrhl vlastní tíhou v místě závěsu. Udává se v metrech a vypočítá se (63):

$$l_t = \frac{F}{W \cdot b_p \cdot g} \cdot 10^6$$

kde - F ... zatížení [ N ]

W ... plošná hmotnost [ g .  $\text{m}^{-2}$  ]

$b_p$  ... šířka zkušebního proužku [ mm ]

g ... tříhové zrychlení [  $9,81 \text{ m} \cdot \text{s}^{-2}$  ]

$l_t$  .. tržná délka [ m ]

- Stanovení propustnosti pro vzduch (64)

Propustnost pro vzduch filtračního plošného vláknitého útvaru je objemové množství vzduchu nasáté přes jednotku plochy za jednotku času při určitém konstantním tlakovém spádu mezi vstupní a výstupní plochou.

Zkouška se provádí s přístrojem typu Verseidag na zkušebním vzorku plochy  $20 \text{ cm}^2$ .

Měření se provádí při tlakovém spádu 196 Pa, hodnota propustnosti se odečítá na rotametru. Výsledek zkoušky se vyjadřuje v  $1.\text{m}^{-2}.\text{s}^{-1}$ .

Rozsah stupnice rotametrů umožňuje provádět měření v rozsahu  $10 - 3000 1.\text{m}^{-2}.\text{s}^{-1}$ .

- Stanovení tlakové ztráty (65)

Tlaková ztráta filtračního materiálu je rozdíl tlaku na vstupní a výstupní ploše při nominálním průtoku vzduchu plochou filtračního materiálu. Měří se přístrojem, který sestává ze zdroje tlakového vzduchu, regulačního ventilu, průtokoměru, měřící svorky a kapalinového mikromanometru alternativně při různých průtocích vzduchu zkušebním vzorkem.

$0,05 \text{ l cm}^{-2}.\text{min}^{-1}$  - odpovídá čelní rychlosti vzduchu  
 $0,0083 \text{ m.s}^{-1}$

$0,1 \text{ l.cm}^{-2}.\text{min}^{-1}$  -  $0,0167 \text{ m.s}^{-1}$

$0,27 \text{ l.cm}^{-2}.\text{min}^{-1}$  -  $0,0457 \text{ m.s}^{-1}$

Hodnota tlakové ztráty se odečítá na kapalinovém mikromanometru. Výsledek zkoušky se udává v Pa.

- Filtrační schopnost

Klasické metody stanovení filtrační schopnosti mikroskopickými metodami jsou velmi obtížné. Moderní způsoby měření přístroji pro určování počtu a velikosti částic prošlých filtrem nejsou běžně dostupné a nejsou použitelné pro mezioperační a výstupní kontrolu. Z těchto důvodů byla zavedena nepřímá metoda - stanovení maximálního průměru pórů (66). Maximální průměr póru je průměr kapiláry o kruhovém průřezu, která vyžaduje stejný tlak vzduchu k vytlačení smáčecí kapaliny jako největší pór ve filtračním materiálu.

Zkouška je založena na chování filtračního materiálu smočeného kapalinou, který projevuje obdobné vlastnosti jako kapiláry naplněné tekutinou. Minimální tlak potřebný k překonání kapilárních sil a vytlačení smáčecí kapaliny z pórů vzorku je úměrný maximálnímu průměru pórů (67).

Jako smáčecí kapaliny se používá kerosin, kterým se převrství vzorek. Pod měřeným vzorkem se zapojí přívod vzduchu a sleduje se objevení prvního řetízku bublinek, kdy se odečte tlak vzduchu.

Hodnota maximálního průměru se vypočte podle vzorce:

$$d_{\max} = \frac{4G \cdot \cos \gamma}{p_1 - p_2} \cdot 10^3$$

kde -  $d_{\max}$  ... maximální průměr pórů [ $\mu\text{m}$ ]

$G$  ... povrchové napětí smáčecí kapaliny  
[ $\text{mN} \cdot \text{m}^{-1}$ ]

$\gamma$  ... úhel smáčení

$p_1$  ... aritmetický průměr naměřených  
hodnot tlaku [Pa]

$p_2$  ... hydrostatický tlak smáčecí kapaliny [Pa]

Naměřené hodnoty jsou v dobré korelaci s přímými metodami měření filtrační schopnosti (68).

Další nepřímou metodou pro charakterizaci filtrační schopnosti je stanovení velikosti středního průměru pórů. Tato hodnota má význam pro posouzení celkové kvality filtračního materiálu (13), (48).

Střední pór, který můžeme také nazvat pórem o střední průtočnosti je definován pro jakékoli filtrační prostředí jako pór o takové velikosti, že při nuceném průtoku media filtračním prostředím prochází jedna polovina objemu póry o stejné nebo větší velikosti a druhá póry o menší velikosti. Velikostí pórů se zde rozumí ekvivalentní průměr póru, který je definován jako průměr kapiláry o kruhovém průřezu, která vyžaduje stejný tlak vzduchu k vytlačení smáčecí kapaliny, jako příslušný pór ve filtračním papíru. Podstata zkoušky je stejná jako ve zkoušce maximálního průměru póru. Vlastní zkouška je založena na skutečnosti, že se zvyšujícím tlakem se otevírají stále menší a menší póry, velikost těchto pórů je úměrná tlaku pod vzorkem. Změříme-li závislost propustnosti vzduchu na tlakovém spádu pro suchý a mokrý vzorek, můžeme najít takový tlak, při kterém má mokrý vzorek poloviční propustnost vzduchu než suchý vzorek. Z tohoto tlaku vypočteme hledaný střední průměr pórů. Měření se provádí tak, že se nejprve měří a do grafu vynese závislost propustnosti vzduchu na tlakové ztrátě pro suchý vzorek. Potom se vzorek smočí vhodnou smáčecí kapalinou (smáčecí kapalina musí mít dostatečně vysoký bod varu, aby během zkoušky nevyschla, musí mít známé a stabilní povrchové napětí, musí dokonale smáčet vlákno, nesmí je naru-

šovat atd.) a stanoví se opět závislost pro-  
pustnosti vzduchu na tlakové ztrátě. Druhá  
závislost se opět vynese do grafu viz obr. č.  
13. Z grafu se odečte tlak, při kterém má mok-  
rý vzorek poloviční propustnost vzduchu než suchý  
vzorek ( $AE=EC$ ) a vypočte se střední průměr pórů  
podle vzorce:

$$d_{50} = \frac{4 \sigma \cdot \cos \gamma}{\Delta P_{50}} \cdot 10^3$$

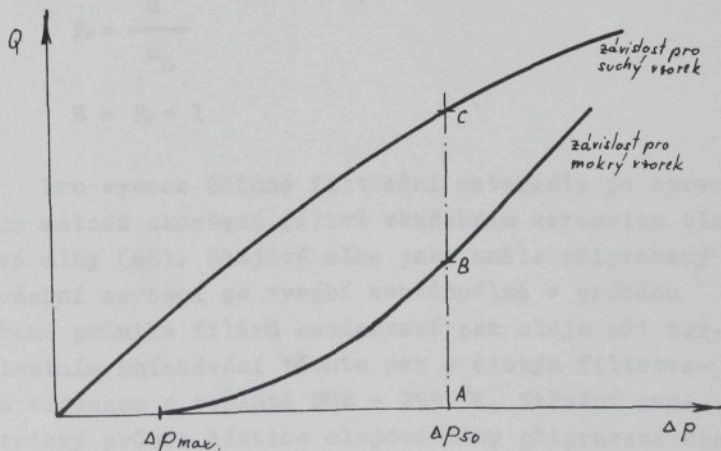
kde  $d_{50}$  ... střední průměr pórů [ $\mu\text{m}$ ]

$\Delta P_{50}$  ... tlak, při kterém je propustnost  
vzduchu mokrého vzorku polovič-  
ní než propustnost suchého  
vzorku [ $\text{Pa}$ ]

$\sigma$  ... povrchové napětí smáčecí kapa-  
liny [ $\text{mN} \cdot \text{m}^{-1}$ ]

$\gamma$  ... úhel smáčení

V průsečíku závislosti pro mokrý vzorek s osou x  
leží tlak ekvivalentní maximálnímu průměru pórů (68).



Obr. č. 13 Stanovení středního průměru pórů

- Filtrační účinnost

Filtrační účinnost je v procentech vyjádřené množství nečistot, které jsou za stanovených podmínek zachyceny filtračním materiálem.

Učinnost (efektivnost) filtru je odlučování pevných částic filtračním materiálem a je dána počtem počtu zachycených částic  $n_z$  k celkovému počtu vstupujících částic  $n_o$ .

$$n_o = n_z + n$$

$n$  .... počet prošlých částic

$n_z$  ... počet zachycených částic

$n_o$  ... počet vstupujících částic

účinnost filtrace E

$$E = \frac{n_z}{n_o}$$

průnik filtru

$$P_r = \frac{n}{n_o}$$

$$E + P_r = 1$$

Pro vysoce účinné filtrační materiály je zpracována metoda zkoušení filtrů zkušebním aerosolem olejové mlhy (68). Olejová mlha jako uměle připravený zkušební aerosol se vyrábí kontinuálně v průběhu měření průniku filtrů kondenzací par oleje při turbulentním smíchávání těchto par s čistým filtrováním vzduchem o teplotě 288 - 299 °K. Střední geometrický průměr částice olejové mlhy připravené kondenzací par je 0,3 µm. Přípustná disperzita je v rozsahu 0,28 - 0,32 µm. Koncentrace olejové mlhy užívaná

pro měření průniku je  $25 \text{ mg} \cdot \text{m}^{-3}$  až  $2500 \text{ mg} \cdot \text{m}^{-3}$ . Koncentrace olejové mlhy před a za filtrem se zjišťuje nefelometricky. Koeficient průniku je definován

$$KP = \frac{c_z}{c_p} \cdot 100 / \% /$$

- KP koeficient průniku
- $c_z$  koncentrace zkušebního aerosolu za filtrem
- $c_p$  koncentrace zkušebního aerosolu před filtrem

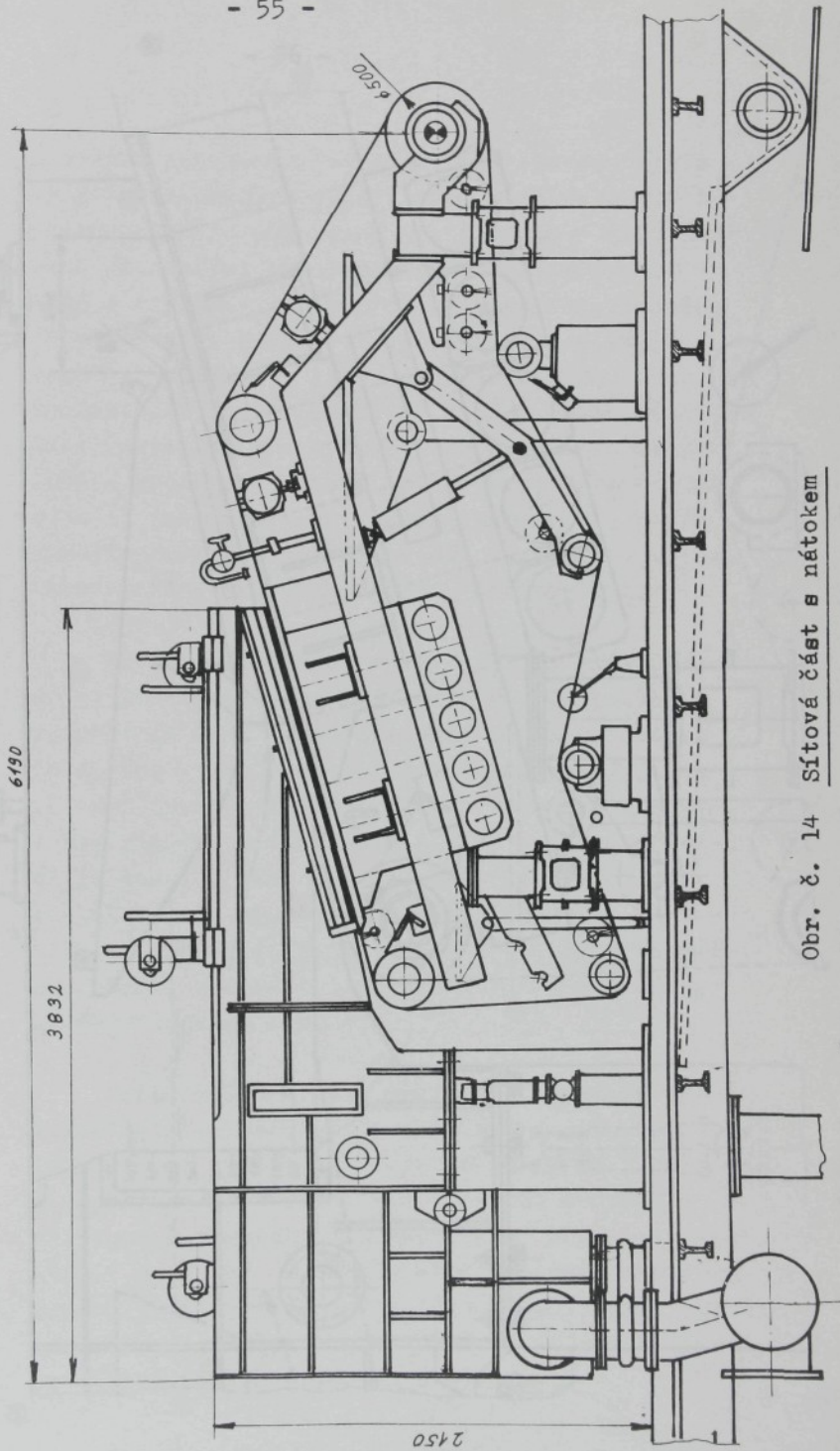
#### 4. EXPERIMENTÁLNÍ ČÁST

##### 4.1. Strojní zařízení

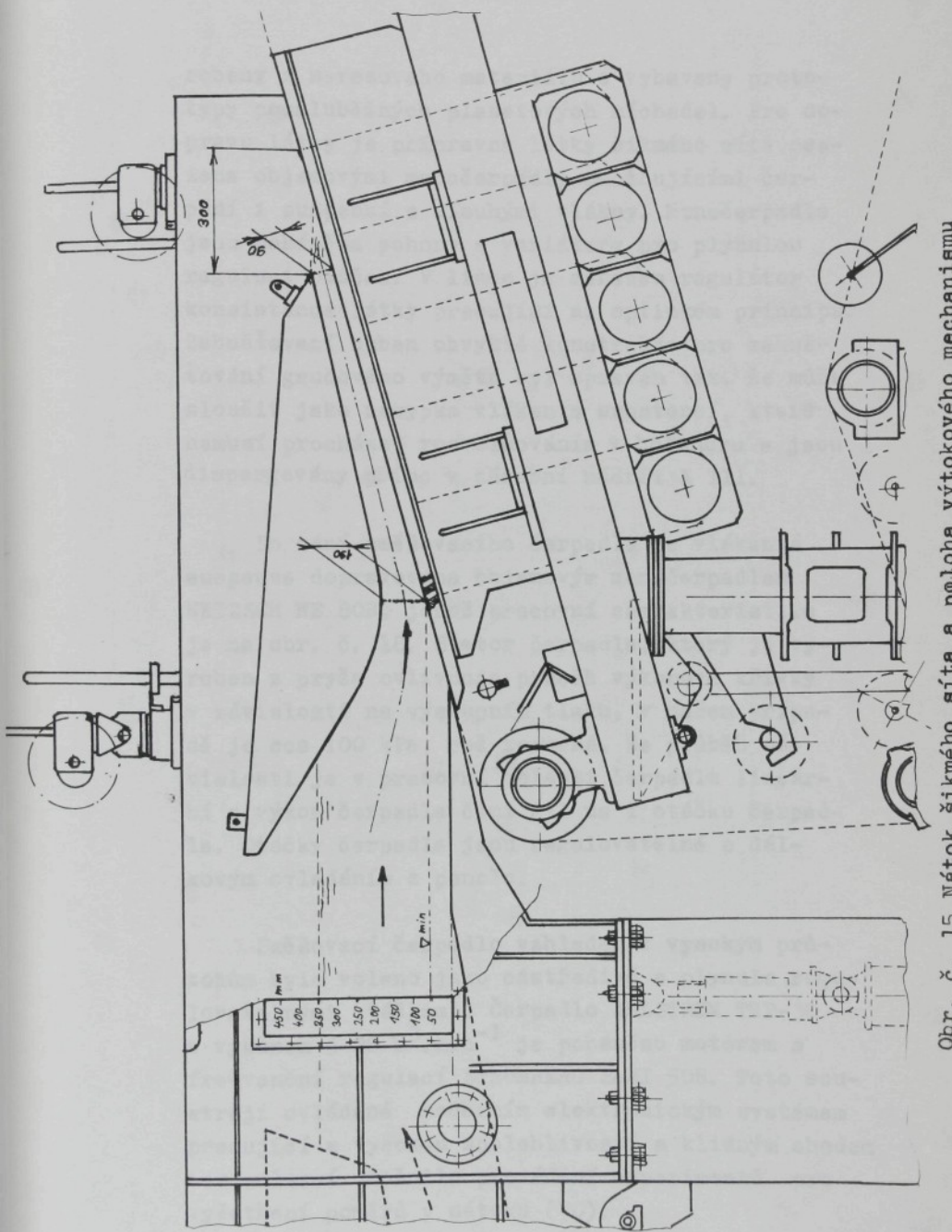
Prototyp papírenského stroje se šikmým sítěm byl vybudován s cílem umožnit vývoj nových výrobků, především v oblasti technických filtračních papírů, ale též z hlediska možnosti vývoje a výroby netkaných textilií.

V první etapě, při rekonstrukci papírenského stroje s podélným sítěm byly vytvořeny podmínky pro výstavbu stroje se šikmým sítěm. Vlastní sítová partie s nátokem a dopravníkem je umístěna na plošině v úrovni + 3,15 m- obr. č. 14. Tvářecí zóna v první části stoupajícího síta má 5 odvodňovacích skříní a 1 suchou sací skříň. Pro dosažení vyšší sušiny jsou zařazeny 2 sací lišty napojené na ventilátor nebo vývěvy. Proud suspenze v nátoku je usměrňován 2 mechanismy - vtokovým a výtokovým pro přizpůsobení rychlosti proudu suspenze a síta- obr. č. 15. Odvodňovací skříně jsou napojeny na odtokové trubky, kde je průtok regulován dálkově ovládanými regulačními klapkami.

Schema přípravny látky a konfigurace obou strojů jsou znázorněny na obr. č. 16, 17. Dráha papíru ze sítové části je vedena dopravníkem k lisové partie. Kratší varianta dopravníku umožňuje dopravu mokrého lisu před egutér podélného síta při souběžném chodu obou tvářecích jednotek. Přípravna látky navazuje na přípravnu podélného síta - systém holandrů, rozvlákňovače a nádrží s čerpadly. Vlastní přípravna šikmého síta se skládá z 2 válcových zásobních nádrží  $20\text{ m}^3$  a 1 nádrže  $35\text{ m}^3$ . Nádrže jsou vy-



Obr. č. 14 Sítová část s nátočem

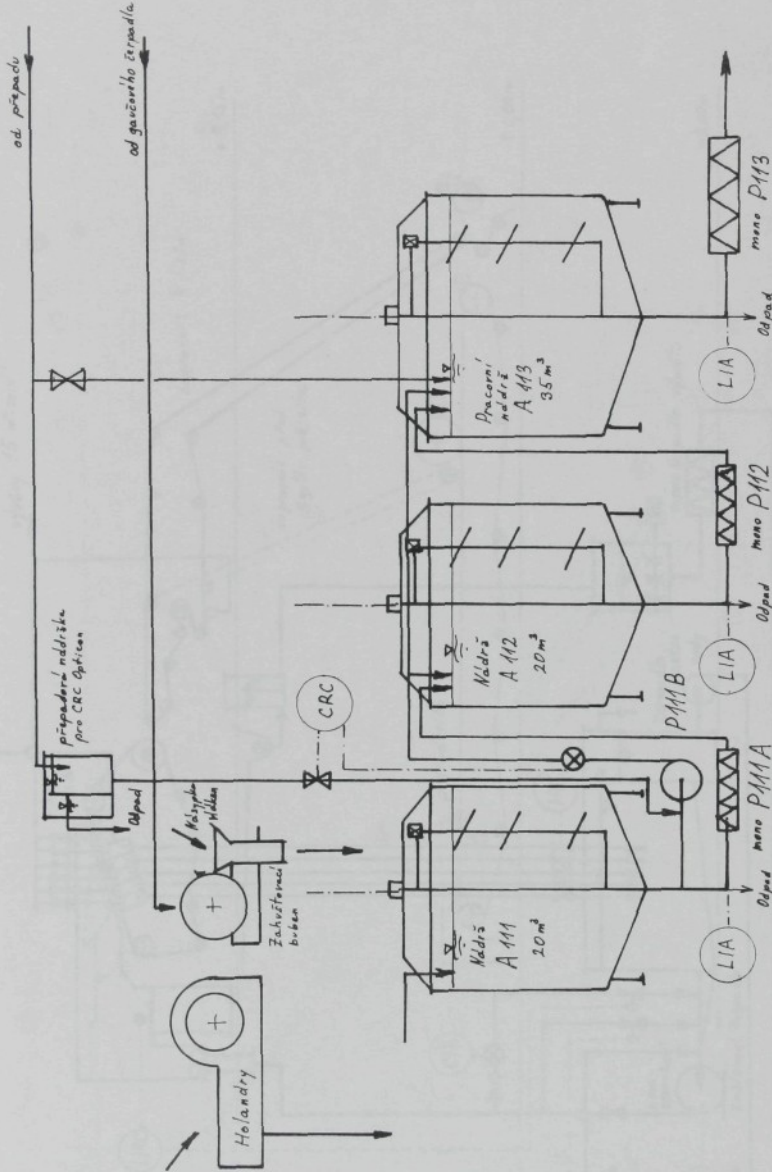


Obr. č. 15 Nátok šíkmého síta a pohybu výtokového mechanismu

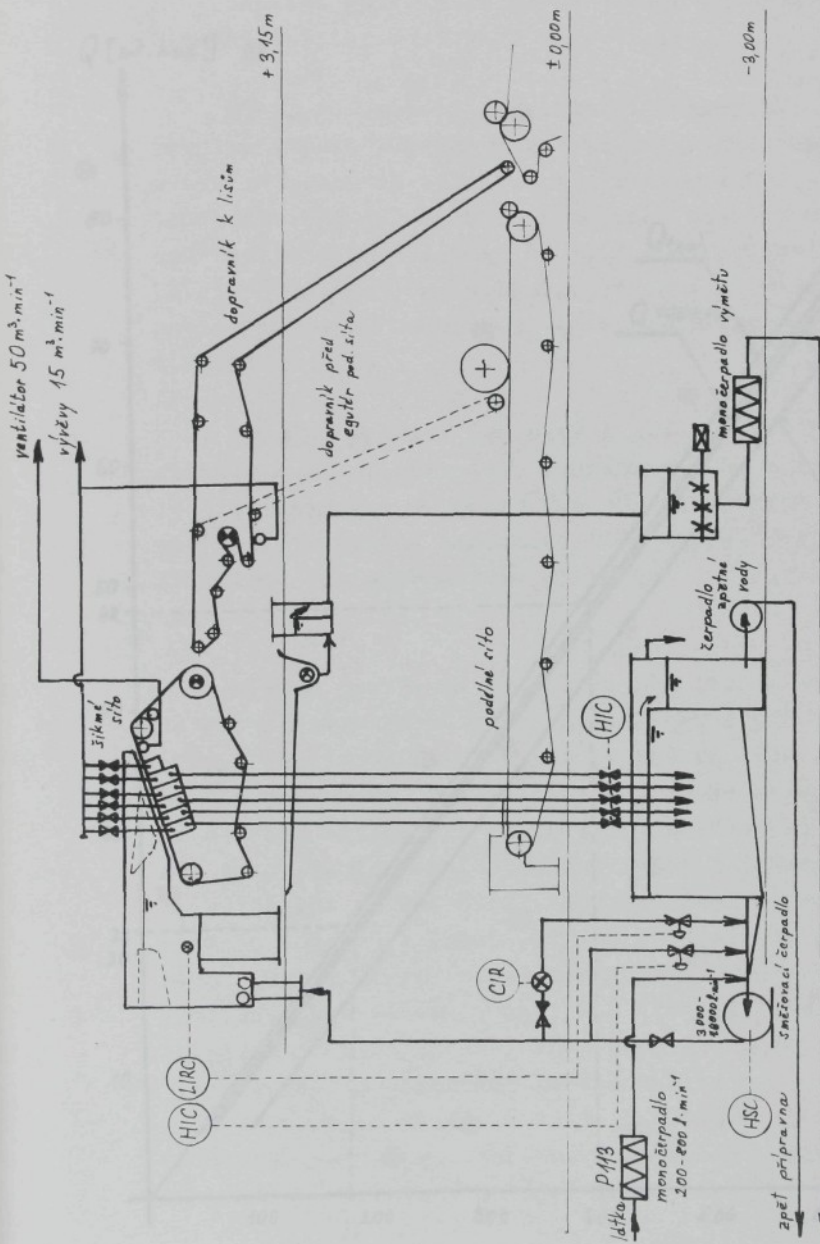
robeny z nerezového materiálu a vybaveny prototypy pomaluběžných planetových míchadel. Pro dopravu látky je přípravná látky šikmého síta osazena objemovými monočerpadly umožňujícími čerpání i suspenzí s dlouhými vlákny. Monočerpadla jsou poháněna pohony s variátory pro plynulou regulaci otáček. V lince je zařazen regulátor konsistence látky pracující na optickém principu. Zahušťovací buben obvyklé konstrukce pro zahušťování gaučového výmětu byl upraven tak, že může sloužit jako násypka vláken a substancí, které nemusí procházet rozvolňováním v holandru a jsou dispergovány přímo v zásobní nádrži A 111.

Do sání směšovacího čerpadla je vlákenná suspenze dopravována objemovým monočerpadlem NETZSCH NE 80B, jehož pracovní charakteristika je na obr. č. 18. Stator čerpadla, který je vyroben z pryže ovlivňuje průběh výkonové křivky v závislosti na výstupním tlaku, v našem případě je cca 100 kPa, což znamená, že průběh závislosti je v pracovní oblasti čerpadla lineární a výkon čerpadla činí 2 l na 1 otáčku čerpadla. Otáčky čerpadla jsou regulovatelné s dálkovým ovládáním z panelu.

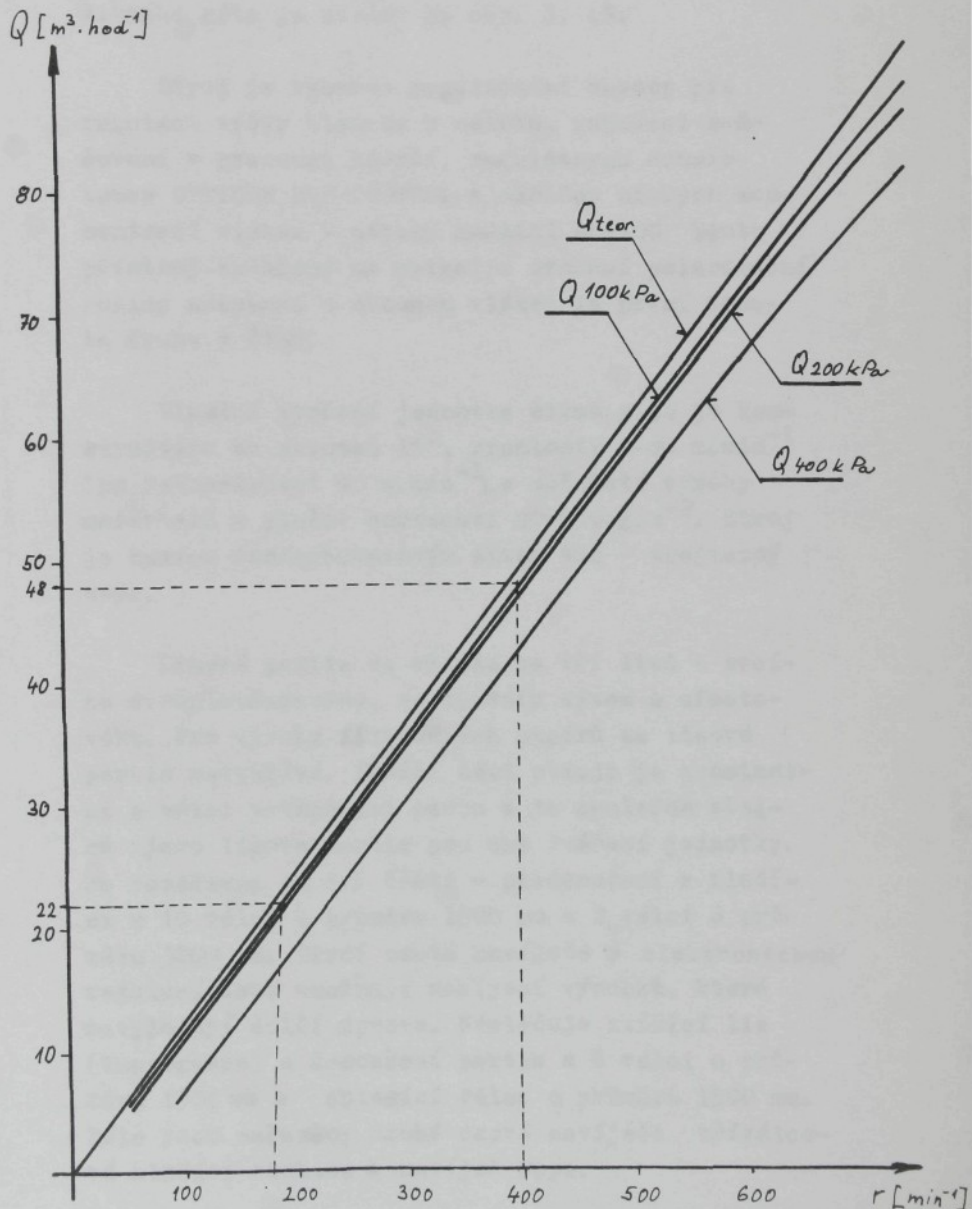
Směšovací čerpadlo vzhledem k vysokým průtokům bylo voleno jako odstředivé s plynule regulovatelnými otáčkami. Čerpadlo AHLSTRÖM TRP-30 s výkonem  $3-28 \text{ m}^3 \cdot \text{min}^{-1}$  je poháněno motorem s frekvenční regulací STRÖMBERG SAMI 50B. Toto soustrojí ovládané moderním elektronickým systémem pracující s vysokou spolehlivostí a klidným chodem bez pulsací umožnilo provádění experimentů pro vyšetření poměrů v nátku (70).



Obr. č. 16 Schéma přípravny pro šíkmé síto



Obr. č. 17 Schéma uspořádání podélné a šíkmejšíto



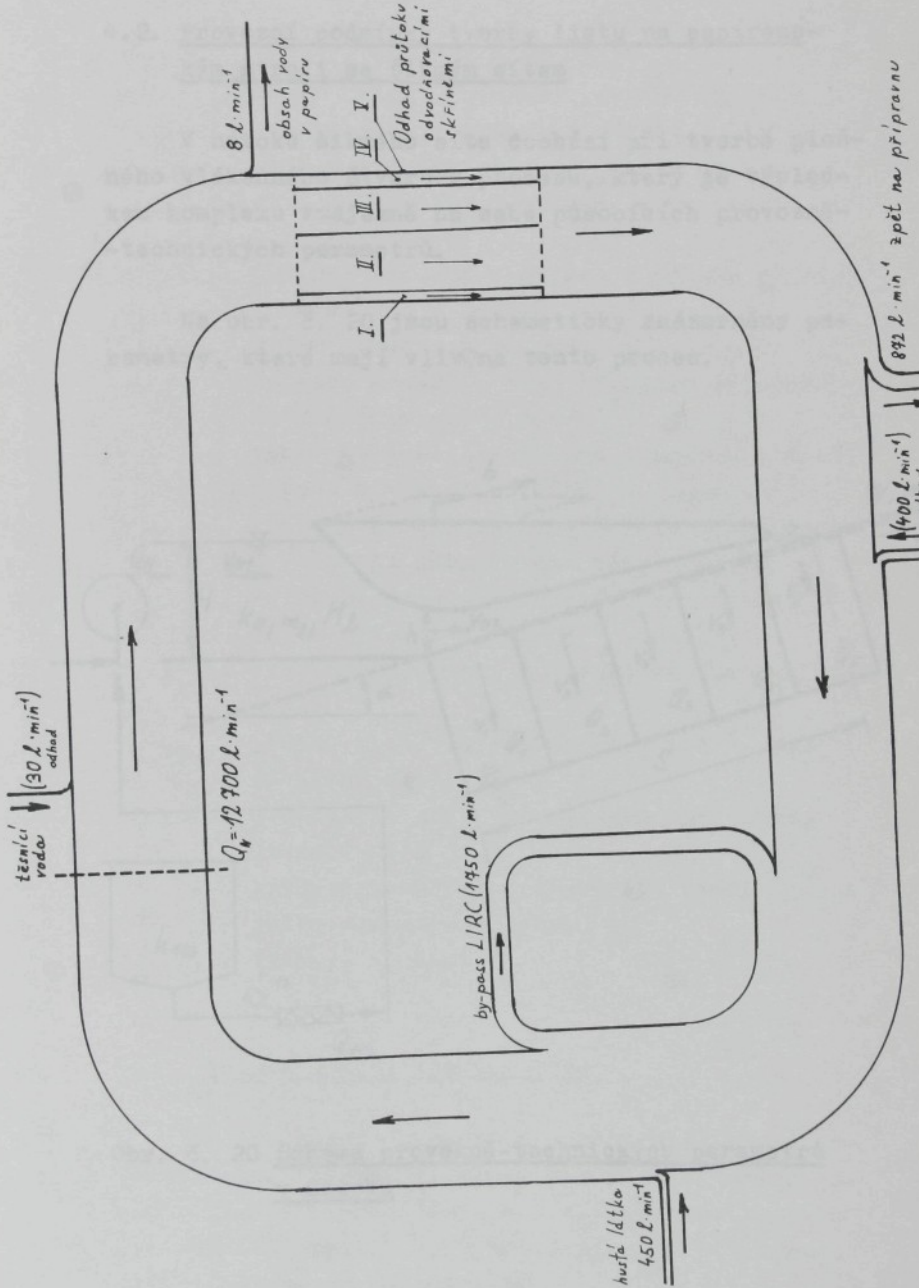
Obr. č. 18 Pracovní charakteristika monočerpadla NETZSCH NE 80B

Příklad bilančního schema vodního okruhu šikmého síta je uveden na obr. č. 19.

Stroj je vybaven regulačními obvody pro regulaci výšky hladiny v nátku, regulaci směšování v pracovní nádrži, regulátorem konsistence OPTICON EUR-CONTROL a měřičem nízkých koncentrací vláken v nátku KAJAANI LC-100. Tento přístroj založený na principu stáčení polarizační roviny suspenzí s obsahem vláken je první tohoto druhu v ČSSR.

Vlastní tvářecí jednotka šikmého síta je konstruována se sklonem  $15^{\circ}$ , rychlostí  $5-25 \text{ m} \cdot \text{min}^{-1}$  (po rekonstrukci  $40 \text{ m} \cdot \text{min}^{-1}$ ), s možností výroby materiálů o plošné hmotnosti  $20-350 \text{ g} \cdot \text{m}^{-2}$ . Stroj je osazen fosforbroncovým sítěm A26 - trojvazný kepr.

Lisová partie se skládá ze tří lisů - sacího dvouplstěncového, se spodním sítěm a offsetového. Pro výrobu filtračních papírů se lisová partie nevyužívá. Sušící část stroje je konstantní s válci vytápěnými parou a je společná stejně jako lisová partie pro obě tvářecí jednotky. Je rozdělena na dvě části - předsoušecí a hladící s 10 válci o průměru 1500 mm a 2 válci o průměru 3000 mm. První osové navíječe s elektronickou regulací tahu umožňují navíjení výrobků, které nevyžadují další úpravu. Následuje klížící lis (impregnace) a dosoušení partie s 6 válci o průměru 1500 mm a chladící válec o průměru 1500 mm. Dále jsou zařazeny druhé osové navíječe, tříválcová hladící stolice a navíječ Pope.

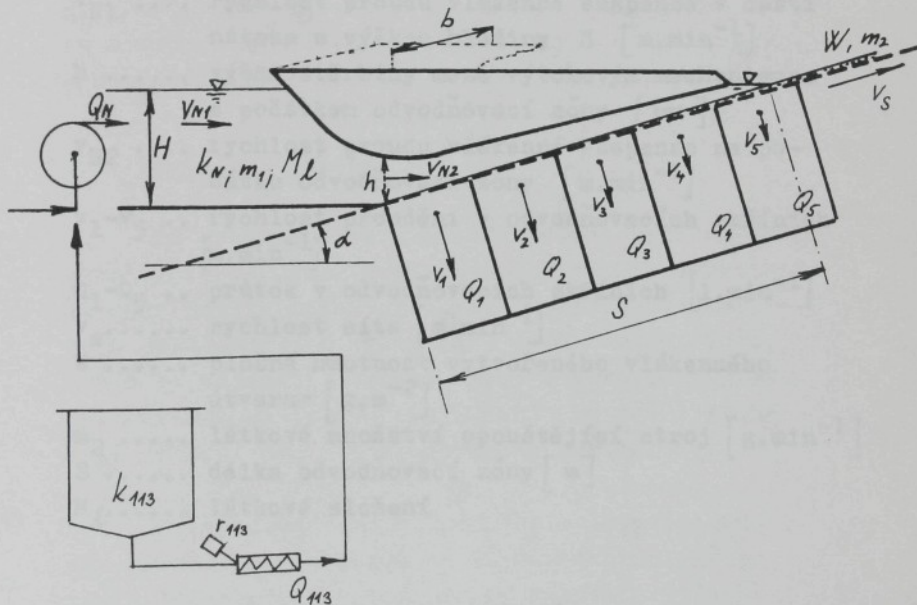


Obr. č. 19 Bilanční schéma vodního okruhu šikmého síta (příklad)

4.2. Provozní podmínky tvorby listu na papírenském stroji se šikmým sítem

V nátoku šikmého síta dochází při tvorbě plošného vlákenného útvaru k procesu, který je výsledkem komplexu vzájemně na sebe působících provozně-technických parametrů.

Na obr. č. 20 jsou schematicky znázorněny parametry, které mají vliv na tento proces.



Obr. č. 20 Schema provozně-technických parametrů v nátoku

- $\alpha$  ..... sklon síta (neměnný  $\alpha = 15^\circ$ )  
 $b$  ..... šířka nátoku (neměnná  $b = 1400$  mm).  
 $k_{113}$  ... konsistence v pracovní nádrži A 113 [ $g \cdot l^{-1}$ ]  
 $r_{113}$  ... otáčky monočerpadla  $P_{113}$  [ $min^{-1}$ ]  
 $Q_{113}$  ... průtok vlákenné suspenze za čerpadlem  
 $P_{113}$  [ $l \cdot min^{-1}$ ]  
 $Q_N$  ..... průtok vlákenné suspenze v nátoku [ $l \cdot min^{-1}$ ]  
 $k_N$  ..... konsistence v nátoku [ $g \cdot l^{-1}$ ]  
 $H$  ..... výška hladiny v nátoku [mm]  
 $m_1$  ..... látkové množství před procesem odvodnění  
filtrací na síť [ $g \cdot min^{-1}$ ]  
 $v_{N1}$  .... rychlosť proudu vlákenné suspenze v časti  
nátoku s výškou hladiny  $H$  [ $m \cdot min^{-1}$ ]  
 $h$  ..... výška štěrbiny mezđ výtakovým mechanismem  
a počátkem odvodňovací zóny [mm]  
 $v_{N2}$  .... rychlosť proudu vlákenné suspenze na po-  
čátku odvodňovací zóny [ $m \cdot min^{-1}$ ]  
 $v_1-v_5$  .. rychlosť proudění v odvodňovacích skříních  
[ $m \cdot min^{-1}$ ]  
 $Q_1-Q_5$  .. průtok v odvodňovacích skříních [ $l \cdot min^{-1}$ ]  
 $v_s$ ..... rychlosť síta [ $m \cdot min^{-1}$ ]  
 $W$  ..... plošná hmotnost vytvořeného vlákenného  
útvaru<sup>m</sup> [ $g \cdot m^{-2}$ ]  
 $m_2$  ..... látkové množství opouštějící stroj [ $g \cdot min^{-1}$ ]  
 $S$  ..... délka odvodňovací zóny [m]  
 $M_\ell$ ..... látkové složení

#### 4.3. Zvolené metody postupu práci

Pro dosažení cíle práce - objasnit, které re-  
gulovatelné vstupní podmínky rozhodující měrou mo-  
hou ovlivnit tvorbu listu a tím výslednou kvalitu  
filtračních papírů, bylo nutné zjednodušit systém  
volbou konstantních podmínek.

Navrhl jsem uskutečnit několik serií zkoušek výroby filtračního materiálu se stejným materiálovým složením, kde bude pro každou serii udržována konstantní plošná hmotnost a sledován vliv změny koncentrace vláken na nátokové poměry a na proces tvorby listu vyhodnocený z hlediska změn hodnot filtračních parametrů, při zachování ostatních podmínek jako konstantních.

Pro proměření hodnot filtračních parametrů použít metody používané pro charakterizaci filtračních materiálů obdobného typu v běžné výrobní praxi. Změny porovnat s vyhodnocenými nátokovými poměry a navrhnut řešení pro zlepšení a stabilizaci chodu zařízení - tvářecí jednotky se šikmým sítem.

#### 4.4. Provedení zkoušek

Při praktickém provedení zkoušek bylo nutné přistoupit na několik zjednodušujících předpokladů. Zejména nebylo možné sledovat proces v jednotlivých odvodňovacích skříních v zóně tvorby listu, neboť se nepodařilo stroj vybavit původně plánovaným měřicím zařízením pro měření průtoku v trubkách odvodu vody z odvodňovacích skříní.

Pro zjednodušení situace bylo přistoupeno na předpoklad, že celou délku odvodňovací zóny tvoří jedna odvodňovací skříň. Regulační klapky pro ovládání průtoku jednotlivými skříněmi byly otevřeny na maximum při všech prováděných zkouškách. V reálném provozu se klapkami nastavuje postupné odvodňování a výška hladiny v nátku. V celé problematice má základní význam určení rychlostních poměrů látky a síta. Při úvaze jedné od-

vodňovací skříně dochází ke kritickým poměrům rychlosti proudu vlákenné suspenze v místě nejvyšší rychlosti suspenze - na začátku tvářecí zóny. Rychlosť suspenze vláken s postupujícím odvodňováním a vznikající filtračním odporem klesá až k místu vynoření v nejvyšším bodě, kde je rychlosť proudu suspenze již nulová.

Situaci pro vyšetření rychlostních poměrů komplikoval především výtokový mechanismus. Jeho poloha byla zvolena tak, aby vzdálenost mechanismu od síta na začátku odvodňovací zóny byla maximálně možná - 130 mm (měřeno kolmo k ose proudu suspenze vláken). Vyšší zdvih mechanismu konstrukce stroje neumožňuje, vzhledem k umístění těsně u stropu haly papírenského stroje.

Z výše uvedených důvodů byly sledovány poměry v místě začátku odvodňovací zóny - viz obr. č. 15.

Další omezení rozsahu původně plánovaných prací bylo zapříčiněno poruchou přístroje KAJAANI LC-100 pro kontinuelní měření velmi nízkých koncentrací vláken. Přístroj byl po celou dobu provádění zkoušek mimo provoz a hodnoty koncentrací v nátoku bylo nutné zjišťovat laboratorními metodami.

#### 4.4.1. Použitá vlákenná zanáška

Vlákna krátkých řezů nejsou dosud v ČSSR běžně k dispozici. Omezené množství dovezených vláken by nevystačilo na experimenty náročné na spot-

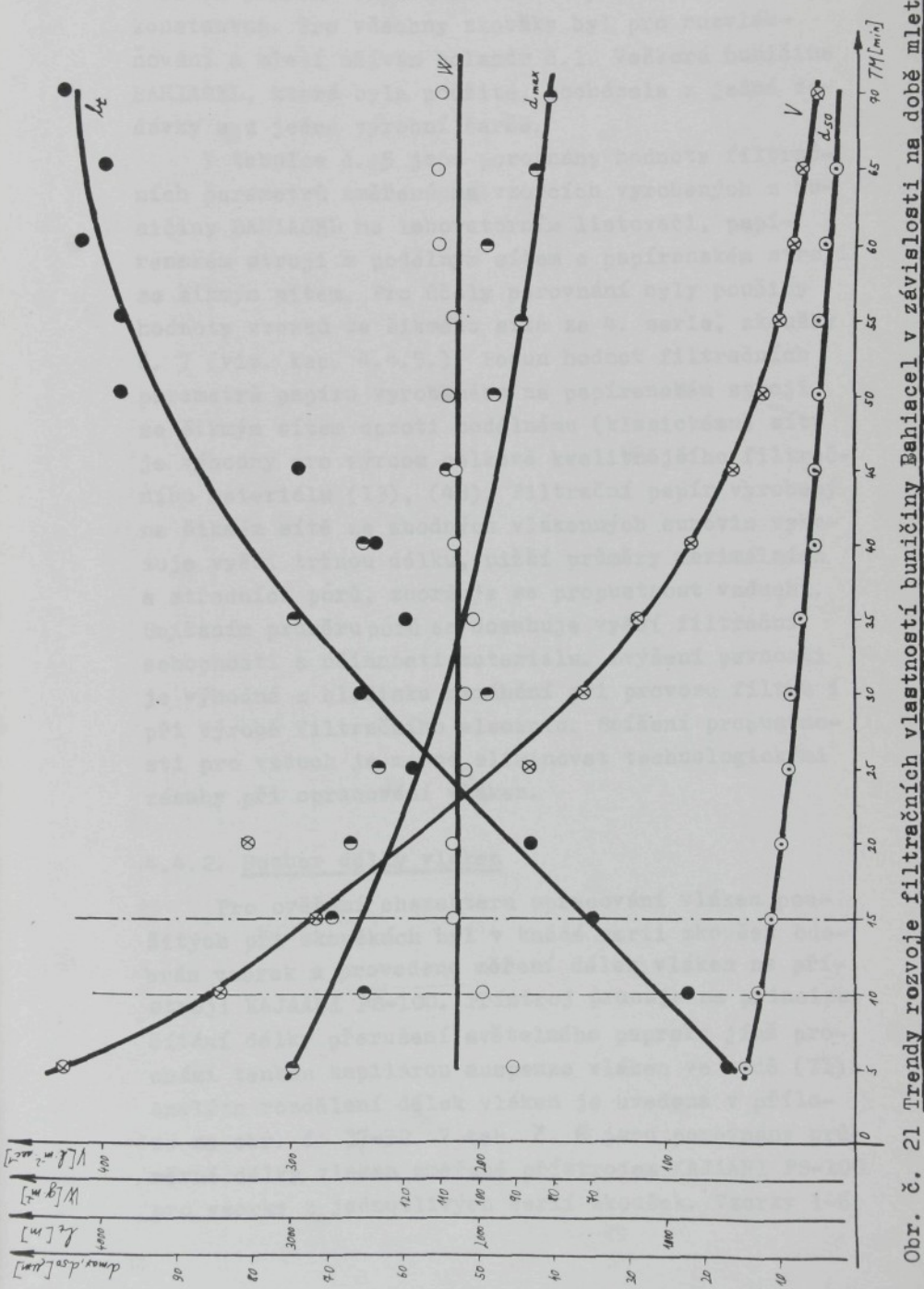
řebu vlákenného materiálu. Minimální množství vláken potřebných pro jednu zkoušku je na tomto zařízení cca 200 kg. Za předpokladu, že mechanismus tvorby listu ověřený pro zušlechtěná buničinová vlákna bude obdobný pro jiná delší vlákna, bylo rozhodnuto pro provedení experimentů použít zušlechtěnou buničinu.

Poněvadž při výrobě filtračních materiálů běžné směsové materiálové složení může přinášet další variabilitu do systému, byla zvolena jednosložková zanáška poskytující za normálních podmínek průřezově běžné hodnoty filtračních i mechanických parametrů. Ze surovin, které byly k dispozici byla po předběžných zkouškách zvolena bělená buničina ze sisalových vláken (z rostliny *Agave Sisalana*) dodávaná švédskou firmou BORREGARD pod označením BAHIACEL. Tato buničina pocházející z Brazílie má vysoký podíl  $\alpha$ - celulózy - 92,2 % a poskytuje listy s dostatečnou pevností při současně vysoké propustnosti pro vzduch.

V první fázi zkoušek byla buničina BAHIA-CEL laboratorně vyhodnocena z hlediska rozvoje vlastností v závislosti na době mletí. Výsledky a vyhodnocení jsou uvedeny v tabulce č. 4 a obr. č. 21. Byl zvolen stupeň opracování tak, aby vytvořený list poskytoval filtrační vlastnosti blízké reálným výrobkům. Za pracovní bod bylo zvoleno 10 minut rozvláčnování v holandru bez zatížení s následným mletím 15 minut při příkonu 35 kW. Toto opracování vláken BAHIACEL bylo

Tabulka č. 4 : Laboratorní výhodnocení vlastností celulózy. Rehiacel z hlediska filtráčních parametrů

1	2	3	4	5	6	7	8	9	10	11	12	13	14	15
TR [min]	T <sub>M</sub> [min]	S <sub>M</sub> [o <sub>SP</sub> ]		W [g.m <sup>-2</sup> ]	t [mm]	Q <sub>v</sub> [kg.m <sup>-2</sup> ]	V [l.m <sup>-2</sup> .s <sup>-1</sup> ]	1 <sup>#</sup> [m]	d max. [μm]	d 50 [μm]				
				5 : 6										
10	5	14,5		91	0,47	194		420	672	74,6	14,8			
10	10	15		99	0,53	187		336	893	65,3	12,9			
10	15	16		107	0,52	206		284	1398	69,6	11,3			
10	20	17		107	0,55	195		323	1715	66,9	10,0			
10	25	19		104	0,44	236		172	2353	63,3	8,9			
10	30	19,5		104	0,43	242		144	2615	49,0	8,6			
10	35	20		102	0,38	268		116	2399	74,6	7,1			
10	40	22		107	0,40	268		88	2541	65,3	5,5			
10	45	24		108	0,44	245		64	2958	54,1	5,2			
10	50	26		108	0,37	292		48	3908	47,9	4,7			
10	55	29		107	0,37	289		40	3903	44,8	4,9			
10	60	35		111	0,25	317		32	4103	49,3	4,2			
10	65	43		111	0,35	317		28	3980	42,5	2,7			
10	70	50		110	0,34	324		20	4202	40,6	neměř.			



Obr. č. 21 Trendy rozvoje filtrových vlastností buničiny Bahiacel v závislosti na době mletí

v celém průběhu experimentálních prací dodržováno konstantní. Pro všechny zkoušky byl pro rozvláčnování a mletí užíván holandr č. 1. Veškerá buničina BAHIACEL, která byla použita, pocházela z jedné dodávky a z jedné výrobní šarže.

V tabulce č. 5 jsou porovnány hodnoty filtračních parametrů změřené na vzorcích vyrobených z buničiny BAHIACEL na laboratorním listovači, papírenském stroji s podélným sítěm a papírenském stroji se šikmým sítěm. Pro účely porovnání byly použity hodnoty vzorků ze šikmého síta ze 4. serie, zkoušky č. 7 (viz. kap. 4.4.5.). Posun hodnot filtračních parametrů papíru vyrobeného na papírenském stroji se šikmým sítěm oproti podélnému (klasickému) sítu je výhodný pro výrobu celkově kvalitnějšího filtračního materiálu (13), (48). Filtrační papír vyrobený na šikmém sítě ze shodných vlákenných surovin vykazuje vyšší tržnou délku, nižší průměry maximálních a středních pórů, zhoršuje se propustnost vzduchu. Snížením průměru pórů se dosahuje vyšší filtrační schopnosti a účinnosti materiálu. Zvýšení pevnosti je výhodné z hlediska namáhání při provozu filtru i při výrobě filtračního elementu. Snížení propustnosti pro vzduch je možné eliminovat technologickými zásahy při opracování vláken.

#### 4.4.2. Rozbor délky vláken

Pro ověření charakteru opracování vláken použitých při zkouškách byl v každé serii zkoušek odebrán vzorek a provedeno měření délek vláken na přístroji KAJAANI FS-100. Přístroj pracuje na principu čítání délky přerušení světelného paprsku jímž prochází tenkou kapilárou suspenze vláken ve vodě (71). Analýza rozdělení délek vláken je uvedena v příloze na obr. č. 37-52. V tab. č. 6 jsou porovnány průměrné délky vláken změřené přístrojem KAJAANI FS-100 pro vzorky z jednotlivých sérií zkoušek. Vzorky 1-6

Tabulka č. 5 : Porovnání hodnot filtračních parametrů - laboratorní - šíkmé síto

	1	2	3	4	5	6	7	8	9	10	11	12	13	14	15
TR [min]	TM [min]	SM [min]													
labora torní ho- landr, labora- torní listovac	10	15	16												
PS podélné sí- to	10	15	-			107,0	0,52	206		284	1398	-	69,6	11,3	
PS šíkmé síto	10	15	-			107,7	0,44	245		227	1584	1092	59,6	10,5	
						110,5	0,42	263		202	2680	1284	48,4	9,3	
Porovnání po- dáliné a šíkmé síto: + zlep- šení vlastnos- tí, - zhoršení vlastnosti															
%										-25	+1096	+192	+11,2	+11,2	
										-11,0	+ 69,2	+ 17,6	+ 18,8	+ 11,4	

odpovídají serii zkoušek, vzorek 7A je buničina pouze rozvlákněná bez mletí na začátku experimentů, vzorek 7B na konci experimentů.

č. vzorku	č. serie	prům. délka vláken [mm]
1	1	1,71
2	2	1,67
3	3	1,76
4	4	1,62
5	5	1,67
6	6	1,70
7A	bez mletí	1,86
7B	bez mletí	1,85

Tabulka č. 6 Průměrné délky vláken Bahiacel

Jak vyplývá z tab. č. 6 bylo dosaženo shody opracování vláken pro zkoušky v provozních podmínkách, čemuž odpovídají téměř shodné průběhy charakteristik na obr. 37-52 v příloze. Rovněž se shodují vzorky 7A a 7B, dokumentující stejnou kvalitu výchozí suroviny na začátku a konci experimentálních prací.

#### 4.4.3. Podmínky při realizaci zkoušek

200 kg buničiny BAHIACEL ve vzduchosuchém stavu bylo zaneseno do holandru č.1 o objemu  $4 \text{ m}^3$ . 10 minut rozvláknování a 15 minut mletí při zatížení 35 kW probíhalo při koncentraci vláken cca  $50 \text{ g.l}^{-1}$ . Připravená látka byla čerpána přes nádrže 3A, A 103, A 111, A 112 do pracovní nádrže A 113 a naředěna na koncentraci cca  $4 \text{ g.l}^{-1}$ .

Po volbě žádané plošné hmotnosti otáčkami látkového čerpadla  $P_{113}$  při neměnné rychlosti běhu síta byl průtok v nátoku  $Q_N$  nastaven pomocí změny otáček směšovacího čerpadla P 66 ovládaného kmitočtovým regulátorem. Po dobu zkoušky byla výška hladiny v nátoku udržována konstantní pomocí čerpadla P 66 při vyřazení z činnosti regulačního obvodu LIRC 08. Regulační klapky odvodňovacích skříní byly otevřeny na maximum průtoku. Po krátké době se automaticky při neměnných poměrech průtoku látky v nátoku  $Q_N$  a rychlosti běhu síta  $v_s$  ustálí výška hladiny H v závislosti na odporu, který klade průtoku vody plošný vlákenný útvar vytvořený na síť filtrací a na délce filtrační zóny S. Tento odpor je přímo úměrný plošné hmotnosti vyráběného materiálu. Proto byl pro zkoušky zvolen systém, kde serie zkoušek byly provedeny při různých plošných hmotnostech. Plánované hodnoty plošných hmotností a rychlosti běhu síta udává tabulka č. 7.

Serie zkoušek č.	Plošná hmotnost $W [g.m^{-2}]$	Rychlosť běhu síta $v_s [m.min^{-1}]$
1	45	20
2	65	20
3	85	20
4	105	20
5	60	20
6	40	25

Tabulka č. 7 Plánované hodnoty W a  $v_s$

Základní serie 1.-4. byly doplněny serií 5. pro ověření získaných poznatků a 6. za podmínek maximální rychlosti běhu síta  $v_s$ .

Po cca 10 minutách ustálení chodu stroje bylo odebíráno 10 vzorků vyrobeného filtračního papíru v intervalu po 5 minutách. Současně byly odebírány vzorky suspenze vláken z nádrže A 113 a nátoku pro stanovení koncentrace vláken  $k_{113}$  a  $k_N$ , změřeny otáčky  $r_{113}$  čerpadla  $P_{113}$  pro stanovení průtoku  $Q_{113}$  přenosným digitálním otáčkoměrem HT-441 HORNEL a odečtena rychlosť běhu síta  $v_s$  z digitálního ukazatele na panelu DT1. Tento postup byl opakován pro každou zkoušku.

#### 4.4.4. Látková bilance

Výchozím údajem pro další šetření vlivu provozně-technických parametrů na proces tvorby rouna na papírenském stroji se šikmým sítěm bylo ověření látkové bilance při jednotlivých zkouškách. Při ustálených poměrech chodu stroje platí:

$$m_1 = k_{113} \cdot Q_{113}$$

$$m_2 = W \cdot v_s \cdot b$$

$$\Delta m = m_1 - m_2$$

kde  $m_1$  ... hmotnost vláken vstupujících do stroje  
[ $\text{g} \cdot \text{min}^{-1}$ ]

$k_{113}$  ... koncentrace vláken v nádrži A 113  
[ $\text{g} \cdot \text{l}^{-1}$ ]

$Q_{113}$  ... objemový průtok čerpaný čerpadlem P 113  
[ $\text{l} \cdot \text{min}^{-1}$ ]

$m_2$  ... hmotnost vyrobeného papíru [ $\text{g} \cdot \text{min}^{-1}$ ]  
 $W$  ... plošná hmotnost [ $\text{g} \cdot \text{m}^{-2}$ ]

$v_s$  ... rychlosť síta [ $\text{m} \cdot \text{min}^{-1}$ ]

$b$  ... šířka nátoku [m]

$\Delta m$  ... ztráty vláken [ $\text{g} \cdot \text{min}^{-1}$ ]

V bilanci nejsou uvažovány ztráty ořezem formátovacími stříčkami. Ořezy se vrací gaučem zpět do procesu.

Látkové bilance pro jednotlivé serie zkoušek jsou uvedeny v tabulkách č. 8-13. Z těchto tabulek je zřejmé, že rozkolísání hodnot je dáno odchylkami v měření, zejména  $k_{113}$ , kde bylo nutné vycházet z omezeného souboru dat. Pro zjištění, zda odchylky jsou náhodné či systematické bylo provedeno porovnání souborů  $m_1$  a  $m_2$  jednotlivých serií metodou lineární regresní analýzy. Výsledkem bylo zjištění, že pro daná data s 95 % pravděpodobnosti neexistuje lineární závislost, tudíž odchylky jsou náhodného charakteru. Test významnosti mezi rozptyly a průměry souborů  $m_1$  a  $m_2$  prokázal, že rozdíl mezi průměry není významný na hladině 95 %.

V dalších pracích bylo pokračováno s tím, že pro výpočty poměrů v nátoku byl použit aritmetický průměr hmotnosti vláken vstupujícího do procesu  $m_1$  pro jednu serii zkoušek.

Hodnoty  $\Delta m$  pro jednotlivé zkoušky dokumentují ztráty vláken ke kterým zákonitě dochází od plavení velmi krátkých podílů do podsítových vod. Další ztráty vznikají ulpíváním vláken na síťě, zvláště pro šíkmé síto typickým ulpíváním v kolmém směru. K tomuto jevu dochází z důvodů příliš rychlého odvodňování vkl. odvodňovací skříní, která byla pro zjednodušení poměrů při experimentech používána bez obvyklého

Táblučka č. 8 : Látková bilance

1	2	3	4	5	6	7	8	9	10	11	12	13	14	15
serie č.	zkušeb. č.	H [mm]	$\frac{k_{113}}{g \cdot min}$	$\frac{Q_{113}}{[l \cdot m]}$	$\frac{m_1}{[g \cdot min^2]}$	$\frac{W}{[g \cdot min^2]}$	$\frac{v_B}{[m \cdot min^{-1}]}$	$\frac{m_2}{[g \cdot min^{-1}]}$						$\Delta m$ [g \cdot min^{-1}]
					6 \cdot d	5 \cdot 7								
					d=2									
1	1	255	4,1951	150	300	1259	43,0	20,6	1200	19,0				
	2	220	4,1248	150	300	1237	42,0	20,6	1211	20,0				
	3	185	4,2048	149	298	1253	40,0	20,7	1159	94,0				
	4	106	4,2193	151	302	1274	19,1	20,7	553	neplatné				
	5	255	4,2058	151	302	1270	44,0	20,7	1275	-5,0				
	6	262	4,3616	152	304	1326	44,0	20,5	1263	63,0				
	7	275	4,2628	151	302	1287	44,0	20,6	1269	18,0				
	8	283	4,1859	150	300	1256	44,0	20,6	1269	-13,0				
	9	305	4,2108	150	300	1263	43,4	20,5	1246	17,0				
	10	315	4,2207	150	300	1266	44,2	20,5	1268	-2,0				
	Ø		4,2192	150,4	301	1269	43,17	20,6	1245	24,1				

Tabulka č. 9 : Látková bilance

Tabuľka č.10 : Látkové titílence

serie č.	zkušob. č.	H [mm]	$k_{113}$ [g.1-1]	$r_{113}$ [min] [min]	$Q_{113}$ [l.min <sup>-1</sup> ] [l.min <sup>-1</sup> ]	$m_1$ [g.min <sup>-1</sup> ] [g.min <sup>-1</sup> ]	W [g.m <sup>-2</sup> ] [g.m <sup>-2</sup> ]	$v_B$ [m.min <sup>-1</sup> ] [m.min <sup>-1</sup> ]	$m_2$ [g.min <sup>-1</sup> ] [g.min <sup>-1</sup> ]	$\Delta m$ [g.min <sup>-1</sup> ] [g.min <sup>-1</sup> ]
3	1	266	4,7350	24,6	4,92	2330	79,3	20,6	228,7	43,0
	2	206	4,9837	24,4	4,88	2403	78,1	20,6	225,2	151,0
	3	156	4,6122	24,2	4,84	2232	77,5	20,7	224,6	-14,0
	4	106	4,6018	24,6	4,92	2264	78,2	20,6	225,5	9,0
	5	262	4,7284	24,6	4,92	2326	80,2	20,5	230,2	24,0
	6	275	4,8124	24,7	4,94	2377	77,4	20,7	224,3	134,0
	7	281	4,6987	24,5	4,90	2302	80,7	20,6	2327	-25,0
	8	291	4,9526	24,4	4,88	2417	82,0	20,4	234,2	75,0
	9	331	4,8326	24,5	4,90	2368	81,6	20,6	235,3	15,0
	10	371	4,6849	24,5	4,90	2276	80,6	20,6	2325	-49,0
	11	376	4,6729	24,6	4,92	2299	80,4	20,6	2319	-20,0
	12	401	4,6168	24,4	4,88	2253	78,3	20,7	2269	-16,0
	Ø		4,7360	24,5	4,90	2320	79,5	20,60	2293	27,0

Tabuľka č. 11 : Látkové bilance

1	2	3	4	5	6	7	8	9	10	11	12	13	14	15
serie č.	zložka č.	H [mm]	$k_{113}$ [ $\text{kg} \cdot \text{min}^{-1}$ ]	$r_{113}$ [ $\text{min}^{-1}$ ]	$Q_{113}$ [ $\text{l} \cdot \text{min}^{-1}$ ]	$m_1$ [ $\text{g} \cdot \text{min}^{-1}$ ]	$w$ [ $\text{g} \cdot \text{min}^{-1}$ ]	$v_s$ [ $\text{m} \cdot \text{min}^{-1}$ ]	$m_2$ [ $\text{g} \cdot \text{min}^{-1}$ ]	$\Delta m$ [ $\text{g} \cdot \text{min}^{-1}$ ]				
					6 + d d=2	5 + 7				10.11.b b=1,4				
4	1	266	3,8702	396	792	3065	106,0	20,6	3057	8				
	2	240	3,8637	396	792	3076	102,0	20,7	2956	120				
	3	205	3,8732	395	790	3060	102,0	20,7	2956	104				
	4	106	3,8126	398	796	3091	35,3	20,6	1018	neplatné				
	5	266	3,8652	398	796	3077	1038	20,6	2994	83				
	6	275	3,7238	397	794	2957	107,0	20,5	3071	-114				
	7	290	3,9232	397	794	3115	110,5	20,5	3171	-56				
	8	320	3,8881	395	790	3072	109,0	20,5	3128	-56				
	9	376	4,2327	395	790	3347	108,4	20,6	3126	218				
	10	401	3,6374	394	788	2866	106,2	20,6	3063	-197				
	11	440	3,7943	395	790	2997	106,2	20,7	3078	-81				
	Ø		3,8704	396	792	3063	106,1	20,6	3060	3,0				

Tabuľka č. 12 : Látkové bilance

serie č.	zkouška č.	H [mm]	$k_{113}$ [g.1 <sup>-1</sup> ]	$r_{113}$ [min] [1.min <sup>-1</sup> ]	$Q_{113}$ [l.min <sup>-1</sup> ] [g.min <sup>-1</sup> ]	$m_1$ [g.min <sup>-1</sup> ]	$W$ [g.m <sup>-2</sup> ] [m.min <sup>-1</sup> ]	$v_s$ [m.min <sup>-1</sup> ]	$m_2$ [g.min <sup>-1</sup> ] [g.min <sup>-1</sup> ]	$\Delta m$ [g.min <sup>-1</sup> ]
					6 · d d=2	5 · 7			10.11. b b=1,4	8-13
5	1	266	3,8262	246	492	1882	60,7	20,6	1751	131,0
	2	206	3,8777	246	492	1908	59,0	20,6	1702	206,0
	3	156	3,9233	245	490	1922	-	-	-	-
	4	106	3,4381	247	494	1698	-	20,6	-	-
	5	266	3,6682	247	494	1812	58,7	20,7	1701	111,0
	6	275	3,4437	249	498	1715	59,9	20,6	1736	- 21,0
	7	281	3,6853	248	496	1828	58,6	20,5	1682	146,0
	8	285	3,2020	250	500	1601	58,4	20,5	1676	-75,0
	9	291	3,6679	246	496	1819	57,9	20,5	1662	157,0
	10	305	3,4721	249	498	1729	58,6	20,5	1682	47,0
	11	310	3,8247	245	490	1874	60,4	20,7	1750	124,0
	12	360	3,6827	247	494	1819	57,4	20,7	1663	156,0
	13	370	3,9721	245	490	1946	60,0	20,7	1739	207,0
	Ø		3,6680	247	494	1812	59,05	20,6	1703	109,0

Tabuľka č. 13 : Látkové bilance

č. serie zkuška	č.	H [mm]	k <sub>113</sub> [g·l <sup>-1</sup> ]	r <sub>113</sub> [min <sup>-1</sup> ]	Q <sub>113</sub> [1·min <sup>-1</sup> ]	m <sub>1</sub> [g·min <sup>-1</sup> ]	W [g·m <sup>-2</sup> ]	v <sub>B</sub> [m·min <sup>-1</sup> ]	m <sub>2</sub> [g·min <sup>-1</sup> ]	Δ m [g·min <sup>-1</sup> ]	15			
											1	2	3	4
						6 + d d=2	5 + 7				10,11,b b=1,4			
6	1	266	3,6027	230	460	1657	41,6	26,7	1555	102,0				
	2	206	3,4286	230	460	1577	40,6	26,8	1523	54,0				
	3	156	3,6214	229	456	1659	39,4	26,9	1484	175,0				
	4	266	3,4891	231	462	1612	45,1	26,9	1698	- 86,0				
	5	272	3,7727	230	460	1643	41,7	26,8	1565	78,0				
	6	281	3,5231	230	460	1667	42,1	26,7	1574	93,0				
	7	291	3,6989	230	460	1701	41,8	26,6	1557	144,0				
	8	295	3,5787	231	462	1653	42,1	26,5	1562	91,0				
	9	305	3,6131	232	464	1676	42,0	26,5	1558	118,0				
	10	309	3,5637	232	464	1654	45,8	26,6	1706	- 52,0				
	Ø				3,5792	230,5	461	1650	42,2	26,7	1577	73,0		

cca 90 % omezení průtoku pro uložení první vrstvy vláken. Tato vlákna jsou ze síta vyplavena čistícími stříčkami s tlakovou vodou. Záporné hodnoty  $\Delta m$  jsou jevem paradoxním, ovšem je třeba si uvědomit, že nebylo vždy možné ve stejném časovém okamžiku odebírat vzorky na vstupu a výstupu. V průměru serie zkoušek nepřekročily ztráty obvyklou mez.

#### 4.4.5. Vyhodnocení filtračních parametrů

Vzorky odebrané při zkouškách byly vyhodnoceny z hlediska filtračních parametrů. Byla sledována propustnost vzduchu  $V [l \cdot m^{-2} \cdot s^{-1}]$ , velikost maximálního a středního průměru pórů  $d_{max}$ ,  $d_{50} [\mu\text{m}]$ , tržná délka podél  $l_{tp} [m]$  a napříč směru výroby  $l_{tn} [m]$ , plošná hmotnost  $W [g \cdot m^{-2}]$  a objemová hmotnost  $\rho_v [kg \cdot m^{-3}]$ .

Výsledky jsou uvedeny v tabulkách č. 14 - 19. Nehodnocené vzorky v jednotlivých seriích neodpovídaly plošné hmotnosti zvolenému rozsahu nebo se nepodařilo tyto vzorky usušit v sušící partii stroje.

Na základě naměřených hodnot byly zpracovány grafy znázorňující trendy změn vlastností při různých výškách hladiny v nátoku. Viz obr. č. 22-27. Při porovnání grafů je možné konstatovat, že trendy vlastností jsou pro všechny serie zkoušek obdobné. Se stoupající pevností klesají maximální a střední póry a klesá propustnost pro vzduch, což ukazuje na zásejnoměrnění rozložení vláken vlivem

snižující se koncentrace vláken v nátoku. Po dosažení maxima pevností a minima velikosti pórů a propustnosti pro vzduch dochází k výraznému zvratu vlastností. Přitom dále se zvyšující se hladinou v nátoku dále klesá koncentrace vláken, což by mělo mít za následek zlepšování nebo minimálně udržení těchto dosažených hodnot. Na obr. č. 22-27 znázorňujících tyto trendy byla vyznačena oblast výšky hladiny v nátoku, při které filtrační papír má vlastnosti v optimu.

#### 4.4.6. Vyhodnocení podmínek v nátoku

Z předcházejících zjištění bylo zřejmé, že pokles vlastností souvisí se zhoršením podmínek tváření listu, se zhoršením průhledu papíru. Byly vypočítány rychlosti proudu suspenze v nátoku  $v_{N1}$  a v místě začátku odvodňovací zóny  $v_{N2}$ . Při výpočtu se vycházelo z naměřených hodnot koncentrace v nátoku  $k_N$  a průměru hmotnosti vláken vstupujících do nátoku  $m_1$ .

$$Q_N = \frac{m_1}{k_N}$$

kde -  $Q_N$  .... průtok vlákenné suspenze v nátoku  
[ $l \cdot min^{-1}$ ]

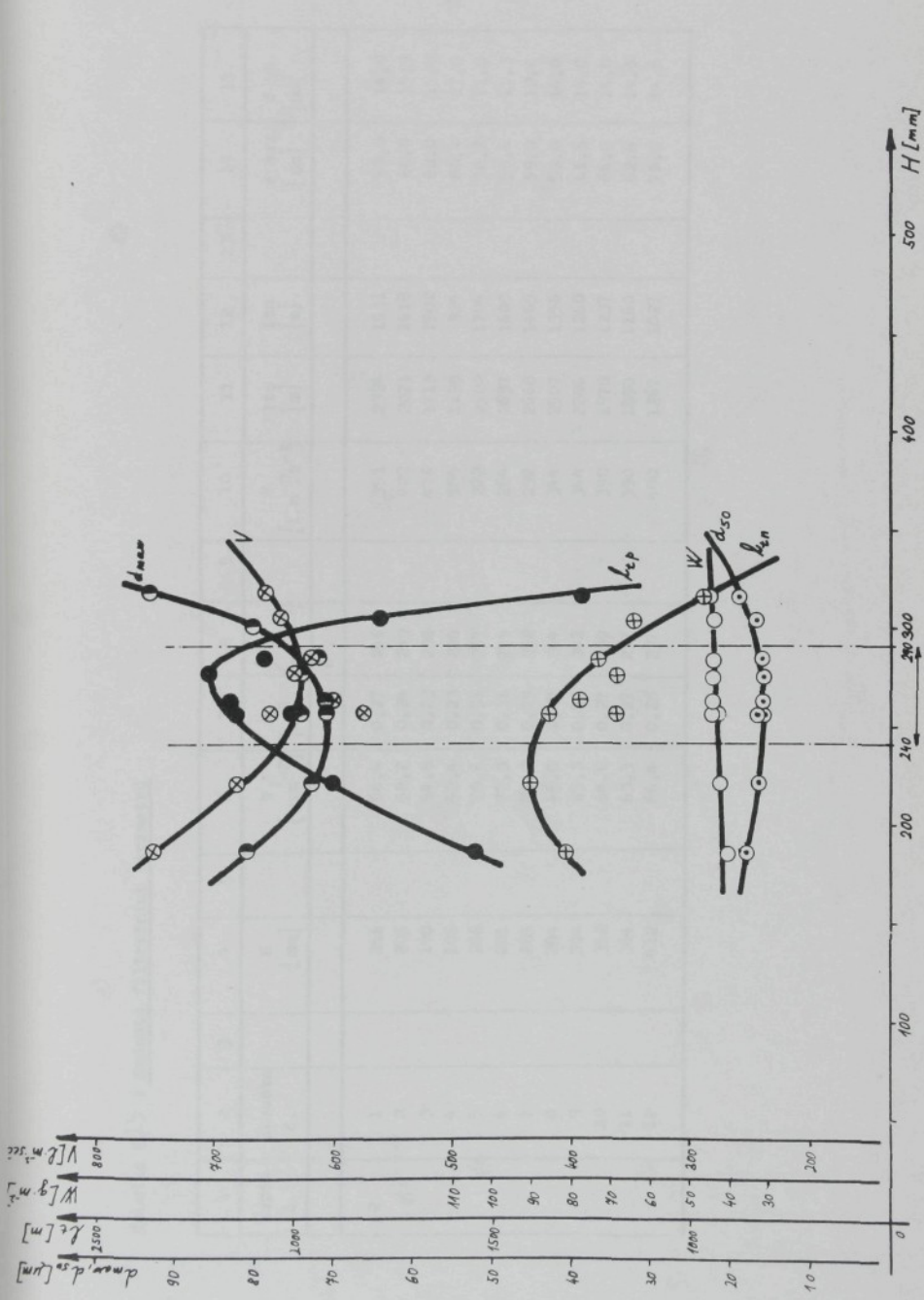
$m_1$  .... hmotnost vláken vstupujících do  
nátoku [ $g \cdot min^{-1}$ ]

$k_N$  .... koncentrace vláken v nátoku [ $g \cdot l^{-1}$ ]

Rychlosť proudu suspenze bude v místě volné hladiny

$$v_{N1} = \frac{Q_N}{P_1} = \frac{Q_N}{H \cdot b}$$

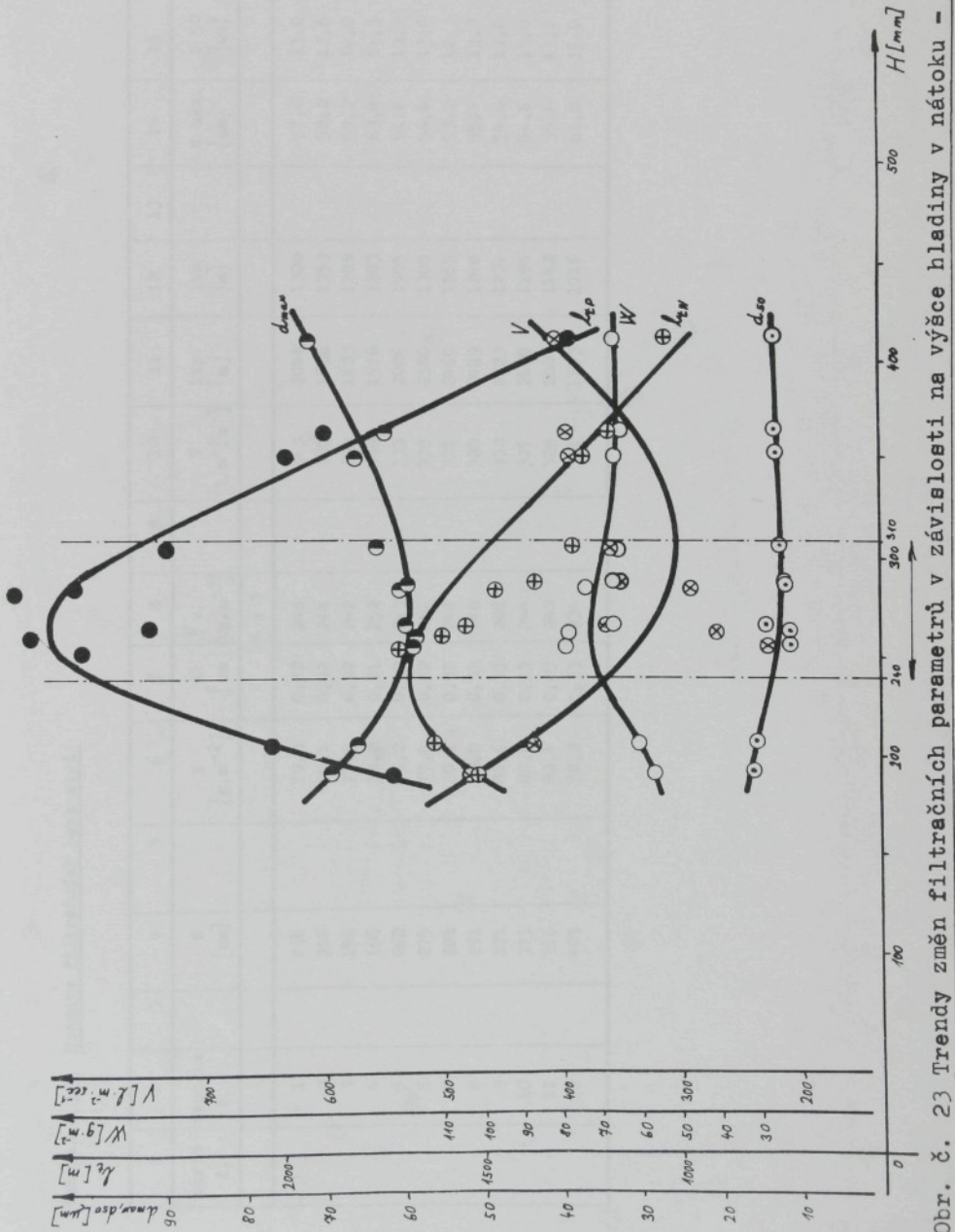




Obr. č. 22 Trendy změn filtračních parametrů v závislosti na výšce hlediny v nátoku - serie 1

Tabuľka č. 15 : Hodnoty filtračných parametrov

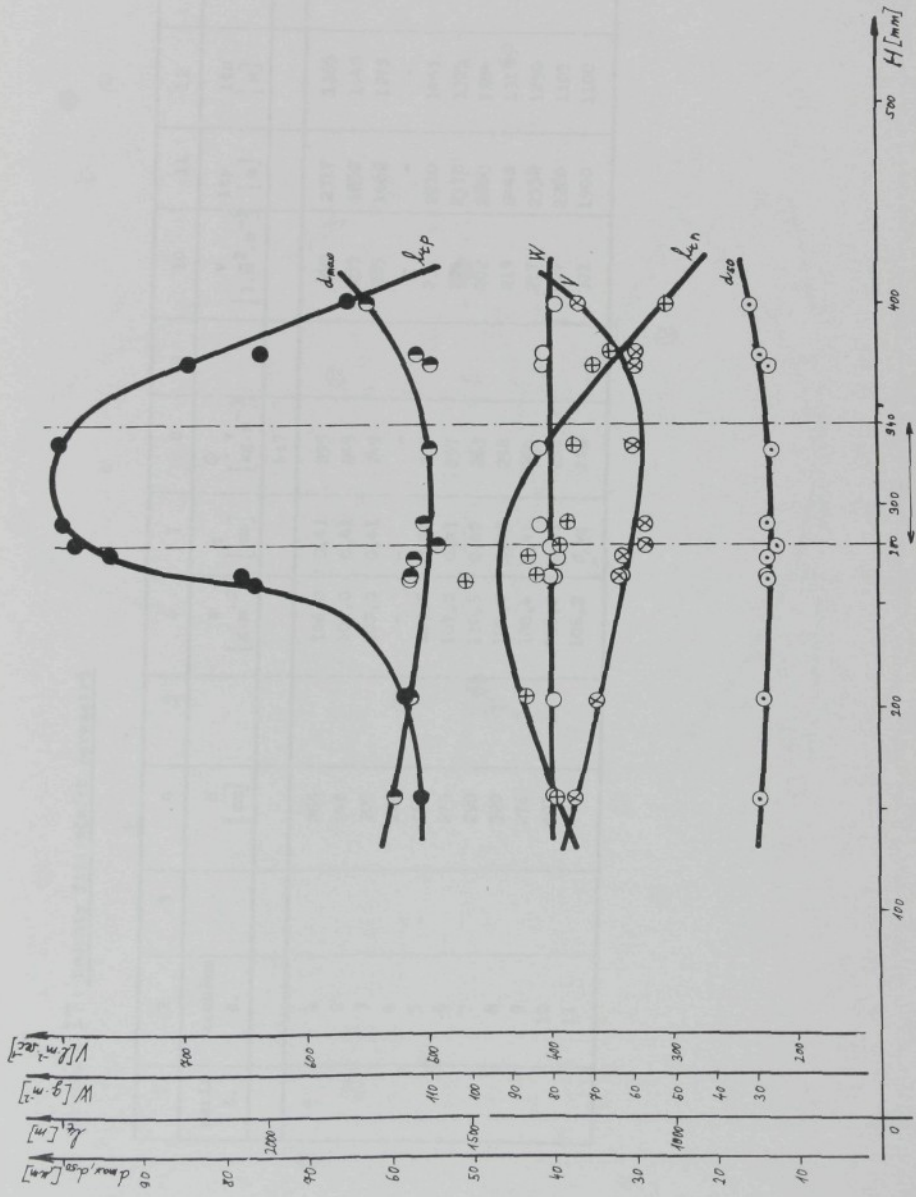
š. sérii	zkušebné č.	H [mm]	W [g.m <sup>-2</sup> ]	t [mm]	$\rho_v$ [kg.m <sup>-3</sup> ]	V [l.m <sup>-2</sup> s <sup>-1</sup> ]	l <sub>tp</sub> [m]	l <sub>tn</sub> [m]	d max. [μm]	d 50 [μm]
1	2	3	4	5	6	7	8	9	10	11
2	1	266	66,4	0,27	246	351	2324	1531	59,0	14,0
2	2	206	58,2	0,24	243	422	1618	1618	66,0	15,3
3	190	54,8	0,23	238	476	1719	1502	68,0	15,6	
4	106	52,4	0,23	228	585	1198	924	80,4	17,0	
5	266	79,6	0,31	257	222	2502	1704	58,2	11,0	
6	281	77,3	0,31	249	264	2637	1600	55,6	11,3	
7	285	73,2	0,29	252	292	2668	1465	59,0	12,6	
8	284	66,0	0,27	244	344	2507	1356	59,0	14,0	
9	304	65,3	0,27	242	344	2286	1260	61,6	14,0	
10	352	64,6	0,27	239	390	1978	1237	66,0	14,0	
11	364	63,3	0,27	237	390	1890	1160	62,8	14,0	
12	412	66,4	0,28	237	400	1267	1027	72,8	14,6	
				6 : 7						



Obr. č. 23 Trendy změn filtračních parametrů v závislosti na výšce hladiny v nátku - serie 2

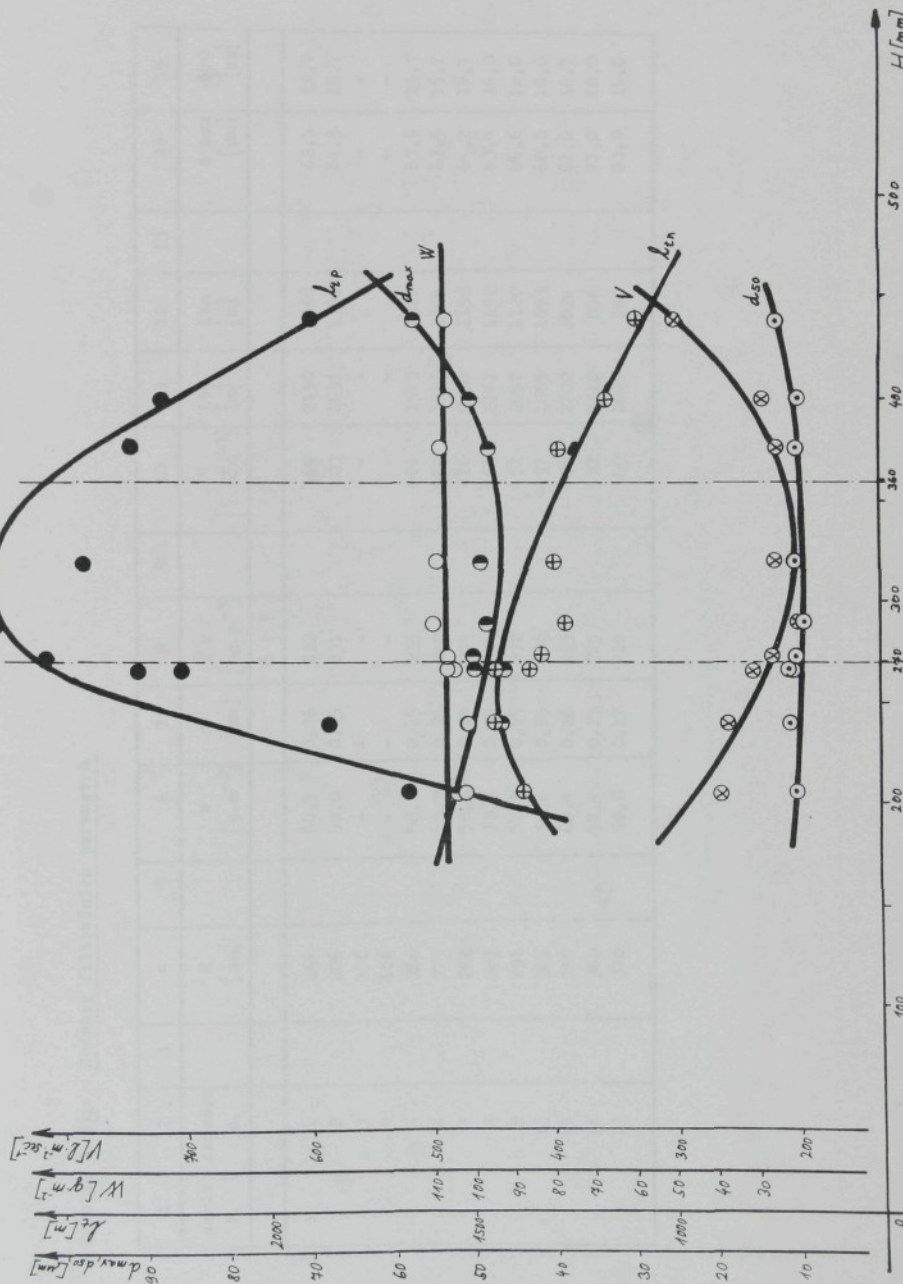
Tabulka č. 16 Hodnoty filtracích parametrů

Serie č.	Zkouška č.	H [mm]	W [g·m <sup>-2</sup> ]	t [mm] $\frac{\rho_v}{\text{kg} \cdot \text{m}^{-3}}$	$\frac{V}{1 \cdot \text{m}^{-2} \cdot \text{s}^{-1}}$ [m]	ltp [m]	ltn [m]	d max. [μm]								
								1	2	3	4	5	6	7	8	9
6 : 7																
3	1	266	79,3	0,32	248	34,3	2044	1320							57,0	13,0
	2	206	78,1	0,32	244	360	1636	1353							58,2	13,6
	3	156	77,5	0,32	242	382	1623	1289							59,2	14,0
	4	106	78,2	0,31	252	388	1576	1283							63,4	14,3
	5	262	80,2	0,33	243	333	2026	1505							61,6	13,3
	6	275	77,4	0,32	242	339	2380	1300							56,6	13,0
	7	281	80,7	0,32	248	321	2460	1265							53,2	12,3
	8	291	82,0	0,33	248	320	2489	1248							55,4	13,3
	9	331	81,6	0,33	247	332	2223	1234							54,6	13,0
	10	371	80,6	0,33	244	327	2180	1199							54,6	13,0
	11	376	80,4	0,33	240	329	2004	1142							55,6	13,7
	12	401	78,3	0,33	234	371	1793	1016							61,8	15,0



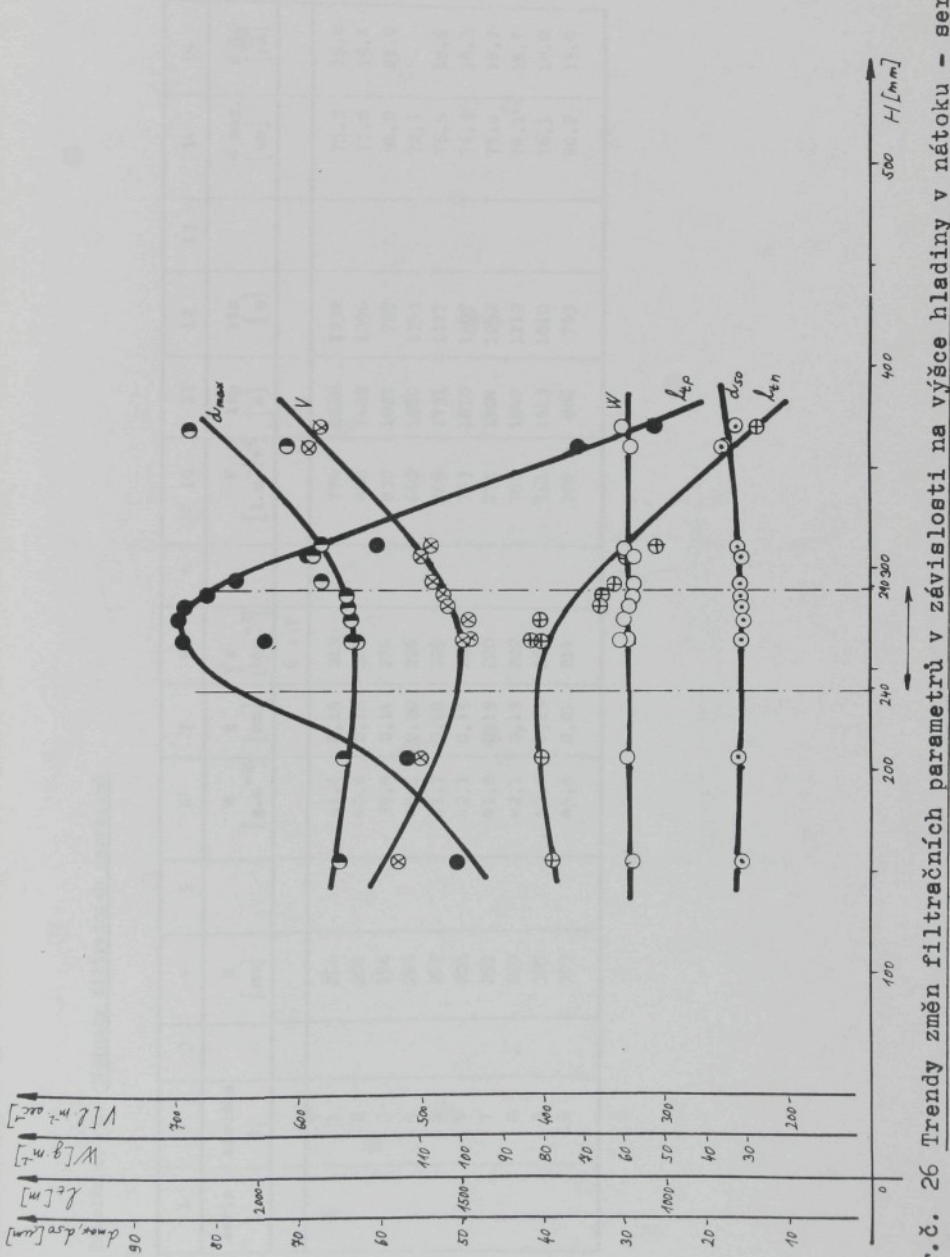
Obr. č. 24 Trendy změn filtračních parametrů v závislosti na výšce hladiny v nátku - serie 3

Tabulka č.17: Hodnoty filtracních parametrů



Obr. č. 25 Trendy změn filtračních parametrů v závislosti na výšce hladiny v nátku - serie 4

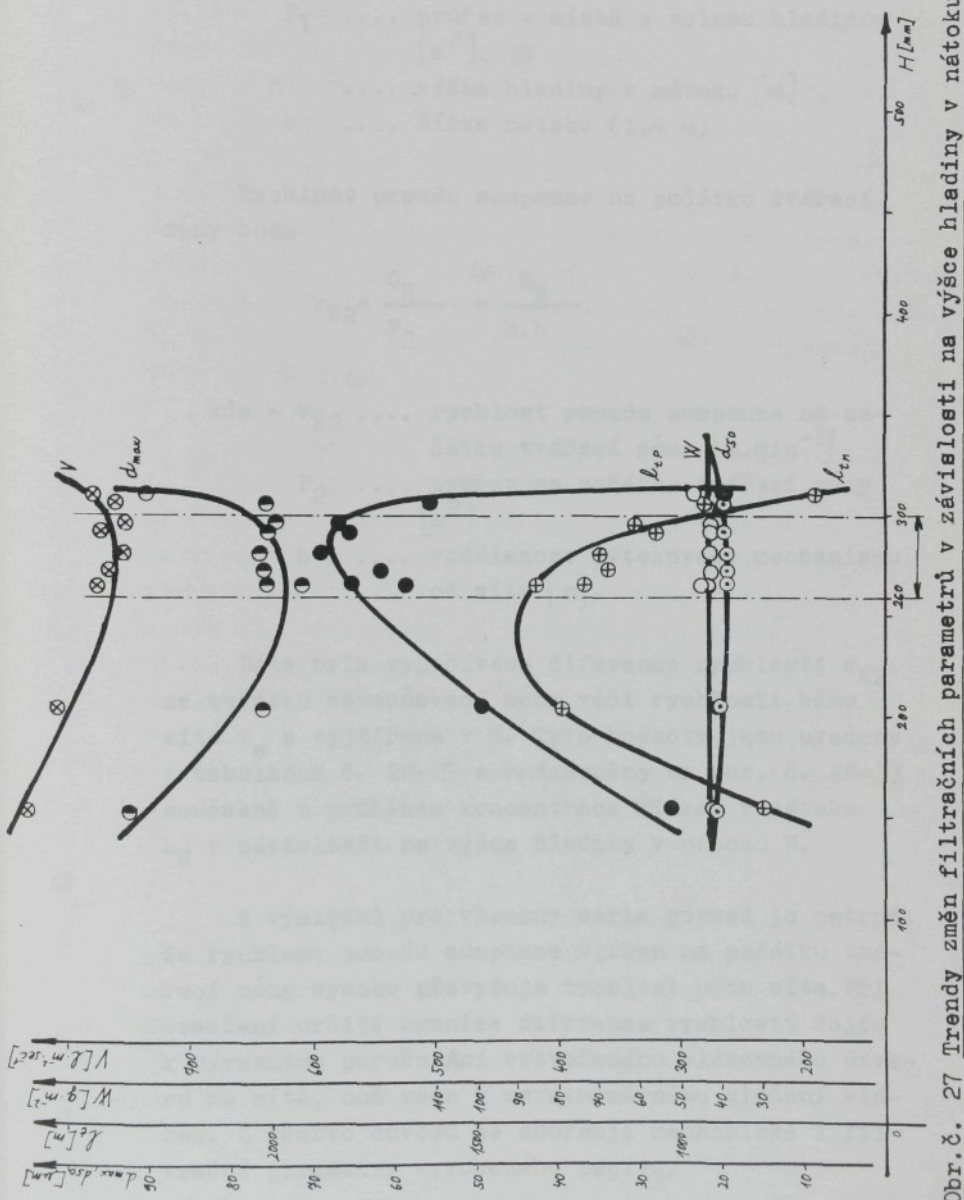
Tebulkę č. 18: Hodnoty filtrování parametrů



Obr.č. 26 Trendy změn filtracních parametrů v závislosti na výšce hladiny v nátku - serie 5

Tabulka č. 19: Hodnoty filtrovačních parametrů

serie	zkušeb. č.	H [mm]	W [g·m <sup>-2</sup> ]	t [mm]	ρ <sub>v</sub> [kg·m <sup>-3</sup> ]	V [1·m <sup>-2</sup> ·s <sup>-1</sup> ]	l <sub>tp</sub> [m]	l <sub>tn</sub> [m]	d max. [μm]	d 50 [μm]
				6 : 7						
6	1	266	41,6	0,19	219	774	1668	1232	75,3	19,0
	2	206	40,6	0,18	219	808	1482	1296	77,0	19,6
	3	156	39,4	0,14	276	830	1021	799	94,0	21,0
	4	266	45,1	0,20	226	662	1800	1353	72,1	-
	5	272	41,7	0,18	225	768	1731	1177	76,6	18,6
	6	281	42,1	0,19	222	753	1878	1189	76,9	18,3
	7	291	41,8	0,19	220	771	1804	1052	75,4	18,7
	8	295	42,1	0,19	222	752	1847	1112	74,1	18,7
	9	305	42,0	0,19	221	761	1613	1010	76,5	18,0
	10	309	45,8	0,21	214	782	886	763	90,2	19,0



kde -  $v_{N1}$  .... rychlosť proudu suspenze [ $m \cdot min^{-1}$ ]  
 $Q_N$  .... prútok vlákenné suspenze [ $l \cdot min^{-1}$ ]  
 $P_1$  .... prúžez v miestě s volnou hladinou  
[ $m^2$ ]  
 $H$  .... výška hladiny v nátoku [m]  
 $b$  .... šírka nátoku (1,4 m)

Rychlosť proudu suspenze na počátku tvářecí zóny bude

$$v_{N2} = \frac{Q_N}{P_2} = \frac{Q_N}{h \cdot b}$$

kde -  $v_{N2}$  .... rychlosť proudu suspenze na začátku tvářecí zóny [ $m \cdot min^{-1}$ ]  
 $P_2$  .... prúžez na začátku tvářecí zóny  
[ $m^2$ ]  
 $h$  .... vzdálenosť výtokového mechanismu od síta [m]

Dále byla vypočítána diference rychlosťi  $v_{N2}$  na začátku odvodňovací zóny vůči rychlosći běhu síta  $v_s$  a vyjádřena v %. Tyto hodnoty jsou uvedeny v tabulkách č. 20-25 a znázorněny na obr. č. 28-33 současně s průběhem koncentrace vláken v nátoku  $k_N$  v závislosti na výše hladiny v nátoku H.

Z výsledků pro všechny serie pokusů je patrné, že rychlosť proudu suspenze vláken na počátku tvářecí zóny vysoko převyšuje rychlosť běhu síta. Při dosažení určité hranice diference rychlosťí dojde k výraznému porušování vytvořeného vlákenného útvaru na síte, což vede k nerovnoměrnému uložení vláken. Z těchto důvodů se zhoršují mechanické i filtrační parametry vyrobeného papíru.

Jako opatření ke snížení diference rychlostí bylo navrženo zvýšit konstrukční rychlosť běhu síta na hodnotu  $35 \text{ m} \cdot \text{min}^{-1}$ . Tato rychlosť je dosažitelná změnou převodových poměrů v mechanické části pohonu stroje. Další zvýšení rychlosti není možné z důvodu konstrukce pohonu celého stroje včetně sušicí partie. Pro tuto rychlosť byly vypočítány hodnoty diference rychlostí proudu suspenze a síta. V tab. č. 20-25 jsou uvedeny ve sloupcí 13 a 14 a na obr. 28-33 je znázorněn průběh diference rychlostí při  $v_s = 35 \text{ m} \cdot \text{min}^{-1}$  čárkováně. Je patrné, že ve všech případech jsme získali nižší hodnoty diferencí a blíží se stavu kdy rozdíl rychlostí proudu suspenze a síta se rovná 0.

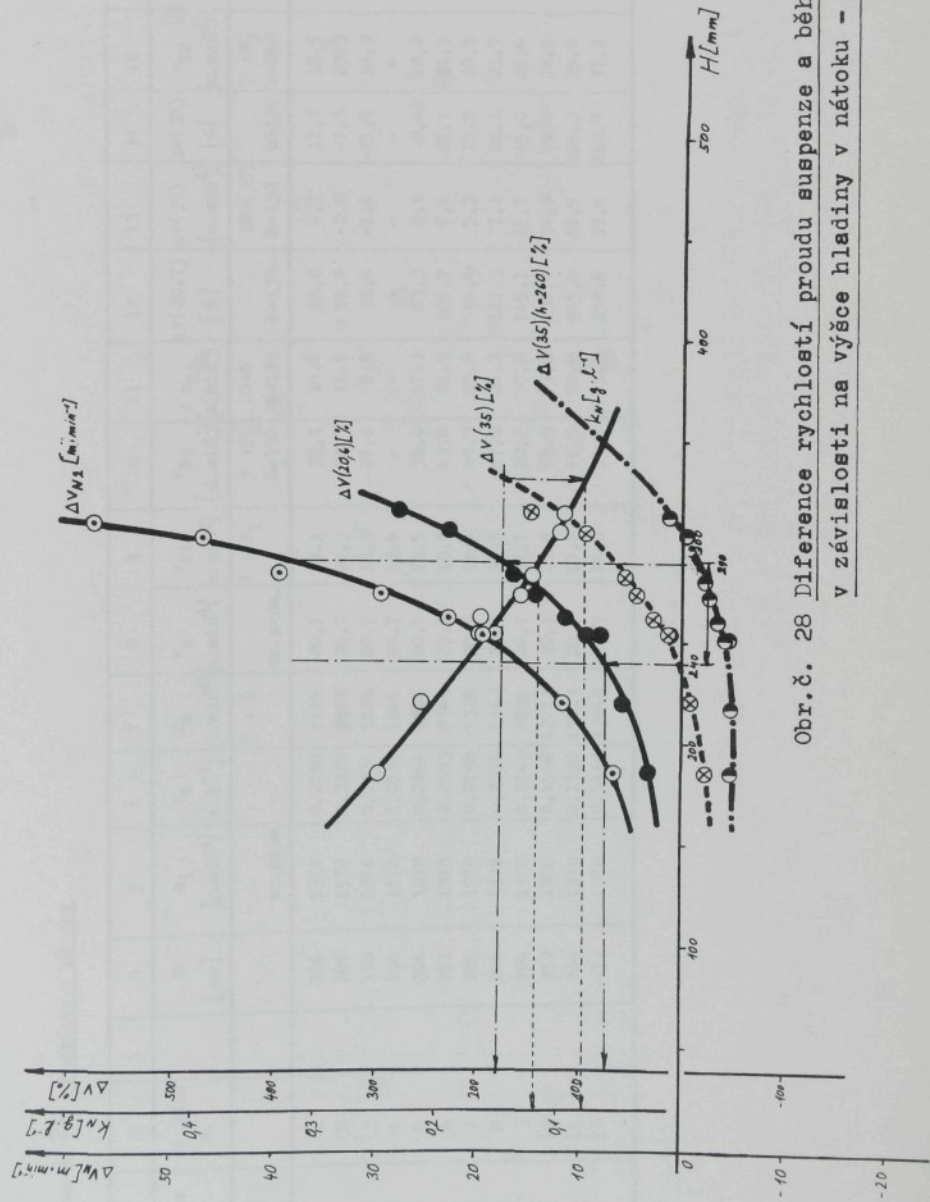
Další možnost snížení diference rychlostí proudu suspenze a běhu síta je konstrukční změna tvaru výtokového mechanismu. Po poradě s konstruktéry bylo navrženo změnit tvar tohoto dílu tak, aby vzdálenost v místě začátku odvodňovací zóny byla dvojnásobná t.j.  $h=260 \text{ mm}$ . Tato změna je znázorněna na obr. č. 34. Pro novou hodnotu průřezu  $P_3$  byly vypočítány hodnoty diferencí rychlostí uvedené v tab. č. 20-25 ve sloupcí 15, 16, 17. Z průběhu křivky znázorněné na obr. č. 28-33 čerchovanou čarou je zřejmé, že hodnoty diferencí jsou převážně záporné a nulové hodnoty je možné dosáhnout při současně nízké koncentraci vláken.

Na obr. č. 28-33 jsou znázorněny hranice výšky hladiny v nátoku a jím příslušné hodnoty v vyjádřené v %. Horní hranice diference rychlostí, při které je tvorba listu ještě přijatelná leží v rozmezí 150-220 %. Z průběhu křivek diference rychlostí na obr. č. 28-33 je možné odečíst hodnoty koncentrace

Tabulka č. 20 Podmínky v náštoku

- 98 -

Serie č.	zkušeb. č.	H [mm]	$\frac{m_1}{g \cdot min^2}$	$\frac{k_N}{g \cdot min^2}$	$\frac{Q_N}{1 \cdot min^2}$	$\frac{v_{N1}}{min}$	$\frac{v_{N2}}{min}$	$\frac{\Delta v}{min}$	$\frac{\Delta v(200)}{min}$	$\frac{\Delta v(35)}{min}$	$\frac{\Delta v(35)}{min}$	$\frac{v_{N2}}{min}$	$\frac{\Delta v(35)}{min}$		
1	2	3	4	5	6	7	8	9	10	11	12	13	14	15	
1	1	255	1269	0,1768	7177	20,6	20,1	39,5	18,9	91,6	4,5	12,7	20,1	-14,9	-42,6
2	2	220	1269	0,2164	5864	20,6	19,0	32,3	11,7	56,6	-2,8	-7,9	19,0	-16,0	-45,7
3	3	185	1269	0,2566	4945	20,6	19,1	27,2	6,6	32,0	-7,8	-22,3	19,1	-15,9	-45,4
4	4	106	1269	-	-	20,6	-	-	-	-	-	-	-	-	-
5	5	255	1269	0,1888	6721	20,6	18,8	37,0	16,4	79,4	1,9	5,6	18,8	-16,2	-46,3
6	6	262	1269	0,1595	7956	20,6	21,7	43,8	23,2	112,4	8,8	25,0	21,8	-13,2	-37,7
7	7	275	1269	0,1392	9116	20,6	23,6	50,1	29,6	143,3	15,1	43,2	25,1	-9,9	-28,3
8	8	283	1269	0,1280	9914	20,6	25,0	54,5	33,9	164,7	19,5	55,8	27,3	-7,7	-22,0
9	9	305	1269	0,1030	12320	20,6	28,9	67,8	47,2	228,8	32,8	93,6	33,9	-1,1	-3,1
10	10	315	1269	0,0892	14226	20,6	3223	78,2	57,6	279,8	43,2	123,5	39,1	4,1	11,7

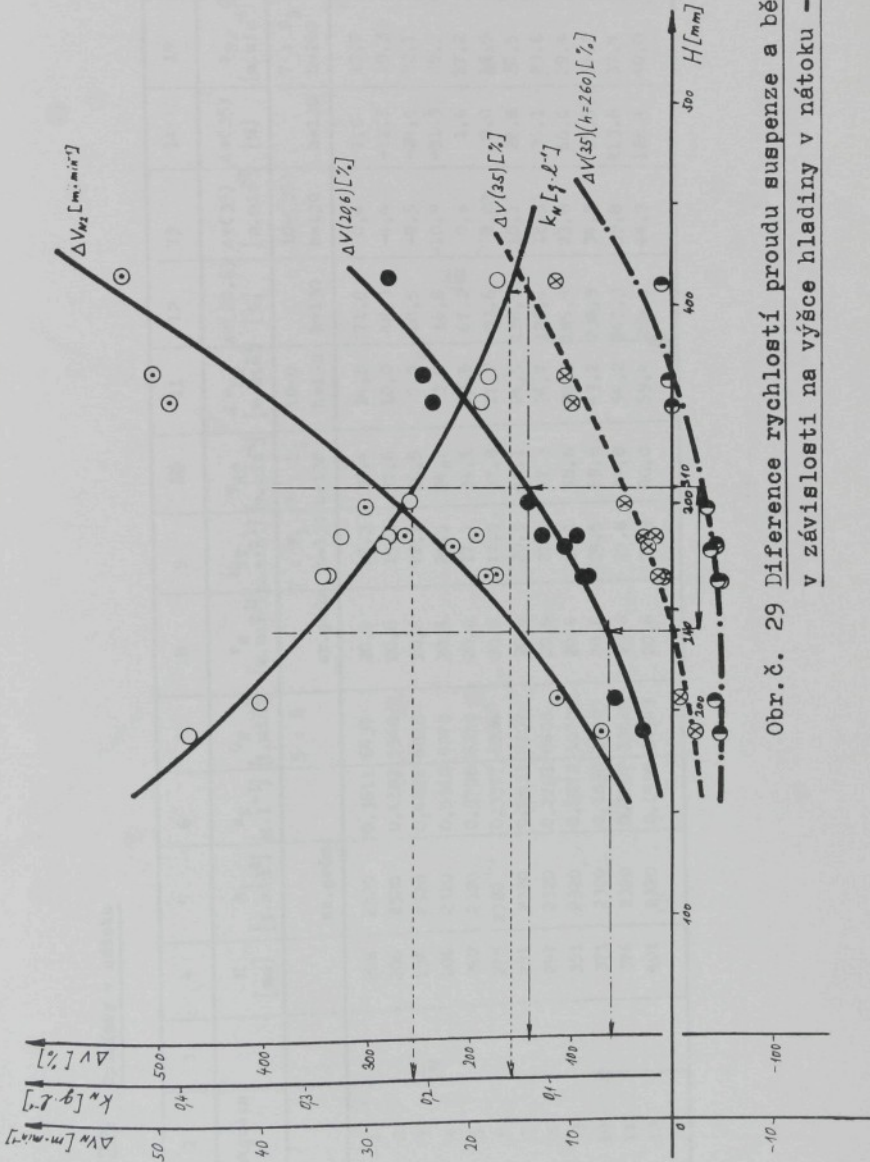


Obr.č. 28 Diference rychlostí proudu suspenze a běhu síta v závislosti na výšce hladiny v nátku - serie 1

Tabulka č. 21: Podmínky v nátočku

- 100 -

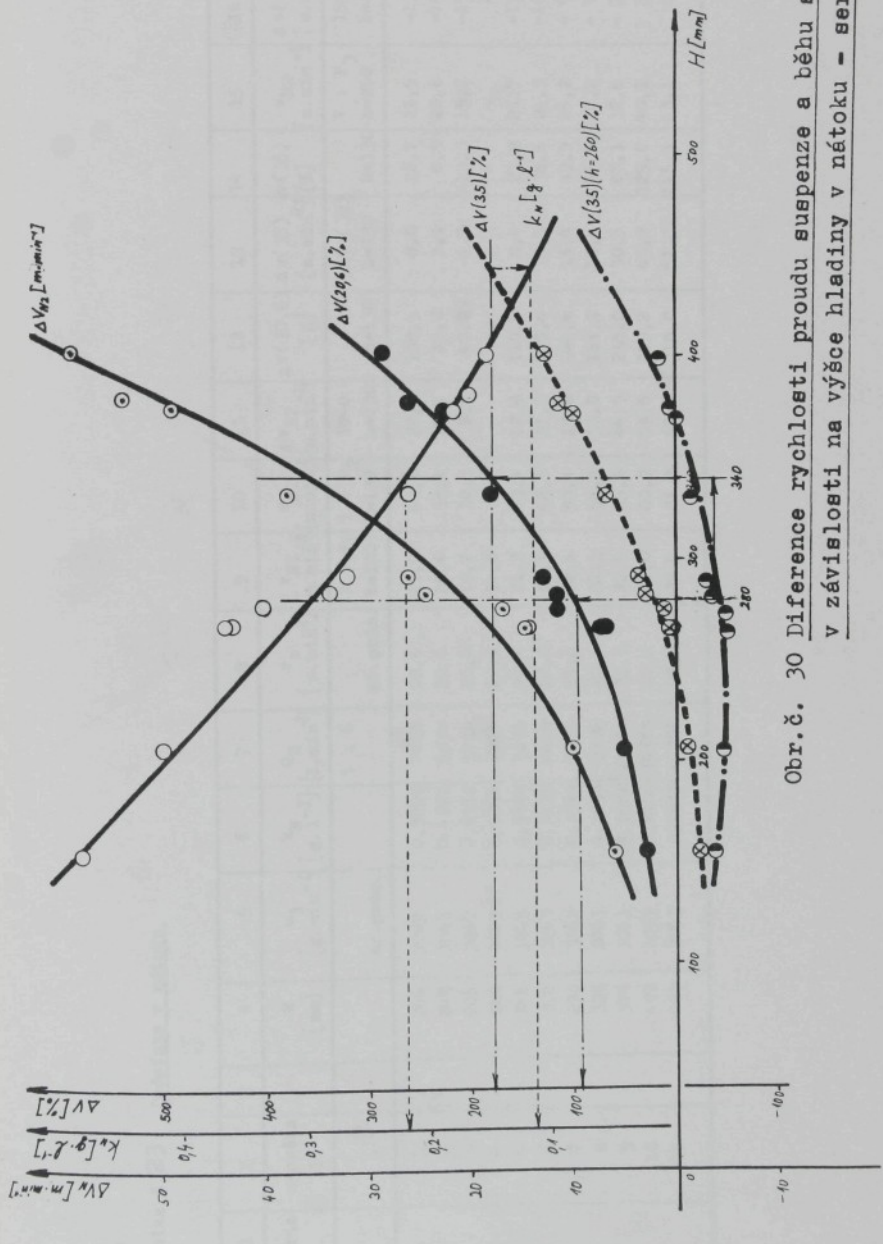
1	2	3	4	5	6	7	8	9	10	11	12	13	14	15	16	17
serie č.	zkoušká č.	H	$m_1$ [g. min $^{-2}$ ]	$k_N$	$Q_N$ [l. min $^{-1}$ ]	$v_B$ [m. min $^{-1}$ ]	$v_{N1}$ [m. min $^{-1}$ ]	$v_{N2}$ [m. min $^{-1}$ ]	$\Delta v_{N1}$ [%]	$\Delta v_{N2}$ [%]	$\Delta v(35)$ [%]	$v_{N2}$ [m. min $^{-1}$ ]	$\Delta v(35)$ [%]	$v_{N2}$ [m. min $^{-1}$ ]	$\Delta v(35)$ [%]	
				5 : 6	ar.prím.	7 : P <sub>1</sub>	7 : P <sub>2</sub>	10 : B	10 : 130	10 : 130	10 : 130	7 : P <sub>3</sub>	15 : (35)	7 : P <sub>3</sub>	15 : (35)	
2	1	266	1978	0,2780	7115	20,7	19,1	39,1	18,4	88,8	4,1	11,7	19,5	-15,5	-44,3	
	2	206	1978	0,3370	5869	20,7	20,3	32,3	11,6	55,8	-2,8	-7,9	20,3	-14,7	-42,0	
	3	190	1978	0,3934	5028	20,7	18,9	27,6	6,9	33,4	-7,4	-21,0	18,9	-16,1	-46,0	
	4	106	1978	1,0716	1845	20,7	12,4	-	-	-	-	-	-	-	-	
	5	266	1978	0,2864	6906	20,7	18,5	38,0	17,3	83,3	2,9	8,42	19,0	-16,0	-45,7	
	6	281	1978	0,2553	7749	20,7	19,7	42,6	21,9	105,7	7,6	21,7	21,3	-13,7	-39,1	
	7	285	1978	0,2700	7326	20,7	18,4	40,3	19,6	94,4	5,3	15,0	20,1	-14,9	-42,6	
	8	284	1978	0,2310	8562	20,7	21,5	47,0	26,3	127,3	7,1	20,1	23,5	-11,5	-32,9	
	9	304	1978	0,2142	9235	20,7	21,7	50,7	30,0	145,1	15,7	45,0	25,4	-9,6	-27,4	
	10	352	1978	0,1556	12712	20,7	25,8	69,9	49,2	237,4	34,9	99,6	34,9	-0,1	-0,3	
	11	364	1978	0,1520	13013	20,7	25,8	71,5	50,8	245,4	36,5	104,3	35,8	0,8	2,3	
	12	412	1978	0,1460	13548	20,7	26,9	74,4	53,7	259,6	39,4	112,7	37,2	2,2	6,3	



Obr. č. 29 Diference rychlosťí proudu suspenze a běhu síta v závislosti na výšce hladiny v nátku - serie 2

**Tabulka č. 22:** Podmínky v nětoku

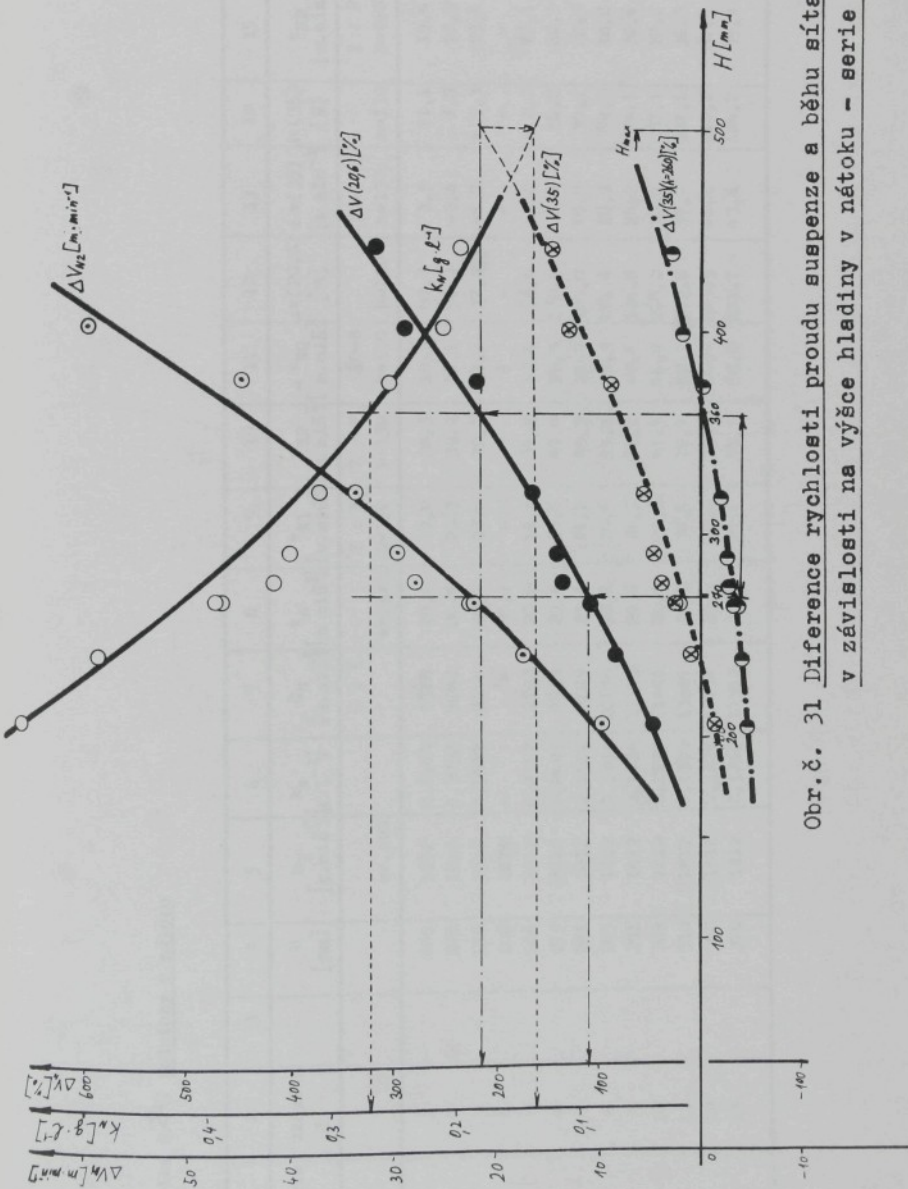
série	zkušeb.	H [mm]	$k_N$ [g.min <sup>-1</sup> ] 5 : 6	$\frac{v}{h}$ [m.min <sup>-1</sup> ] 7 : P <sub>1</sub> 6 : prům. h=130	$v_{N2}$ [m.min <sup>-1</sup> ] 7 : P <sub>2</sub> 6 : prům. h=130	$\Delta v_{N2}$ [m.min <sup>-1</sup> ] 10-8 h=130	$\Delta v(20,6)$ [%] 10-(35) h=130	$\Delta v(35)$ [%] 10-(35) h=260	$\Delta v_{N2}$ [m.min <sup>-1</sup> ] 7 : P <sub>3</sub> 6 : prům. h=260	$\Delta v(35)$ [%] 15-(35) h=260							
3	1	266	0,3611	6439	20,6	17,3	35,4	14,8	71,8	0,4	1,0	17,7	-17,3	-49,4	-4,9	4,9	-44,9
	2	206	0,4182	5560	20,6	19,3	30,6	10,0	48,3	-4,4	-12,7	19,3	-15,7	-15,7	-44,9	-44,9	-44,9
	3	156	0,4826	4818	20,6	22,1	26,5	5,9	28,5	-8,5	-24,4	22,1	-12,9	-36,9	-36,9	-36,9	-36,9
	4	106	0,5310	4379	20,6	29,5	24,1	3,5	16,8	-10,9	-31,3	29,5	-5,5	-15,7	-15,7	-15,7	-15,7
	5	262	0,3708	6270	20,6	17,1	34,5	13,9	67,2	0,6	1,6	17,2	-17,8	-50,9	-50,9	-50,9	-50,9
	6	275	0,3377	6884	20,6	17,9	37,8	17,2	83,6	2,82	8,0	18,9	-16,1	-46,0	-46,0	-46,0	-46,0
	7	281	0,2833	8207	20,6	20,9	45,1	24,5	118,9	10,1	28,8	22,5	-12,5	-35,7	-35,7	-35,7	-35,7
	8	291	0,2701	8608	20,6	21,1	47,3	26,7	129,6	12,3	35,1	23,6	-11,4	-32,6	-32,6	-32,6	-32,6
	9	331	0,272	10704	20,6	23,1	58,8	28,2	185,5	23,8	68,0	29,4	-5,6	-16,0	-16,0	-16,0	-16,0
	10	371	0,1830	12705	20,6	24,5	69,8	49,2	238,9	34,8	99,5	34,9	-0,1	-0,3	-0,3	-0,3	-0,3
	11	376	0,1707	13620	20,6	25,8	74,8	54,2	263,3	39,8	113,8	37,4	2,4	6,9	6,9	6,9	6,9
	12	401	0,1598	14549	20,6	25,9	80,0	44,9	288,1	44,9	128,4	40,0	5,0	14,3	14,3	14,3	14,3



Obr. č. 30 Diference rychlosti proudu suspenze a běhu síté  
v závislosti na výšce hladiny v nátku - serie 3

Tabulka č. 23: Podmínky v nátočku

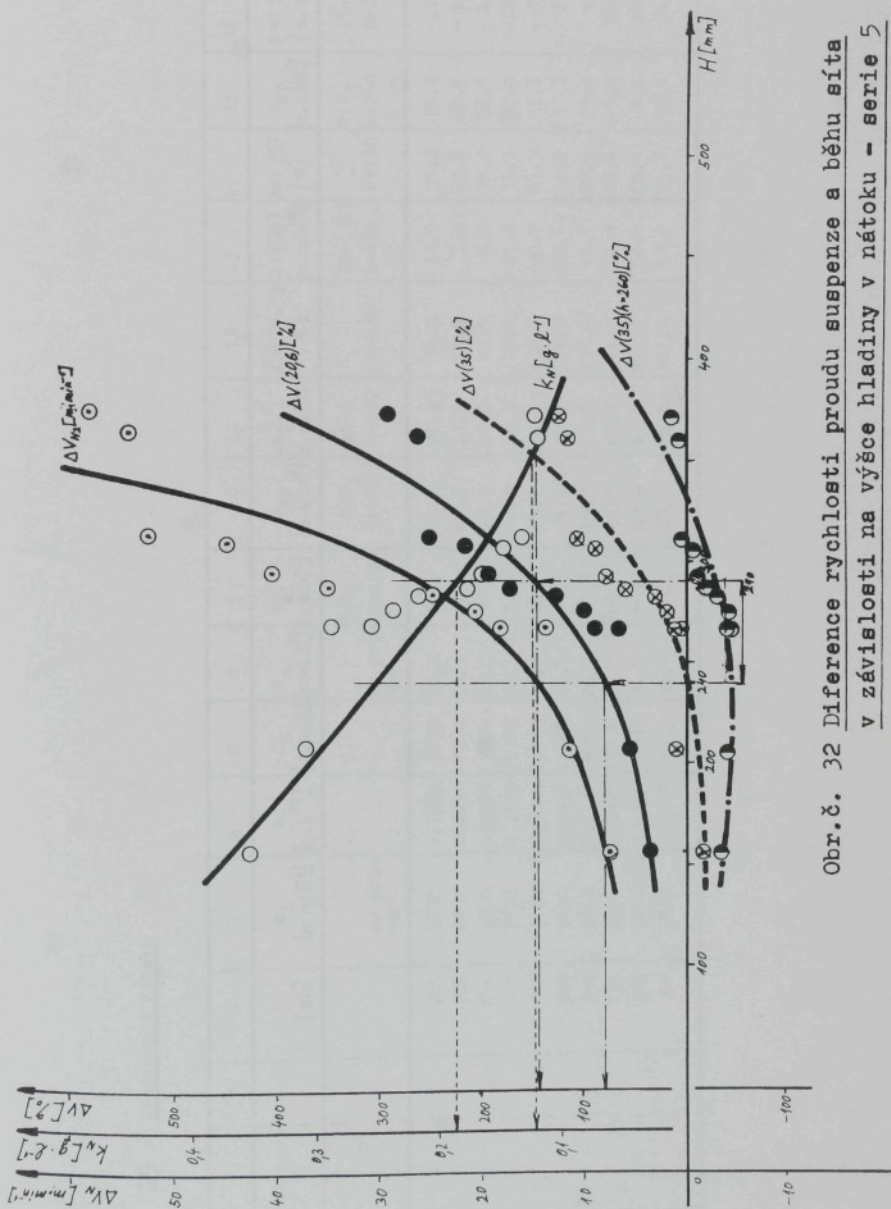
1	2	3	4	5	6	7	8	9	10	11	12	13	14	15	16	17
serie	zkouška	H	$\frac{m_1}{g \cdot \text{min}^{-1}}$	$k_N$	$Q_N$	$v_s$	$v_{N1}$	$v_{N2}$	$\Delta v(20,6)$	$\Delta v(35)$	$v_{N2}$	$\Delta v(35)$	$v_{N2}$	$\Delta v(35)$	$v_{N2}$	$\Delta v(35)$
č.		[mm]	[g · min <sup>-1</sup> ]	[g · min <sup>-1</sup> ]	[l · min <sup>-1</sup> ]	[m · min <sup>-1</sup> ]	[m · min <sup>-1</sup> ]	[m · min <sup>-1</sup> ]	[%]	[%]	[m · min <sup>-1</sup> ]	[%]	[m · min <sup>-1</sup> ]	[%]	[m · min <sup>-1</sup> ]	[%]
						sr. prům.	7 : P <sub>1</sub>	7 : P <sub>2</sub>	10-8	10-(35)	7 : P <sub>3</sub>	15-(35)	7 : P <sub>3</sub>	15-(35)	7 : P <sub>3</sub>	15-(35)
							sr. prům.	h=130	h=130	h=130	h=130	h=130	h=260	h=260	h=260	h=260
4	1	266	3063	0,3920	7819	20,6	21,0	43,0	22,4	108,5	8,0	22,7	21,5	-13,5	-38,6	-38,6
	2	240	3063	0,4920	6934	20,6	20,6	38,1	17,5	85,0	3,1	8,9	20,6	-14,4	-41,1	-41,1
	3	205	3063	0,5552	5520	20,6	19,2	30,3	9,7	47,2	-4,7	-13,3	19,2	-15,8	-45,1	-45,1
	4	106	3063	0,6064	5054	20,6	34,0	-	-	-	-	-	-	-	-	-
	5	266	3063	0,3884	7891	20,6	21,2	43,4	22,8	110,5	8,4	23,9	21,7	-12,3	-38,0	-38,0
	6	275	3063	0,3472	6828	20,6	22,9	48,5	27,9	135,4	13,5	38,6	24,3	-10,7	-30,6	-30,6
	7	290	3063	0,3244	9165	20,6	22,6	50,4	29,8	144,4	15,4	43,9	25,2	-9,8	-28,0	-28,0
	8	320	3063	0,3094	6906	20,6	22,1	54,4	33,8	164,2	19,4	55,5	27,2	-7,8	-22,3	-22,3
	9	376	3063	0,2570	11921	20,6	22,6	65,5	44,9	218,0	30,5	87,1	32,8	-2,2	-6,3	-6,3
	10	401	3063	0,2100	14992	20,6	26,0	80,2	59,6	289,2	45,2	129,0	40,1	5,1	14,6	14,6
	11	440	3063	0,1952	15702	20,6	25,4	86,3	65,7	318,8	51,3	146,5	43,1	8,1	23,1	23,1



Obr. č. 31 Diference rychlosťí proudu suspenze a běhu síta  
v závislosti na výšce hladiny v nátku - serie 4

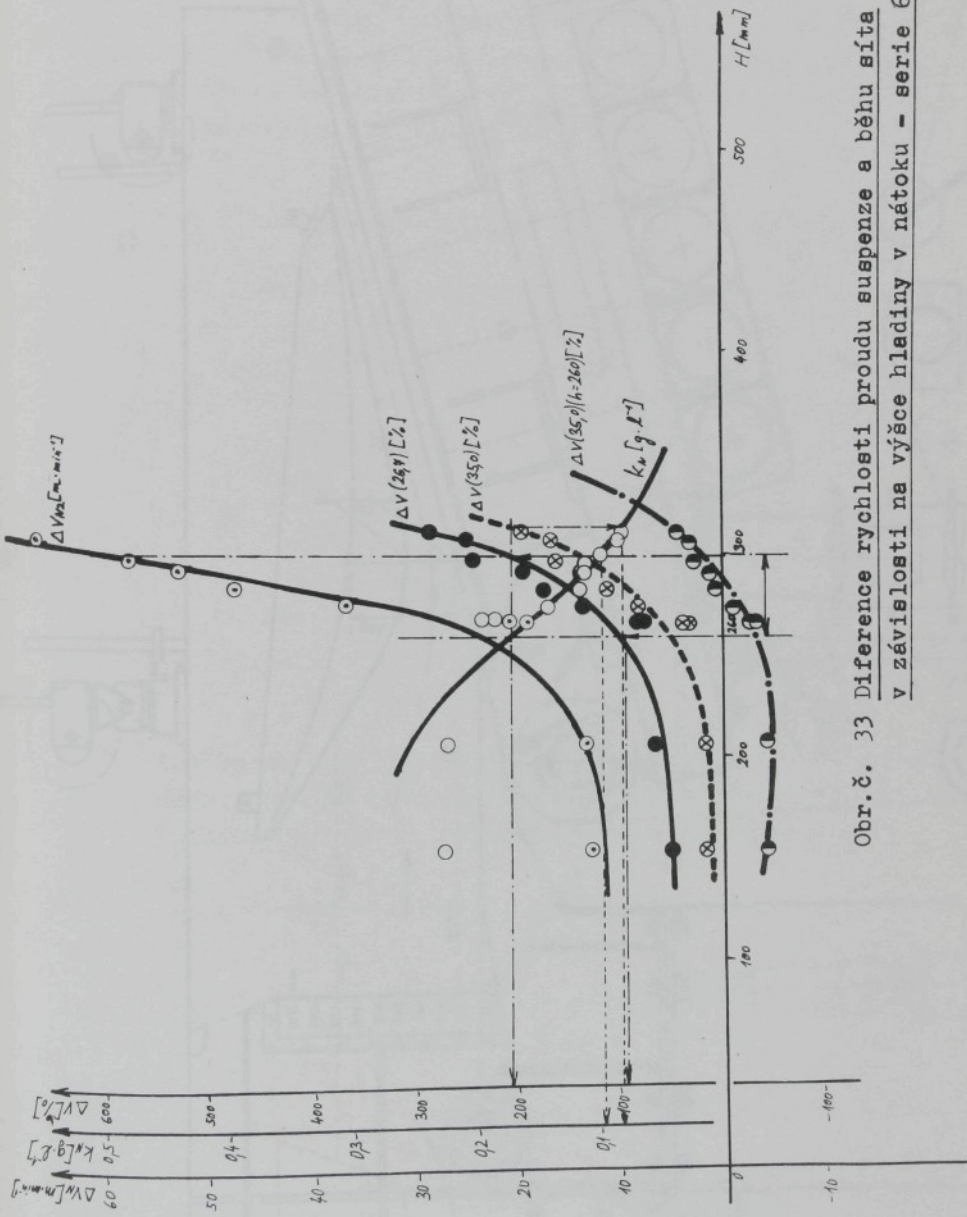
Tabulka č. 24: Podmínky v nátkoku

sérií č.	zkouška č.	H [mm]	$\frac{w_1}{g \cdot \text{min}^{-1}}$ [g · min <sup>-1</sup> ]	$k_{N1}$ [g · 1 · 1]	$Q_N$ [1 · min <sup>-1</sup> ]	$\frac{v_1}{m \cdot \text{min}^{-1}}$ [m · min <sup>-1</sup> ]	$\frac{v_{N1}}{m \cdot \text{min}^{-1}}$ [m · min <sup>-1</sup> ]	$\Delta v_{N1}$ [%]	$\frac{v_{N2}}{m \cdot \text{min}^{-1}}$ [m · min <sup>-1</sup> ]	$\Delta v_{(20,6)}$ [%]	$\frac{v_{N2}}{m \cdot \text{min}^{-1}}$ [m · min <sup>-1</sup> ]	$\Delta v_{(35)}$ [%]			
5	1	266	1812	0,2560	7078	20,6	19,0	38,9	18,3	88,7	3,9	11,1	19,4	-15,6	-44,6
	2	206	1812	0,3092	5860	20,6	20,3	32,2	11,6	56,3	-2,8	-8,0	20,3	-14,7	-42,0
	3	156	1812	0,3522	5144	20,6	23,6	28,3	7,7	37,2	-6,7	-19,2	23,6	-11,4	-32,6
	4	106	1812	-	-	20,6	-	-	-	-	-	-	-	-	-
	5	266	1812	0,2912	6222	20,6	16,7	34,2	13,6	66,0	-0,8	-2,3	17,1	-17,9	-51,1
	6	275	1812	0,2407	7528	20,6	19,6	41,4	20,8	100,8	6,4	18,2	20,7	-14,3	-40,9
	7	281	1812	0,2187	6285	20,6	21,1	45,5	24,9	121,0	10,5	30,1	22,8	-12,2	-34,9
	8	285	1812	0,1781	10174	20,6	25,5	55,9	35,3	171,4	20,9	59,7	28,0	-7,0	-20,0
	9	291	1812	0,1628	11130	20,6	27,3	61,2	40,6	196,8	26,2	74,7	39,6	-4,4	-12,6
	10	305	1812	0,1520	11221	20,6	27,9	65,5	44,9	218,0	30,5	87,1	32,8	-2,2	-6,3
	11	310	1812	0,1370	13226	20,6	30,5	72,7	52,1	252,8	37,7	107,6	26,3	1,3	3,7
	12	360	1812	0,1328	13644	20,6	27,1	75,0	54,4	263,9	40,0	114,2	37,5	2,5	7,1
	13	370	1812	0,1266	14312	20,6	27,6	78,6	58,0	281,7	43,6	124,7	39,3	4,3	12,3

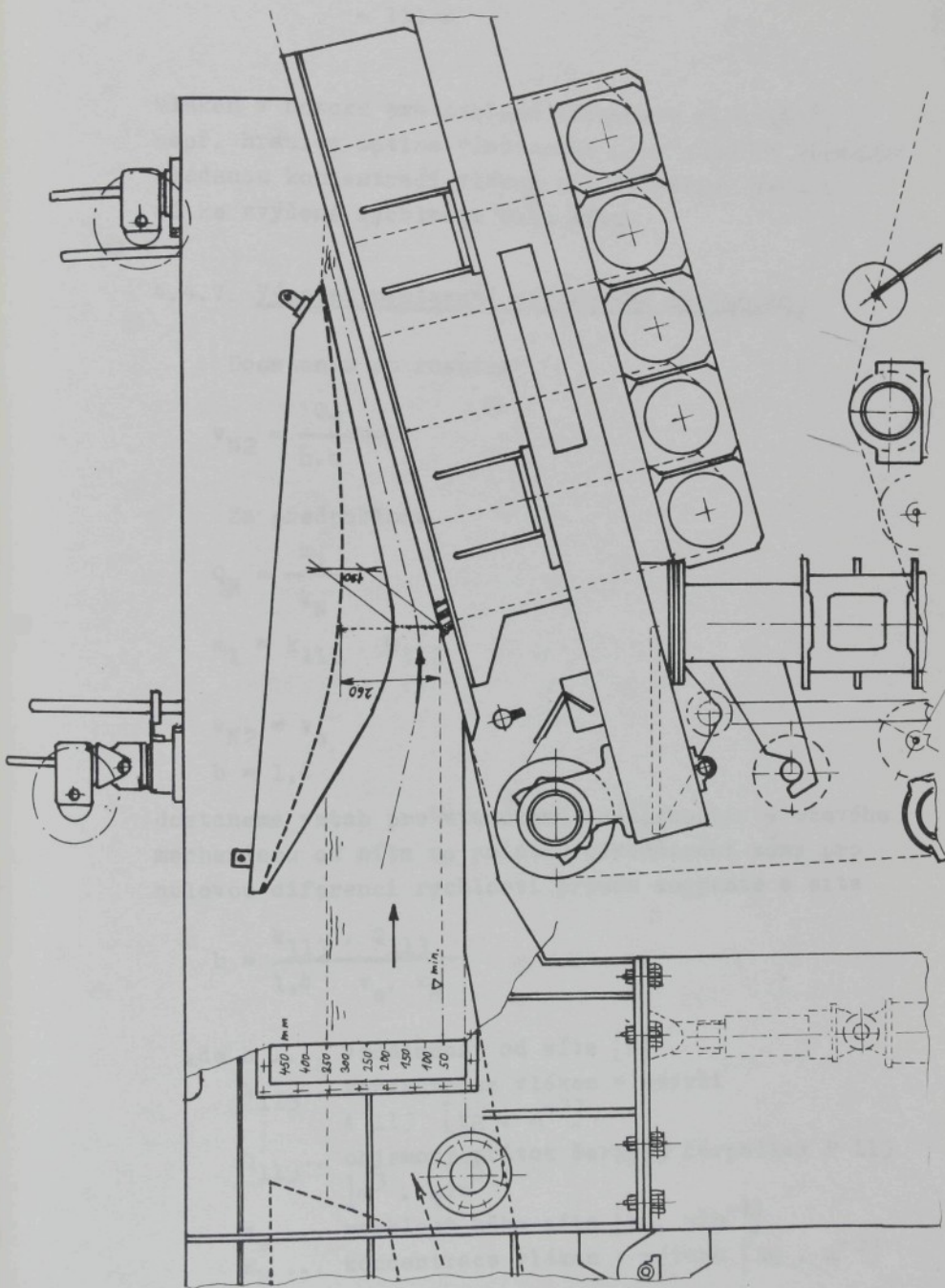


Obr. č. 32 Diference rychlosťi proudu suspenzie a běhu sítia  
v závislosti na výšce hladiny v nátkoku - serie 5

Tatářek č. 25 : Podmínky v nátku



Obr. č. 33 Diference rychlosti proudu suspenze a běhu sítě  
v závislosti na výšce hladiny v nátku - serie 6



Obr. č. 24 Navržená úprava výtokového mechanismu

vláken v nátoku pro zvolené diference rychlosti, např. hranice optima vlastností nebo odecít předpokládanou koncentraci vláken při differenci vztažené ke zvýšené rychlosti běhu síta.

#### 4.4.7. Výpočet nastavení výtokového mechanismu

Dosazením do rovnice

$$v_{N2} = \frac{Q_N}{h \cdot b}$$

Za předpokladu

$$Q_N = \frac{m_1}{k_N}$$

$$m_1 = k_{113} \cdot Q_{113}$$

$$v_{N2} = v_s$$

$$b = 1,4$$

dostaneme vztah pro stanovení vzdálenosti výtokového mechanismu od síta na počátku odvodňovací zóny pro nulovou differenci rychlosti proudu suspenze a síta

$$h = \frac{k_{113} \cdot Q_{113}}{1,4 \cdot v_s \cdot k_N}$$

kde  $h$  .... vzdálenost od síta [m]

$k_{113}$  ... koncentrace vláken v nádrži  
 $A_{113}$  [kg . m<sup>-3</sup>]

$Q_{113}$  ... objemový průtok čerpaný čerpadlem B 113  
[m<sup>3</sup> . min<sup>-1</sup>]

$v_s$  ... rychlosť běhu síta [m . min<sup>-1</sup>]

$k_N$  ... koncentrace vláken v nátoku [kg . m<sup>-3</sup>]

Úpravou obdržíme vzťah pro stanovení rychlosti běhu síta při dané vzdálenosti výtokového mechanismu od síta

$$v_s = \frac{k_{113} \cdot Q_{113}}{1,4 \cdot h \cdot k_N}$$

Možností výpočtu hodnoty nastavení výtokového mechanismu byla získána metoda pro objektivní řízení procesu tvorby rouna v nátoku papírenského stroje se šikmým sítem. Veličiny použité při výpočtu jsou snadno regulovatelné a měřitelné pomocí kontinuálních snímačů (průtok látky, koncentrace vláken, rychlosť síta).

#### 4.4.8. Využití poznatků pro řízení procesu

Papírenský stroj v IRAPA poloprovoze ve Štětí je vybaven řídícím počítačovým systémem. V prostoru lisové partie je instalován měřící přístroj LIPPKE pro snímání odchylek plošné hmotnosti. Počítač mimo dalších funkcí v závislosti na velikosti odchylky ovládá rychlosť běhu stroje. Při konstantním přítoku vlákkenné suspenze se změnou rychlosti běhu ovládá plošná hmotnost výrobku dle žádané hodnoty.

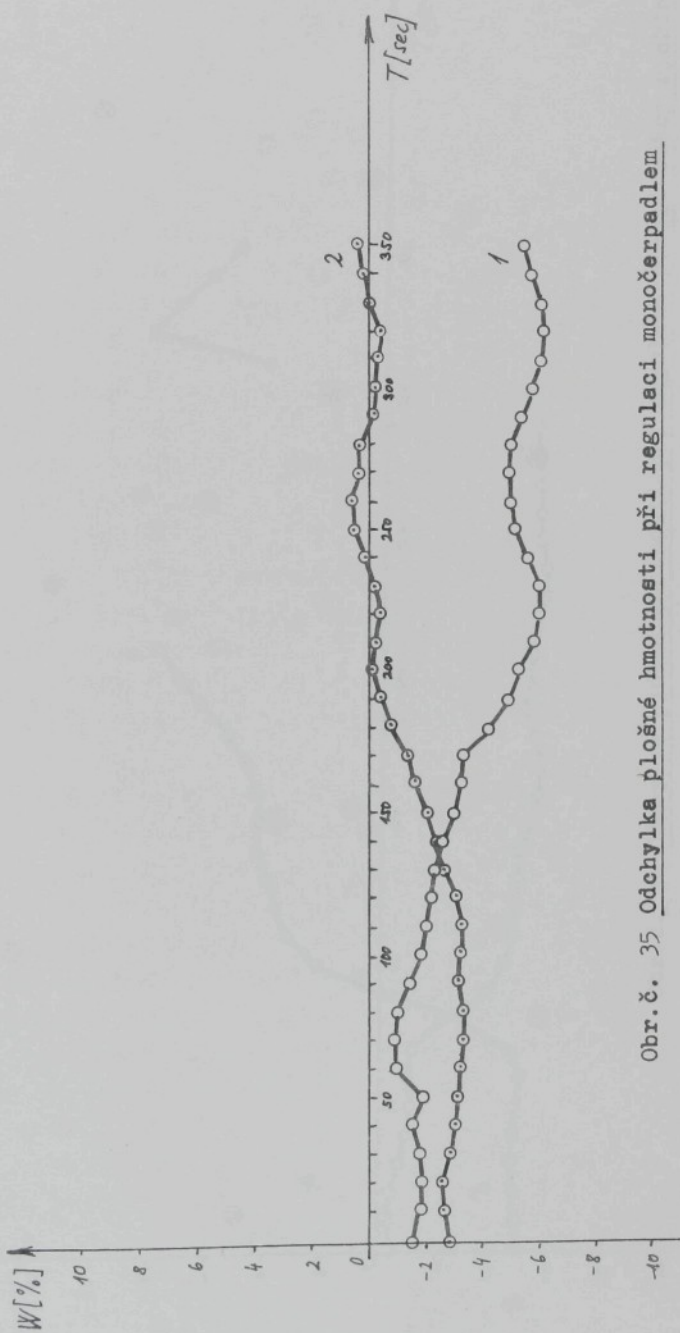
Z výsledků uvedených v předcházejících kapitolách je zřejmé, že tento systém není vhodný pro papírenský stroj se šikmým sítem, neboť proces je závislý na poměru rychlosti proudu suspenze vláken a běhu síta. Byl proto navržen systém řízení s využitím ovládání otáček látkového čerpadla P 113 počítačem v závislosti na měřené odchylce plošné hmotnosti.

Naměřené hodnoty odchylek při zkouškách řízení šikmého síta s ovládáném rychlosti a ovládáním čerpadla jsou uvedeny v tabulce č. 26 a znázorněny na obr. č. 35-36. Změny rychlosti běhu síta se projeví na snímání odchylky s časovým zpožděním odpovídajícím dráze listu papíru od nátoku ke snímači. Změna plošné hmotnosti má výrazný trend náběhu regulace, docházelo však k poruchám doprovázeným kolísáním plošné hmotnosti. Regulace plošné hmotnosti pomocí otáček monočerpadla má pozvolnější náběh. Pro řízení plošné hmotnosti byl pro šikmé síto navržen systém řízení pomocí otáček látkového monočerpadla

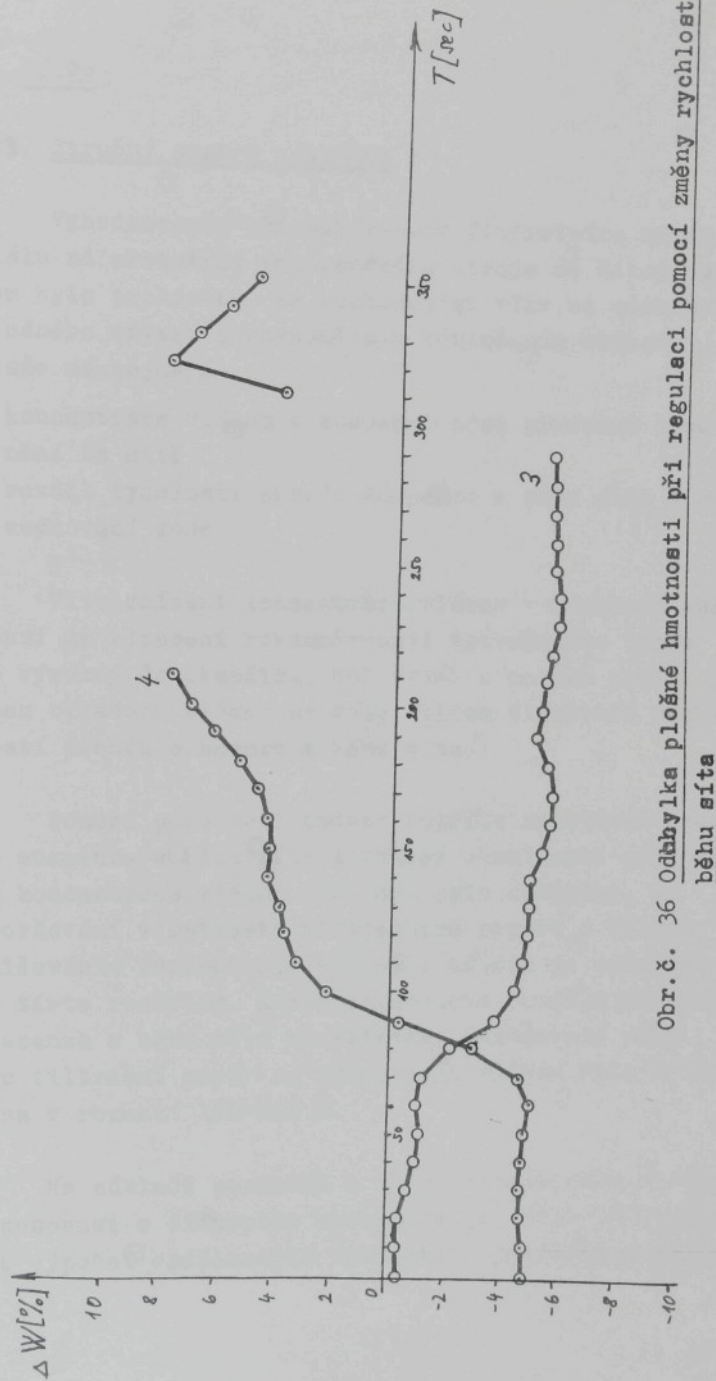
P 113.

Tabulka č. 26 : Odchylka plošné hmotnosti v závislosti na čase

T [sec]	Odchylka Δ W [%] - měřena přístrojem Lippke			
-	Změna otáček monočerpadla P <sub>113</sub> skokem v čase 0. (v <sub>s</sub> = 19,4) [m.min <sup>-1</sup> ]	Změna rychlosti běhu síta skokem v čase 0. (P <sub>113</sub> = konst.) [ot.min <sup>-1</sup> ]	3	4
-	1	2		
-	210 → 200 [ot.min <sup>-1</sup> ]	206 → 216 [ot.min <sup>-1</sup> ]	19,5 → 20,7 [m.min <sup>-1</sup> ]	20,7 → 17,5 [m.min <sup>-1</sup> ]
0	- 1,63	- 2,80	- 0,45	- 4,92
10	+ 1,95	- 2,69	- 0,47	- 4,90
20	- 1,97	- 2,60	- 0,56	- 4,78
30	- 1,80	- 2,86	- 0,78	- 4,69
40	- 1,59	- 3,10	- 0,99	- 4,77
50	- 1,96	- 3,22	- 1,12	- 4,94
60	- 0,99	- 3,30	- 1,16	- 5,10
70	- 0,88	- 3,37	- 1,73	- 4,77
80	- 1,06	- 3,31	- 2,78	- 2,98
90	- 1,46	- 3,19	- 3,81	- 0,30
100	- 1,83	- 3,27	- 4,51	2,17
110	- 2,08	- 3,26	- 4,81	3,30
120	- 2,23	- 3,09	- 4,98	3,74
130	- 2,40	- 2,72	- 5,04	3,90
140	- 2,69	- 2,48	- 5,11	4,16
150	- 2,99	- 2,12	- 5,46	4,34
160	- 3,32	- 1,68	- 5,72	4,43
170	- 3,68	- 1,21	- 2,86	4,69
180	- 4,32	- 0,80	- 5,62	5,41
190	- 4,90	- 0,50	- 5,23	6,30
200	- 5,40	- 0,20	- 5,39	7,16
210	- 5,87	- 0,28	- 5,25	7,80
220	- 6,11	- 0,45	- 2,69	DESINFORMACE
230	- 6,07	- 0,24	- 5,98	"
240	- 5,72	0,19	- 6,00	"
250	- 5,20	0,55	- 5,87	"
260	- 5,07	0,61	- 5,68	"
270	- 5,13	0,36	- 2,65	"
280	- 5,19	0,10	- 5,63	"
290	- 5,44	- 0,10	- 5,55	"
300	- 5,83	- 0,18	DESINFORMACE	DESINFORMACE
310	- 6,10	- 0,21	"	4,00
320	- 6,28	- 0,21	"	8,05
330	- 6,09	0,00	"	7,11
340	- 5,78	0,20	"	6,03
350	- 5,52	0,29	"	5,02



Obr. č. 35 Odchylka plošné hmotnosti při regulaci monočerpadlem



Obr. č. 36 Odkázkové plošné hmotnosti při regulaci pomocí změny rychlosti  
běhu sítě

## 5. ZÁVĚR

### 5.1. Stručný souhrn výsledků

Vyhodnocením zkoušek výroby filtračního materiálu na prototypu papírenského stroje se šikmým systém bylo prokázáno, že rozhodující vliv na získání plošného útvaru s rovnoměrným rozložením vláken v ploše má zejména

- koncentrace vláken v suspenzi před procesem odvodnění na síť
- rozdíl rychlostí proudu suspenze a běhu síta v odvodňovací zóně

Vliv snížení koncentrace vláken v nátokové suspenzi na zlepšení rovnoměrnosti vytvořeného listu je výrazný do okamžiku, kdy dojde k poruše procesu ukládání vláken na síť vlivem diference rychlostí proudu suspenze a běhu síta.

Pomocí porovnání hodnot rozdílu rychlostí proudu suspenze a běhu síta s trendy vlastností při změně koncentrace vláken v nátoku bylo dokázáno, že zhoršování vlastností filtračního papíru s dalším snižováním koncentrace vláken v nátoku je způsobeno tímto rozdílem. Kritická hodnota rozdílu proudu suspenze a běhu síta na počátku odvodňovací zóny pro filtrační papír ze sisalových vláken byla zjištěna v rozmezí 150-220 %.

Na základě poznatků o vlivu koncentrace vláken v suspenzi a diference rychlostí byl odvozen vztah pro výpočet vzdálenosti výtokového mechanismu od sí-

ta na počátku odvodňovací zóny. Tím byla získána metoda jak ovlivňovat proces tvorby rouna v nátku papírenského stroje se šikmým sítěm.

Pro použití dlouhých textilních vláken při výrobě netkaných textilií naplavováním je zvláště důležitá možnost ovlivňování tvorby listu, neboť chování dlouhých vláken při ukládání na sítě je citlivější na poruchy dynamiky v porovnání s buničinovými vláknami. Z tohoto hlediska byl učiněn výrazný krok při přípravě realizace výroby netkaných textilií papírenskou technologií.

Dále byla odzkoušena metoda řízení plošné hmotnosti počítačem pomocí ovládání otáček monocherpadla. Podklady pro realizaci systému byly získány využitím výsledků této práce.

## 5.2. Přínosy pro praxi

Od 1.1.1988 byl prototyp papírenského stroje se šikmým sítěm uveden do trvalého provozu. Výroba filtračních papírů pro filtraci vzduchu, paliv a oleje v motorových jednotkách byla převedena na tento stroj z papírenského stroje s podélným sítěm. Převedení výroby bylo umožněno zvýšením provozní spolehlivosti stroje s objasněním vlivu hlavních provozně-technických parametrů na proces tvorby listu na papírenském stroji se šikmým sítěm. Byla zvýšena rychlosť běhu síta z  $\text{max. } 25 \text{ m} \cdot \text{min}^{-1}$  na  $38 \text{ m} \cdot \text{min}^{-1}$ , což zároveň přineslo zvýšení objemu výroby. Dále byla projednána s dodavatelem strojního zařízení n.p. PAPCEL Litovel dodávka upravené-

ného výtokového mechanismu, dle návrhu z výsledků této práce. Poznatky využije n.p. PAPCEL při konstrukci dalších zařízení tohoto typu.

Uvedení tvářecí jednotky se šikmým sítěm do trvalého provozu bylo umožněno dále připojením na systém řízení stroje počítačem. Podklady pro řízení plošné hmotnosti byly získány v rámci této práce.

Převedení výroby filtračních papírů přineslo zlepšení kvality. Filtrační materiály vyroběné na papírenském stroji se šikmým sítěm se vyznačují zvýšením pevnosti, snížením velikosti maximálních a středních pórů a zrovnoměrněním rozložení vláken v ploše.

### 5.3. Směry dalšího studia v problematice

Předkládaná práce přispěla k objasnění provozních potíží při výrobě filtračních materiálů na papírenském stroji se šikmým sítěm. Navrženým způsobem je možné vypočítat nastavení průtočného profilu pro dosažení rovnoměrného ukládání vláken při minimálním rozdílu rychlostí proudu suspenze a běhu síta na počátku odvodňovací zóny.

V další fázi prací bude studována možnost regulačce odvodňovacího profilu v jednotlivých odvodňovacích skříních a její vliv na rovnoměrnost ukládání vláken.

V závěru roku 1988 bude uveden do provozu rekonstruovaný papírenský stroj se šíkmým sítím pro výrobu filtračních papírů v SEPAP n.p., závod O2 Bělá pod Bezdězem. S cílem dalšího zlepšení vlastností filtračních materiálů bude stroj vybaven nátokem umožňujícím výrobu dvouvrstvých filtračních papírů. V návaznosti na výsledky této práce bude navržena technologie výroby dvouvrstvých materiálů z hlediska dosažení nárůstu dalších kvalitativních parametrů filtračních materiálů.

SEZNAM POUŽITÝCH SYMBOLŮ

$\alpha$	sklon síta
A	čelní plocha filtru
b	šířka nátoku
$b_p$	šířka zkušebního proužku
$c_p$	koncentrace zkušebního aerosolu před filtrem
$c_z$	koncentrace zkušebního aerosolu za filtrem
$c_w$	minimální koncentrace vláken
CRC	regulátor konsistence
CIR	indikace konsistence
$d_{50}$	střední průměr pórů
$d_{max}$	maximální průměr pórů
$\eta$	viskozita media
E	účinnost filtrace
F	zatížení
$\gamma$	úhel smáčení
g	tíhové zrychlení
h	vzdálenost výtokového mechanismu od síta na počátku odvodňovací zóny
H	výška hladiny v nátoku
HIC	ručně ovládané regulační prvky s indikací
$k_N$	koncentrace vláken v nátoku
$k_{113}$	koncentrace vláken v nádrži A 113
K	materiálová konstanta, permeabilita filtru
KP	koeficient průniku
$l_t$	tržná délka
$l_{tp}$	tržná délka podél
$l_{tn}$	tržná délka napříč
L	délka vlákna
L/D	štíhlostní poměr vlákna
LIA	ukazatel výšky hladiny se signálem
LIRC	regulátor výšky hladiny
$m_1$	látkové množství vstupující do nátoku
$m_2$	látkové množství opouštějící stroj

M	výkon zařízení na tvorbu rouna
M <sub>lm</sub>	výkon zařízení na 1 metr pracovní šíře
M <sub>l</sub>	látkové složení
n	počet částic prošlymi filtry
n <sub>o</sub>	počet vstupujících částic
n <sub>z</sub>	počet zachycených částic
p	tlakový spád
p <sub>1</sub>	průměr naměřených hodnot tlaku
p <sub>2</sub>	hydrostatický tlak smáčecí kapaliny
Δ P <sub>50</sub>	tlak, při kterém je propustnost vzduchu 50 %
Δ P <sub>max</sub>	tlak, odpovídající maximálním pórům
P <sub>1</sub>	průřez v místě s volnou hladinou
P <sub>2</sub>	průřez na začátku tvářecí zóny při h=130 mm
P <sub>3</sub>	průřez na začátku tvářecí zóny při h=260 mm
P <sub>r</sub>	průnik filtru
Q	objemový průtok media
Q <sub>lm</sub>	průtok suspenze vláken na 1 m pracovní šíře
Q <sub>N</sub>	průtok suspenze vláken v nátoku
Q <sub>113</sub>	průtok za čerpadlem P 113
Q <sub>1-Q<sub>5</sub></sub>	průtok odvodňovacími skříněmi
Q	objemová hmotnost
r	otáčky čerpadla
r <sub>113</sub>	otáčky čerpadla P 113
G	povrchové napětí smáčecí kapaliny
S	délka odvodňovací zóny
SM	stupeň mletí
t	tloušťka materiálu
T	čas
T <sub>t</sub>	jemnost vláken v jednotkách tex
T <sub>d</sub>	jemnost vláken v jednotkách den
TR	čas rozvláknění
TM	čas mletí
v	čelní rychlosť filtrovaného media
v <sub>N1</sub>	rychlosť proudu suspenze v nátoku

$v_{N2}$	rychlosť proudu suspenze na počátku odvodňovací zóny
$v_s$	rychlosť síta
$\Delta v$	rozdíl rychlosťí proudu suspenze a síta
$v_1 - v_5$	rychlosť proudu v odvodňovacích skříních
$V$	propustnosť vzduchu
$W$	plošná hmotnosť
$\Delta v (20,6)$	rozdíl rychlosťí proudu suspenze a síta při rychlosťi $20,6 \text{ m} \cdot \text{min}^{-1}$
$\Delta v (35)$	rozdíl rychlosťí proudu suspenze a síta při rychlosťi $35 \text{ m} \cdot \text{min}^{-1}$

SEZNAM OBRÁZKŮ

- Obrázek č.1 - Schema zařízení pro řezání kabelu systém Eastmen-Kodak
- Obrázek č.2 - Řez monočerpadlem firmy NETZSCH
- Obrázek č.3 - Shcema zařízení pro zpracování dlouhých vláken dle patentu z roku 1846
- Obrázek č.4 - Rotoformer firmy SANDY HILL
- Obrázek č.5 - Hydroformer firmy VOITH
- Obrázek č.6 - Deltaformer firmy SANDY HILL
- Obrázek č.7 - Schéma dvojvrstvého nátoku
- Obrázek č.8 - Systém oběhu vody s otevřenou nádrží
- Obrázek č.9 - Systém oběhu vody s uzavřenou nádrží
- Obrázek č.10 - Závislost  $\frac{l_{tp}}{l_{tn}}$  na diferenci rychlosti proudu suspenze a síta za různých podmínek
- Obrázek č.11 - Systém nanášení pojiv
- Obrázek č.12 - Produkční kapacity papírenských strojů se šikmým sítěm instalovaných firmou VOITH
- Obrázek č.13 - Stanovení středního průměru pórů
- Obrázek č.14 - Sítová část s nátokem
- Obrázek č.15 - Nátok šikmého síta a poloha výtokového mechanismu
- Obrázek č.16 - Schema přípravny pro šikmé síto
- Obrázek č.17 - Schema uspořádání podélné a šikmé síto
- Obrázek č.18 - Pracovní charakteristika monočerpadla NETZSCH NE 80 B
- Obrázek č.19 - Bilanční schema vodního okruhu šikmého síta (příklad)
- Obrázek č.20 - Schema provozně-technických parametrů v nátoku
- Obrázek č.21 - Trendy rozvoje filtračních vlastností buničiny Bahiacel v závislosti na době mletí

- Obrázek č.22 - Trendy změn filtračních parametrů v závislosti na výšce hladiny v nátku - serie 1
- Obrázek č.23 - Trendy změn filtračních parametrů v závislosti na výšce hladiny v nátku - serie 2
- Obrázek č.24 - Trendy změn filtračních parametrů v závislosti na výšce hladiny v nátku - serie 3
- Obrázek č.25 - Trendy změn filtračních parametrů v závislosti na výšce hladiny v nátku - serie 4
- Obrázek č.26 - Trendy změn filtračních parametrů v závislosti na výšce hladiny v nátku - serie 5
- Obrázek č.27 - Trendy změn filtračních parametrů v závislosti na výšce hladiny v nátku - serie 6
- Obrázek č.28 - Diference rychlostí proudu suspenze a běhu síta v závislosti na výšce hladiny v nátku - serie 1
- Obrázek č.29 - Diference rychlostí proudu suspenze a běhu síta v závislosti na výšce hladiny v nátku - serie 2
- Obrázek č.30 - Diference rychlosti proudu suspenze a běhu síta v závislosti na výšce hladiny v nátku - serie 3
- Obrázek č.31 - Diference rychlostí proudu suspenze a běhu síta v závislosti na výšce hladiny v nátku - serie 4
- Obrázek č.32 - Diference rychlosti proudu suspenze a běhu síta v závislosti na výšce hladiny v nátku - serie 5

- Obrázek č. 33 - Diference rychlosti proudu suspenze a běhu síta v závislosti na výšce hladiny v nátoku - serie 6
- Obrázek č. 34 - Navržená úprava výtokového mechanismu
- Obrázek č. 35 - Odchylka plošné hmotnosti při regula- ci monočerpadlem
- Obrázek č. 36 - Odchylka plošné hmotnosti při regulaci pomocí změny rychlosti běhu síta
- Obrázky č. 37-52 - Příloha. Analýza délek vláken bu- ničiny BAHIACEL změřené přístrojem KAJAANI FS-100

SEZNAM TABULEK

- Tabulka č.1 - Přehled vláken vyráběných pro papírenské zpracování  
Tabulka č.2 - Parametry výrobnosti zařízení  
Tabulka č.3 - Pracovní šíře a produkty strojů VOITH  
Tabulka č.4 - Laboratorní vyhodnocení vlastností celulózy Bahiacel z hlediska filtračních parametrů  
Tabulka č.5 - Porovnání hodnot filtračních parametrů - laboratoř, podélné síto, šikmé síto  
Tabulka č.6 - Průměrné délky vláken Bahiacel  
Tabulka č.7 - Plánované hodnoty  $W$  a  $v_s$   
Tabulka č.8 - Látková bilance - serie 1  
Tabulka č.9 - Látková bilance - serie 2  
Tabulka č.10 - Látková bilance - serie 3  
Tabulka č.11 - Látková bilance - serie 4  
Tabulka č.12 - Látková bilance - serie 5  
Tabulka č.13 - Látková bilance - serie 6  
Tabulka č.14 - Hodnoty filtračních parametrů - serie 1  
Tabulka č.15 - Hodnoty filtračních parametrů - serie 2  
Tabulka č.16 - Hodnoty filtračních parametrů - serie 3  
Tabulka č.17 - Hodnoty filtračních parametrů - serie 4  
Tabulka č.18 - Hodnoty filtračních parametrů - serie 5  
Tabulka č.19 - Hodnoty filtračních parametrů - serie 6  
Tabulka č.20 - Podmínky v nátoku - serie 1  
Tabulka č.21 - Podmínky v nátoku - serie 2  
Tabulka č.22 - Podmínky v nátoku - serie 3  
Tabulka č.23 - Podmínky v nátoku - serie 4  
Tabulka č.24 - Podmínky v nátoku - serie 5  
Tabulka č.25 - Podmínky v nátoku - serie 6  
Tabulka č.26 - Odchylka plošné hmotnosti v závislosti na čase

LITERATURA

1. HOLLIDAY T.: Wet Lay Nonwovens: What Are They?  
Nonwovens Industry, 18, 1987, č. 10,  
s. 10
2. CASEY J.P.: Pulp and Paper Chemistry and Chemical  
Technology, Vol. II, New York, 1980,  
s. 1129
3. SCHMIDT S.: Über die Herstellung von Vliesen  
auf nassem Wege. Wochenblatt für  
Papierfabrikation, 1969, č. 23/24,  
s. 1015
4. ANON.: Schuller erstellt breiteste Voith -  
- Hydroformer. AVR, 6, 1977, č. 4,  
s. 96
5. ANON.: The 1987 International Buyers' Guide  
of the Nonwovens Industry, Section  
III: Roll Goods. Nonwovens Industry,  
18, 1987, č. 7, s. 120
6. DÜRRIES,Düren: Auf 35 Voith - Hydroformern werden  
heute Nassvliese hergestellt - den  
36. Hydroformer liefert Dürries, 1982
7. C.H.DEXTER, Windsor Locks: Dexter Annual Report,  
1977
8. VOITH GmbH, Heidenheim: Hydroformer - Ausführungen,  
1979
9. NEUE BRUDERHAUS GmbH, Reutlingen: Papiermaschinen -  
- bis 1950 geliefert 117 Stück, 1985
10. FRESER A.F.: Applications of Nonwoven Materials  
in the Aerospace Industry. Nonwovens  
Industry, 13, 1982, č. 12, s. 20

11. PFEFFERLE J. a kol.: Papíry s přídavkem necelulózových vláken. [Výzkumná zpráva]. IRAPA Štětí, 1985
12. SCHOLZ B., LASSCHUIT I.: Process Considerations of the Hydroformer Wet End System. In: TAPPI 1981 Nonwoven Fibers & Binders Seminar. Myrtle Beach, 1981
13. LÍBAL J. - PFEFFERLE J.: Dimensionless Quality Criterion for Filter Papers. In: 4 th World Filtration Congress. Ostende, 1986, part. III., s. 7.1
14. ALBRECHT W.: Vliesstoffe - ihre Möglichkeiten und Grenzen. Chemiefasern / Textil - Industrie, 24, 1974, č. 8, s. 643
15. STARR J.R.: Nonwoven Textiles Progress Report. American Dyestuff Reporter, 1979, č. 3, s. 45
16. LASSCHUIT I.: Über die Bedeutung des Nassvliesverfahrens. AVR, 6, 1977, č. 12, s. 12
17. SALAMON M. - HAGEBAUM H.J. - WANDEL M.: Synthesefasern für Herstellung von Vliesstoffen auf nem Wege. Chemiefasern / Textil - Industrie, 24, 1974, č. 8, s. 639
18. ANON.: Craneglas Nonwovens Substitutes for Asbestos, Nonwovens Industry, 14, 1983, č. 3, s. 6

19. SCHEFFEL N.B.: Glass, Ceramic and Quartz Fibers for the Paper Industry. TAPPI, 58, 1975, č. 5, s. 56
20. SCHÜFFMANN E.A.: Das Schrägsieb - eine Spezialmaschine wird universell einsetzbar. In.: Frühjahrs - Fachtagung, Graz, 1980
21. SCHMIDT S.: Wie entwickelte sich die Vliesstoffherstellung auf nassen Wege im Verlauf des vergangenen Jahres? Wochenblatt für Papierfabrikation, 98, 1970, č. 23/24, s. 1045
22. GÖTTSCHE L. - BAUMGARTEN H.L. - PÁV J.: Untersuchungen an einer neuen Schrägsieb - Versuchsanlage zur Herstellung von Nassvliesstoffen. Wochenblatt für Papierfabrikation, 100, 1972, č. 11/12, s. 403
23. GÖTTSCHE L. - BAUMGARTEN H.L. - PÁV J.: Inbetriebnahme einer Nassvlies - Versuchsanlage. In.: Man-made Polymers in Papermaking. Helsinki, 1972
24. LUNENSCHLOSS J. - ALBRECHT W.: Vliesstoffe. Georg Thieme Verlag, Stuttgart, 1982, 398 s.
25. JÖRDER H.: Textilien auf Vliesbasis (Nonwovens) Kepler Verlag KG, Heusenstamm, 1977, 200 s.
26. KRČMA R.: Technologie II, část I. Netkané textilie. VŠST Liberec, 1980, 135 s.
27. KINN L.L. - MATE Z.: Fiber Length - Fiber Surface Area Relationships In Wet Laid Polyester Nonwovens. Nonwovens Industry, 17, 1986, č. 10, s. 88

28. CARLSON L.: Medical/Hospital Nonwovens a Recuperating Market. Nonwovens Industry, 18, 1987, č. 10, s. 26
29. CHAMPAULT G.: From Reluctance to Trust. One Hospital's 12 Year (1975-87) Experience With Nonwovens in the Operating Theater. Nonwovens Industry, 18, 1987, č. 10, s. 40
30. PIETTE J.: Ekonomická situace a perspektivy týkající se netkaných materiálů v USA. Institut zahraničního obchodu v Paříži. (1972)
31. PFEFFERLE J.: Příprava a zpracování suspenzí extrémně dlouhých vláken. In.: Inovace ve výrobě technických papírů, Roudnice n.L., 1986, s. 102
32. LÍBAL J. - SLÍPKA K.: Vývoj filtračních papírů v IRAPĚ Štětí, In.: Inovace ve výrobě technických papírů. Roudnice n. L., 1986, s. 84
33. RODMAN C.A. - HOMONOFF E.C.: Nonwovens in filtration and separation, Nonwovens Industry, 16, 1985, č. 10, s. 16
34. RODMAN C.A. - HOMONOFF E.C.: A Novel Approach to Automotive Filtration. In.: Paper Synthetics Conference, Chicago, 1981, s. 97
35. DU PONT, Wilmington: Du Pont introduces DACRON 257 for superior wetformed nonwovens. Nonwovens Industry, 15, 1984, č. 5, s. 9

36. ALBRECHT W.: Objemné textilie vyrobené mokrým způsobem. In.: XI. mezinárodní kolokvium o netkaných textiliích, BRNO, 1972
37. PAT. NSR 1 060 245
38. PAT. Švýcarsko 356 662
39. KOLLÁR I. - JANČAŘÍK V. - KACAFÍREK S. - PFEFFERLE J.: Možnost uplatnění vláken z HEC při výrobě netkaných textilií a pro speciální použití. Chemická vlákna, 26, č. 1/2, 1976
40. LEINEWEBER: Health Aspects of Fibrous Glass. In.: Paper syntetics Conference, Chicago, 1981
41. KRČMA R.: Netkané textilie I. VŠST Liberec, 1971
42. LÍBAL J.: Studium intrakcí ve vodné suspenzi vláken s přídavnými látkami. [Kandidátská disertační práce], VŠCHT Pardubice, 1984
43. ANON.: A Guide to Fibers for Nonwovens. Nonwovens Industry, 18, 1987 č. 6, s. 26 - 45
44. VULCASCOT, Wien: Manville Tempstran Fibers for the Paper Industry. 1986
45. PEREPELKIN K.E. - DERGAČEV V.S. - SMIRNOV V.S. - BERMAN J.M.: Physikalisch - maschaničche Eigenschaften der Polyvinyl - alkoholfasern VINOL und deren Veränderung. In.: Man - made Polymers in Papermaking. Helsinki, 1972

46. KURARAY Co. Osaka: Kuralon - PVA vlákna pro papír a netkané textilie. [1975]
47. ČS. AO 211 970: PFEFFERLE J. - KACAFÍREK S. - KOVÁŘOVÁ A.: Anorganický vláknitý materiál pro izolace za extrémně vysokých nebo nízkých teplot. 1983
48. LÍBAL J. - PFEFFERLE J.: Bezrozměrný koeficient kvality filtračních papírů. Papír a celulóza, 41, 1986, č. 9, s. 169
49. KRČMA R.: Teorie netkaných textilií. VŠST Liberec, 1977
50. PAT. USA 3 035 965
51. WAHREN D.: Flocculation phenomena in wet processing. In.: Man - made Polymers in Papermaking. Helsinki, 1972
52. BAUERFEIND H.: Použití čerpadel Mohno v papírenském průmyslu. Papír a celulóza, 42, 1987, č. 9, s. 225
53. NETZSCH GmbH, Waldkirburg: Mohnopompen in der Papier und Zellstoffindustrie, 1986
54. VUILLAUME A.: Technika Perfojet pro hydraulickou perforaci netkaných textilií vyrobených mokrým a suchým způsobem. In.: XIX. kolokvium o netkaných textiliích, BRNO, 1985
55. C.H. DEXTER, Windsor Locks: C.H. Dexter "Hydraspun" Blending Wet Forming and Water Jet Technology. Nonwovens Industry, 18, 1987, č. 3, s. 66

56. BIRD MICREX DIVISION, South Walpole: Soft Wear.  
Get desired softnes with our  
Micrex/Microcreper. Nonwovens  
Industry, 18, 1987, č. 3, s. 77
57. CLUPAK INC. New York: Clupak's nonwovens ... they  
wont stand up to yours. Non-  
wovens Industry, 18, 1987,  
č. 3, s. 79
58. SCHOLZ B.: Mokrý způsob výroby netkaných  
textilií a jeho možnosti využití  
In.: XI. mezinárodní kolokvium  
o netkaných textiliích, BRNO,  
1972
59. LÍBAL J. - SLÍPKA K.: Vývoj filtračních papírů v  
IRAPĚ Štětí. In.: Inovace ve vý-  
robě technických papírů, Roud-  
nice n.L., 1986
60. ČSN 50 0310 (1982)
61. ČSN 50 0311 (1983)
62. ČSN 50 0340 (1982)
63. SOUČEK M.: Zkoušení papíru. SNTL, PRAHA, 1977  
338 s.
64. ON 50 0403 (1976)
65. ON 50 0401 (1976)
66. ON 50 0402 (1976)
67. SUCHITRA Z.: Posuzování filtračních papírů.  
In.: Filtrace, Jihlava, 1981
68. ON 12 50 14 (1977)
69. NĚMEC Z. - NASADIL R. - ZIMMERMANN M. - PFEFFERLE J.: Nová linka se šikmým sítěm na vý-  
robu speciálních technických a  
filtračních papírů v poloprovozu

IRAPA Štětí. Papír a celulóza,  
41, 1986, č. 9, s. 184

70. LÍBAL J. - PFEFFERLE J. - ČECHO I.: Materiály pro fil-  
traci vzduchu, olejů a paliv v  
motorových jednotkách. In.:  
MOTORSYMPO, Vysoké Tatry, 1986
71. KAJAANI ELECTRONICS LTD, Kajaani: KAJAANI FS-100 op-  
tical fibre length analyzer, 1986

PŘÍLOHA

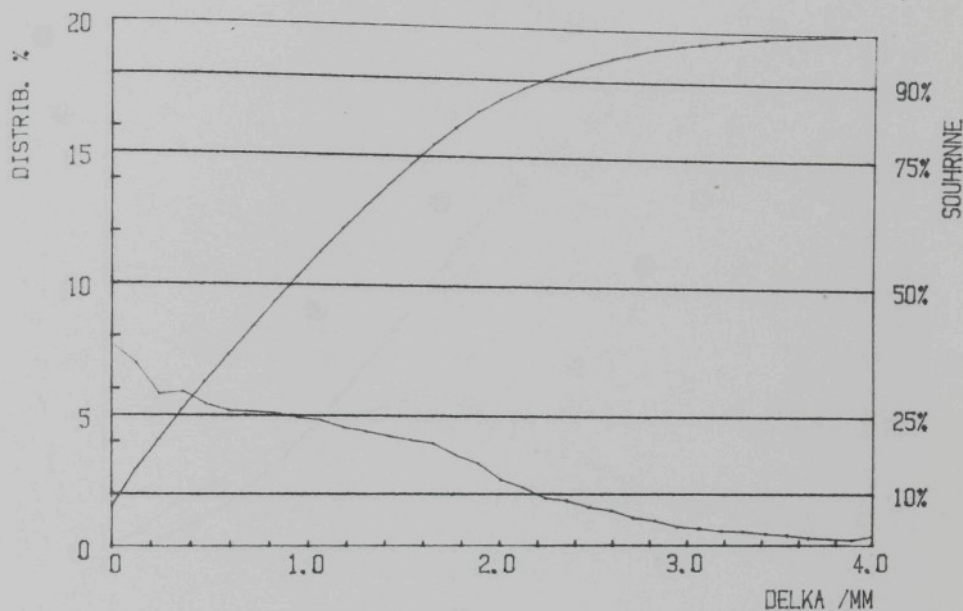
1. Obr. č. 37-52 Analýza délek vláken buničiny  
BAHIACEL změřené přístrojem  
FS-100 KAJAANI

2. Vzorky filtračních papírů vyrobených ve zkušebních  
seriích 1.-6.

VZOREK VZOREK 1

MERENO 28.3.1988

ARITMETICKE ROZDELENI



\*\*CHARAKTERISTIKY\*\*  
CELKEM VLAKEN 5396

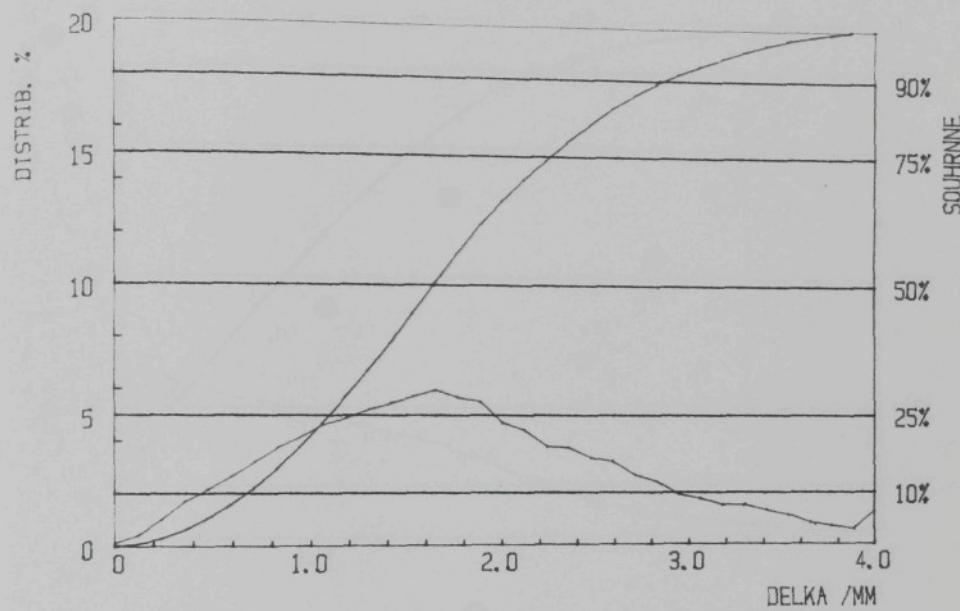
CHARAKT.	VAZENA	ARITMETICKA
10%	0.67	0.04
25%	1.10	0.33
50%	1.64	0.90
75%	2.26	1.58
90%	2.87	2.22
PRM	1.71 2.10	1.12 / 0.003
%	21.13	53.99 < 1.000

ANALYZED BY KAJAANI FS-100

VZOREK VZOREK 1

MERENO 28.3.1988

DELKOVE VAZENE ROZDELENI



\*\*CHARAKTERISTIKY\*\*

CELKEM VLAKEN 5396

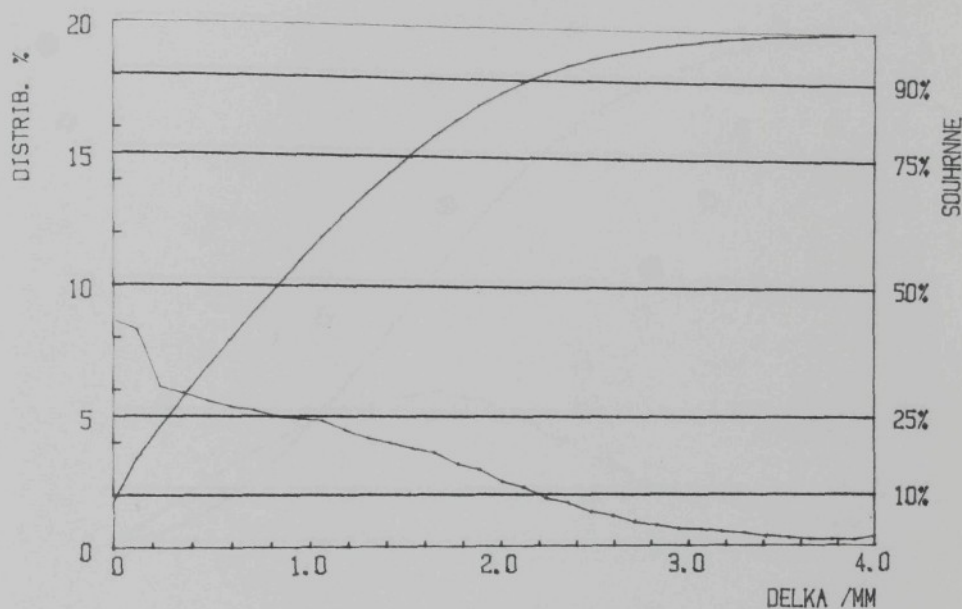
CHARAKT.	VAZENA	ARITMETICKA
10%	0.67	0.04
25%	1.10	0.33
50%	1.64	0.90
75%	2.26	1.58
90%	2.87	2.22
PRM	1.71 2.10	1.12 / 0.003
%	21.13	53.99 < 1.000

ANALYZED BY KAJAANI FS-100

VZOREK VZOREK 2

MERENO 28.3.1988

ARITMETICKE ROZDELENI



\*\*CHARAKTERISTIKY\*\*

CELKEM VLAKEN 5757

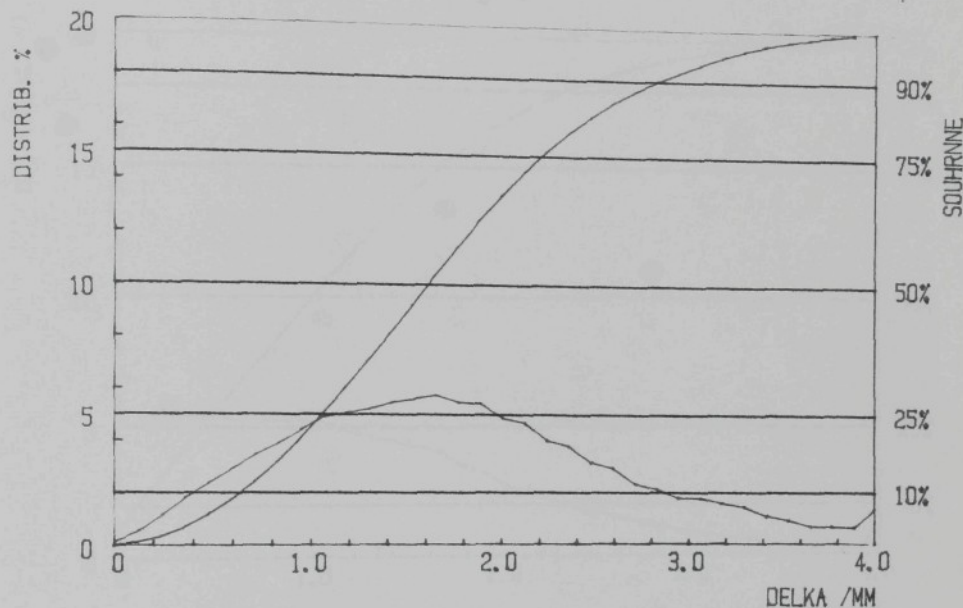
CHARAKT.	VAZENA	ARITMETICKA
10%	0.64	0.02
25%	1.06	0.28
50%	1.61	0.83
75%	2.21	1.52
90%	2.82	2.14
PRM	1.67	1.08 / 0.003
%	22.60	56.87 < 1.000

ANALYZED BY KAJAANI FS-100

VZOREK VZOREK 2

MERENO 28.3.1988

DELKOVE VAZENE ROZDELENI



\*\*CHARAKTERISTIKY\*\*

CELKEM VLAKEN 5757

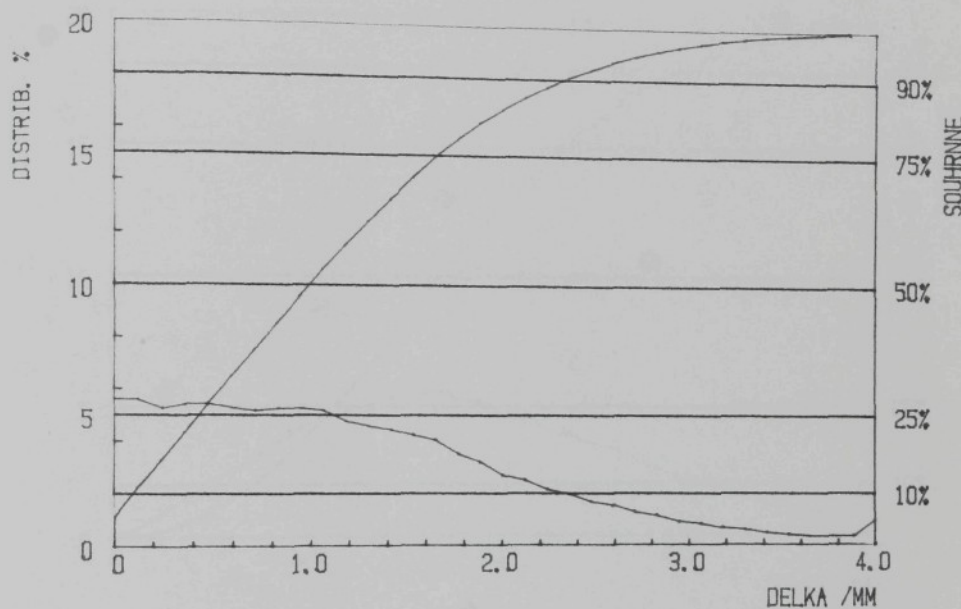
CHARAKT.	VAZENA	ARITMETICKA
10%	0.64	0.02
25%	1.06	0.28
50%	1.61	0.83
75%	2.21	1.52
90%	2.82	2.14
PRM	1.67	1.08 / 0.003
%	22.60	56.87 < 1.000

ANALYZED BY KAJAANI FS-100

VZOREK VZOREK 3

MERENO 28.3.1988

ARITMETICKE ROZDELENI



\*\*CHARAKTERISTIKY\*\*

CELKEM VLAKEN 5924

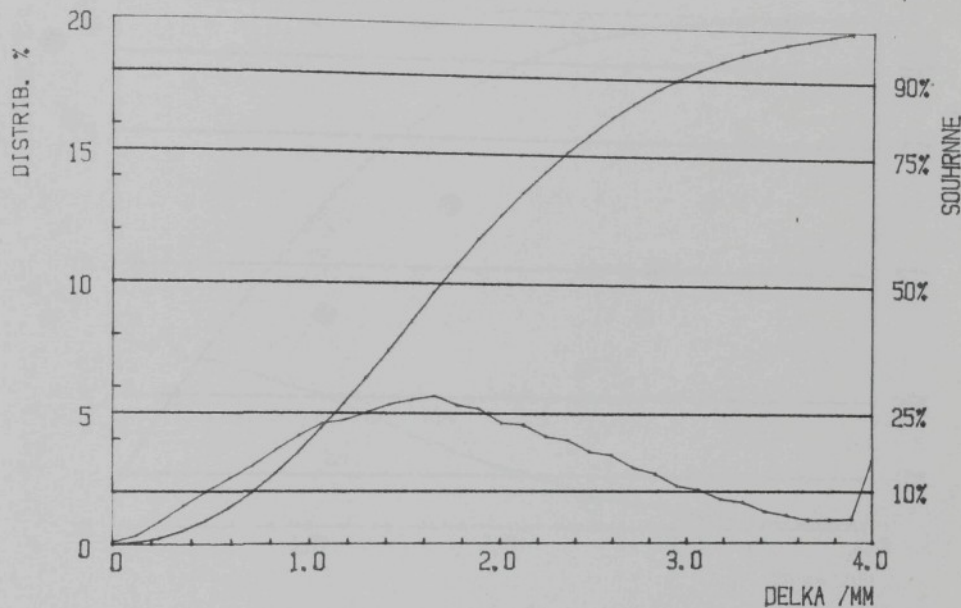
CHARAKT.	VAZENA	ARITMETICKA
10%	0.71	0.09
25%	1.13	0.43
50%	1.69	0.99
75%	2.33	1.66
90%	2.93	2.32
PRM	1.76	1.19 / 0.003
%	19.91	50.41 < 1.000

ANALYZED BY KAJAANI FS-100

VZOREK VZOREK 3

MERENO 28.3.1988

DELKOVE VAZENE ROZDELENI



\*\*CHARAKTERISTIKY\*\*

CELKEM VLAKEN 5924

CHARAKT.	VAZENA	ARITMETICKA
10%	0.71	0.09
25%	1.13	0.43
50%	1.69	0.99
75%	2.33	1.66
90%	2.93	2.32
PRM	1.76 2.16	1.19 / 0.003
%	19.91	50.41 < 1.000

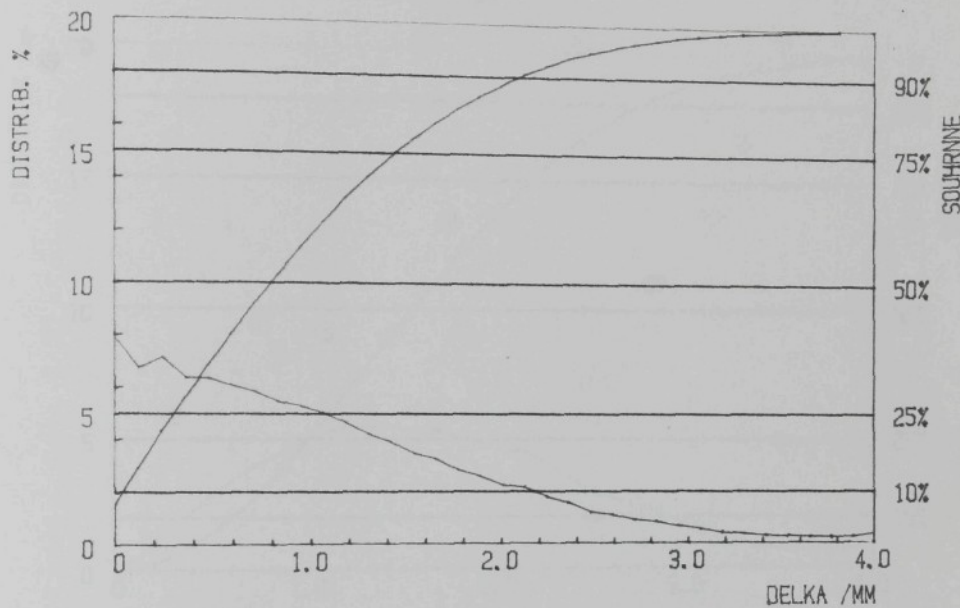
ANALYZED BY KAJAANI FS-100

Obr. č. 42

VZOREK VZOREK 4

MERENO 28.3.1988

ARITMETICKE ROZDELENI



\*\*CHARAKTERISTIKY\*\*

CELKEM VLAKEN 7385

CHARAKT.	VAZENA	ARITMETICKA
10%	0.59	0.04
25%	0.99	0.30
50%	1.54	0.79
75%	2.16	1.44
90%	2.75	2.09
PRM	1.62 2.03	1.03 / 0.003
%	25.49	59.14 < 1.000

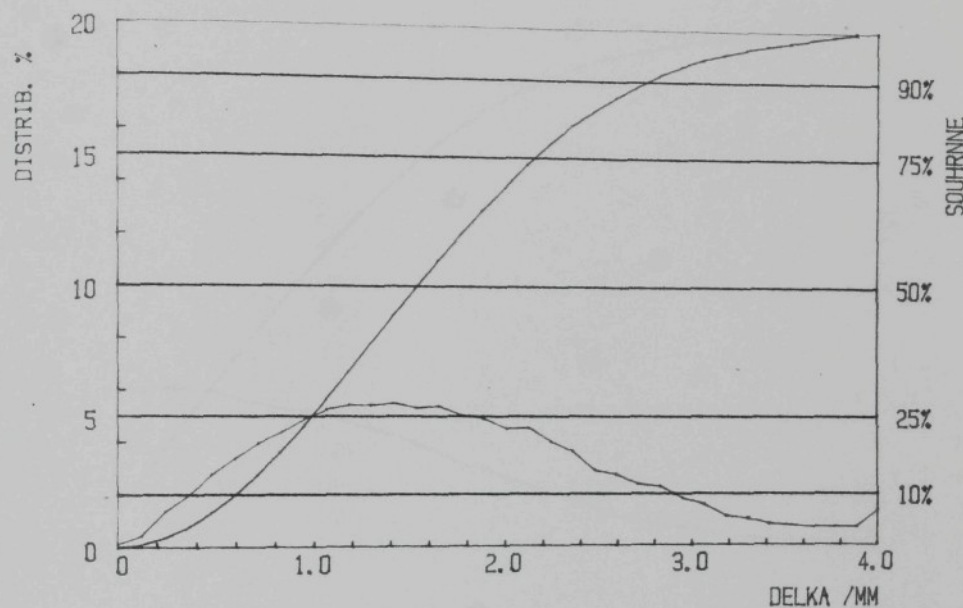
ANALYZED BY KAJAANI FS-100

Obr. č. 43

VZOREK VZOREK 4

MERENO 28. 3. 1988

DELKOVE VAZENE ROZDELENI



\*\*CHARAKTERISTIKY\*\*

CELKEM VLAKEN 7385

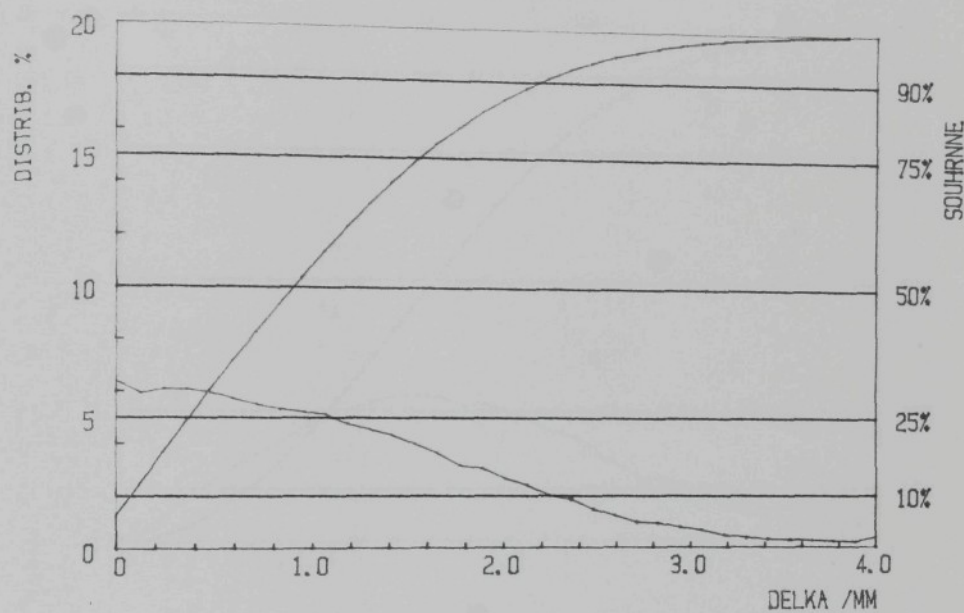
CHARAKT.	VAZENA	ARITMETICKA
10%	0.59	0.04
25%	0.99	0.30
50%	1.54	0.79
75%	2.16	1.44
90%	2.75	2.09
PRM	1.62	1.03 / 0.003
%	25.49	59.14 < 1.000

ANALYZED BY KAJAANI FS-100

VZOREK VZOREK 5

MERENO 28. 3. 1988

ARITMETICKE ROZDELENI



\*\*CHARAKTERISTIKY\*\*

CELKEM VLAKEN 6245

CHARAKT.	VAZENA	ARITMETICKA
10%	0.64	0.07
25%	1.06	0.37
50%	1.61	0.90
75%	2.21	1.55
90%	2.78	2.19
PRM	1.67	1.11 / 0.003
%	22.49	54.30 < 1.000

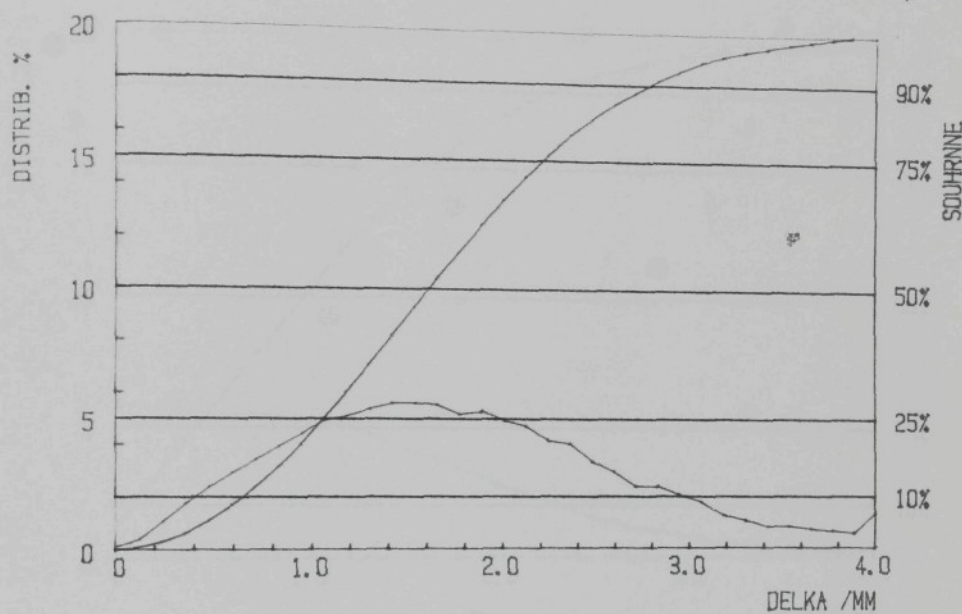
ANALYZED BY KAJAANI FS-100

Obr. č. 45

VZOREK VZOREK 5

MERENO 28. 3. 1988

DELKOVE VAZENE ROZDELENI



\*\*CHARAKTERISTIKY\*\*

CELKEM VLAKEN 6245

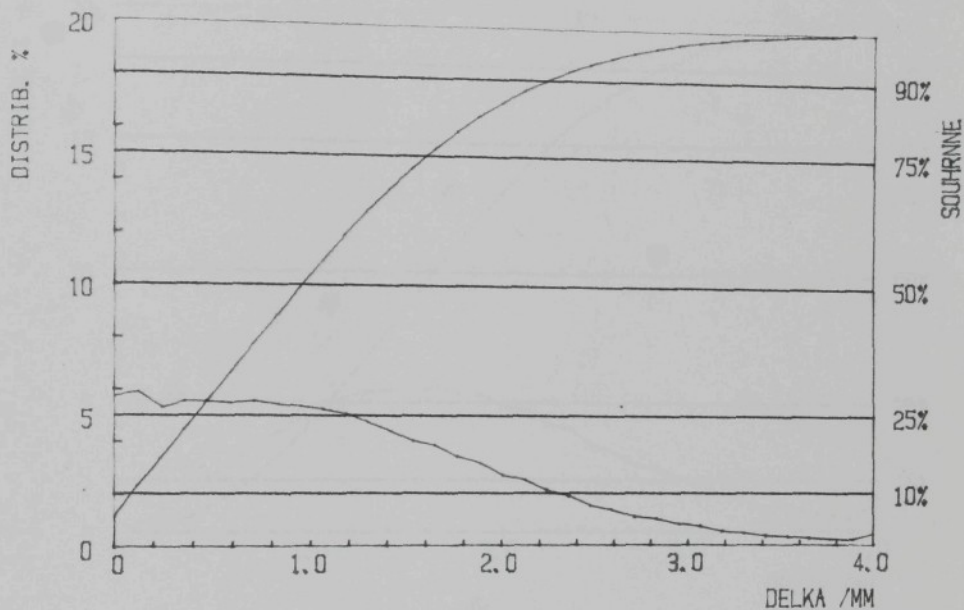
CHARAKT.	VAZENA	ARITMETICKA
10%	0.64	0.07
25%	1.06	0.37
50%	1.61	0.90
75%	2.21	1.55
90%	2.78	2.19
PRM	1.67 2.05	1.11 / 0.003
%	22.49	54.30 < 1.000

ANALYZED BY KAJAANI FS-100

VZOREK VZOREK 6

MERENO 28.3.1988

ARITMETICKE ROZDELENI



\*\*CHARAKTERISTIKY\*\*

CELKEM VLAKEN 12044

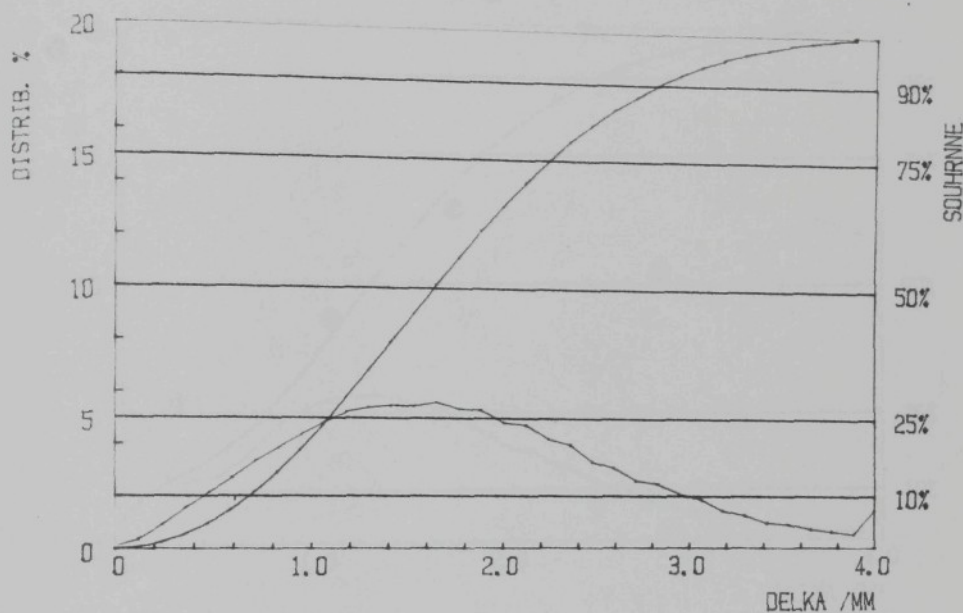
CHARAKT.	VAZENA	ARITMETICKA
10%	0.68	0.09
25%	1.09	0.41
50%	1.63	0.95
75%	2.24	1.60
90%	2.82	2.23
PRM	1.70	1.14 / 0.003
%	21.31	52.01 < 1.000

ANALYZED BY KAJAANI FS-100

VZOREK VZOREK 6

MERENO 28. 3. 1988

DELKOVE VAZENE ROZDELENI



\*\*CHARAKTERISTIKY\*\*

CELIKEM VLAKEN 12044

CHARAKT.	VAZENA	ARITMETICKA
10%	0.68	0.09
25%	1.09	0.41
50%	1.63	0.95
75%	2.24	1.60
90%	2.82	2.23
PRM	1.70	1.14 / 0.003
%	21.31	52.01 < 1.000

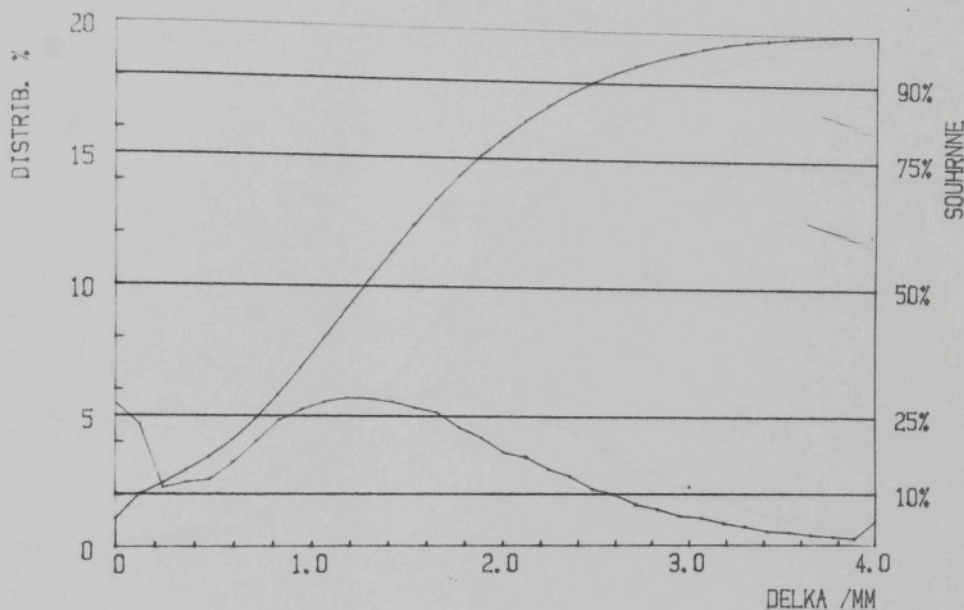
ANALYZED BY KAJAANI FS-100

Obr. č. 48

VZOREK VZOREK 7 A

MERENO 28.3.1988

ARITMETICKE ROZDELENI



\*\*CHARAKTERISTIKY\*\*

CELKEM VLAKEN 5486

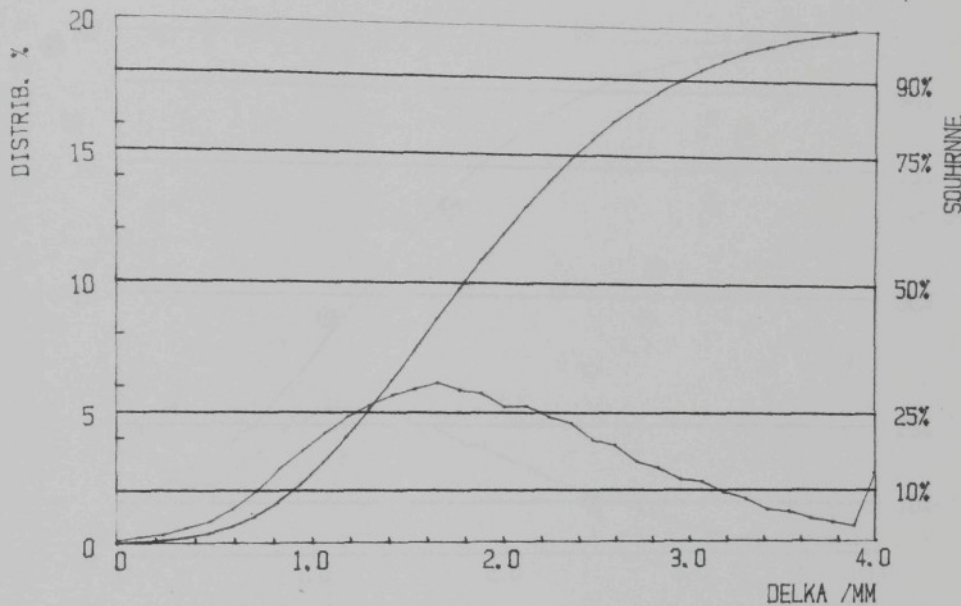
CHARAKT.	VAZENA	ARITMETICKA
10%	0.90	0.12
25%	1.28	0.72
50%	1.79	1.27
75%	2.38	1.87
90%	2.94	2.46
PRM	1.86 2.18	1.40 / 0.003
%	13.36	37.03 < 1.000

ANALYZED BY KAJAANI FS-100

VZOREK VZOREK 7 A

MERENO 28.3.1988

DELKOVE VAZENE ROZDĚLENÍ



\*\*CHARAKTERISTIKY\*\*  
CELKEM VLAKEN 5486

CHARAKT.	VAZENA	ARITMETICKA
10%	0.90	0.12
25%	1.28	0.72
50%	1.79	1.27
75%	2.38	1.87
90%	2.94	2.46
PRM	1.86	1.40 / 0.003
%	13.36	37.03 < 1.000

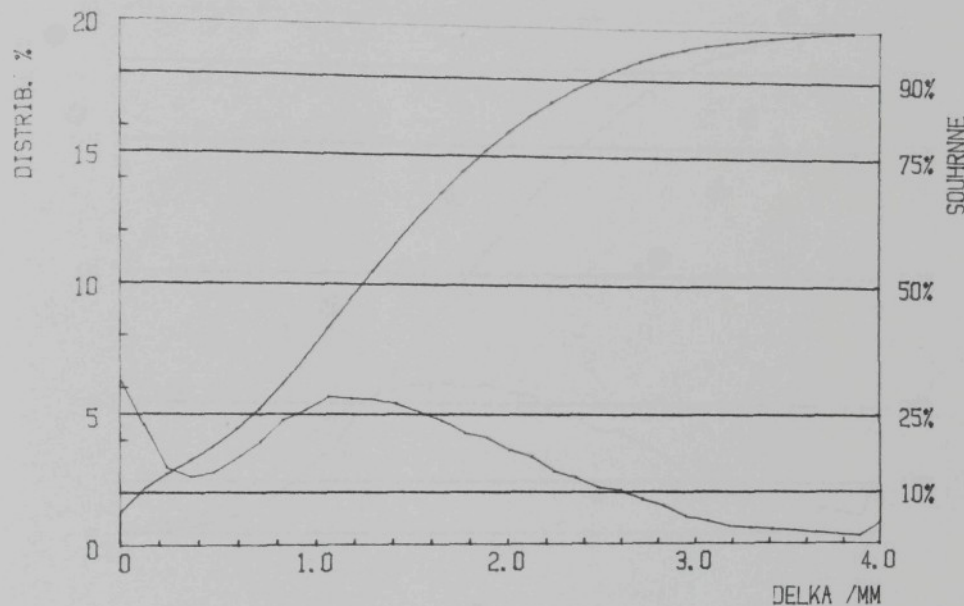
ANALYZED BY KAJAANI FS-100

Obr. č. 50

VZOREK VZOREK 7-B

MERENO 28.3.1988

ARITMETICKE ROZDELENI



\*\*CHARAKTERISTIKY\*\*  
CELKEM VLAKEN 6236

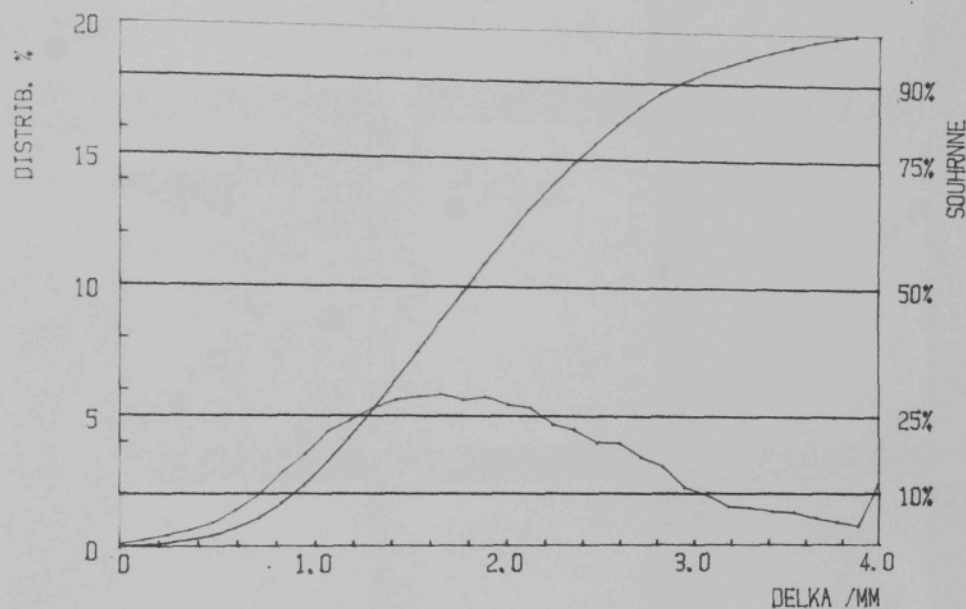
CHARAKT.	VAZENA	ARITMETICKA
10%	0.89	0.10
25%	1.27	0.67
50%	1.79	1.24
75%	2.38	1.85
90%	2.92	2.46
PRM	1.85 2.18	1.38 / 0.003
%	13.83	38.71 < 1.000

ANALYZED BY KAJAANI FS-100

VZOREK VZOREK 7 B

MERENO 28.3.1988

DELKOVE VAZENE ROZDELENI



\*\*CHARAKTERISTIKY\*\*

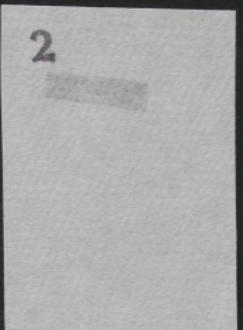
CELKEM VLAKEN 6236

CHARAKT.	VAZENA	ARITMETICKA
10%	0.89	0.10
25%	1.27	0.67
50%	1.79	1.24
75%	2.38	1.85
90%	2.92	2.46
PRM	1.85	1.38 / 0.003
%	13.83	38.71 < 1.000

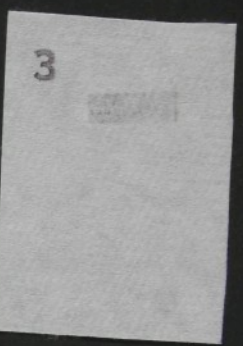
ANALYZED BY KAJAANI FS-100



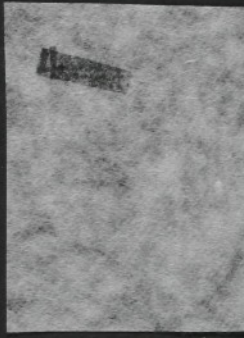
1



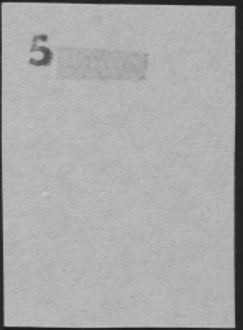
2



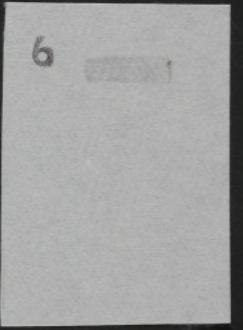
3



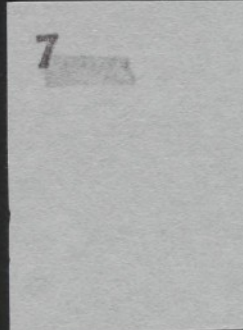
4



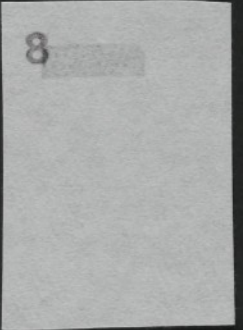
5



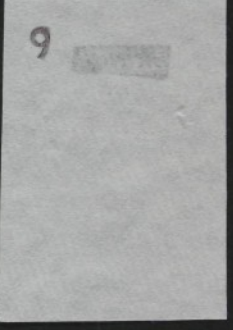
6



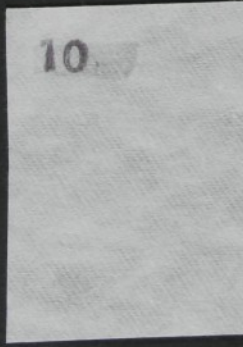
7



8



9



10

Vzorky ze zkušební série 1

1

2

3

4

5

6

7

8

9

10

11

12

1

2

3

4

5

6

7

8

9

10

11

12

1

2

3

4

5

6

7

8

9

10

11

Vzorky ze zkušební serie 4

1

2

5

6

7

8

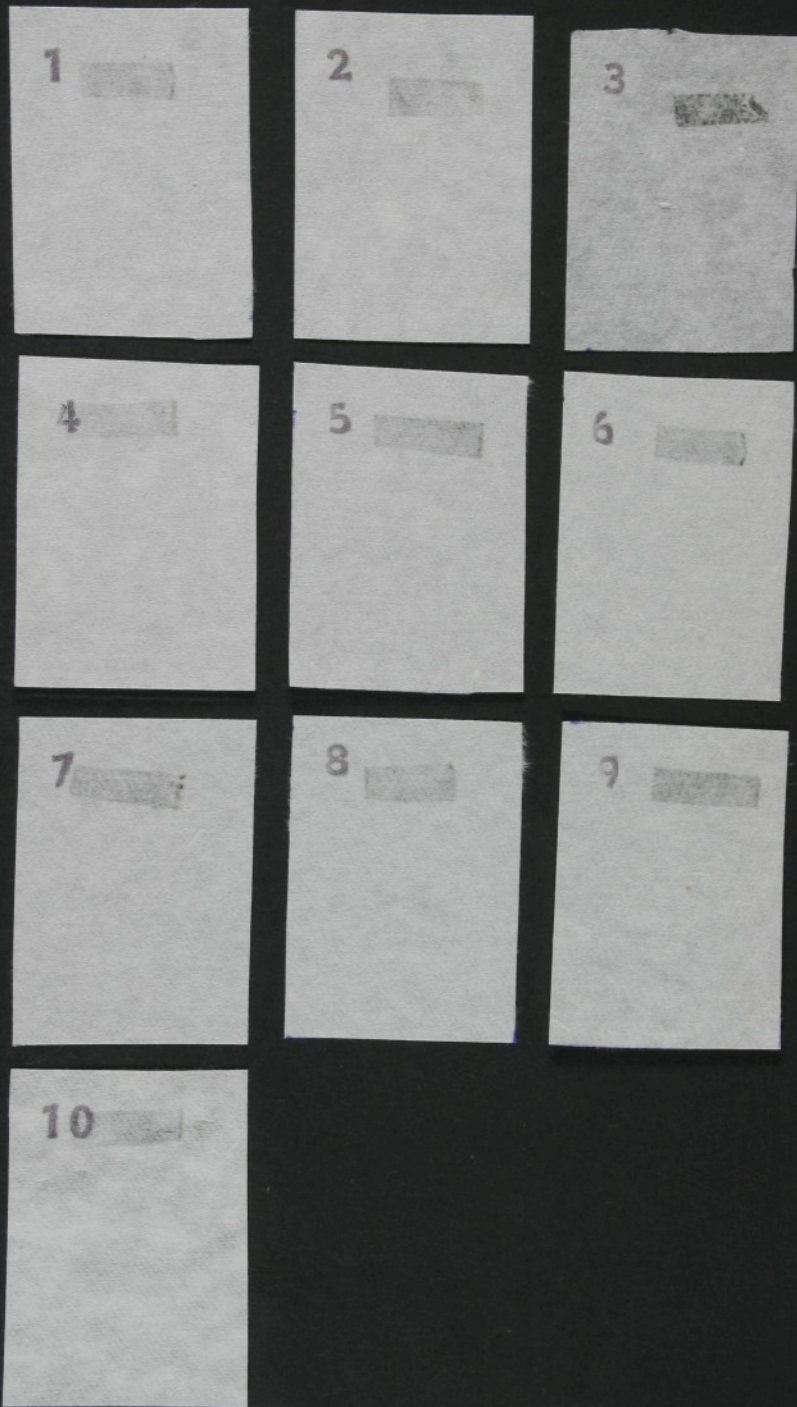
9

10

11

12

13



Vzorky ze zkušební serie 6